

รหัสโครงการ SUT7-708-46-12-26



รายงานการวิจัย

การผลิตผลิตภัณฑ์จากพอลิเมอร์เชิงประยุกต์ระหว่าง หญ้าแฟกกับพอลิไพรพิลีน

**Manufacture of Product from Polymer Composite between
Vetiver Grass and Polypropylene**

ได้รับทุนอุดหนุนการวิจัยจาก
มหาวิทยาลัยเทคโนโลยีสุรนารี

ผลงานวิจัยเป็นความรับผิดชอบของหัวหน้าโครงการวิจัยแต่เพียงผู้เดียว

รหัสโครงการ SUT7-708-46-12-26



รายงานการวิจัย

การผลิตผลิตภัณฑ์จากพอลิเมอร์เชิงประnobระหว่าง หญ้าแฝกกับพอลิโพร์พิลีน

**Manufacture of Product from Polymer Composite between
Vetiver Grass and Polypropylene**

คณะกรรมการ

ผู้ช่วยศาสตราจารย์ ดร.ยุพาพร รักสกุลพิรัฒน์
สาขาวิชาศิวกรรมพอลิเมอร์
สำนักวิชาศิวกรรมศาสตร์
มหาวิทยาลัยเทคโนโลยีสุรนารี

ผู้ร่วมวิจัย

อ.ดร.วินลักษณ์ สุตะพันธ์
อ.ดร.นิธินาถ ศุภกาญจน์

ได้รับทุนอุดหนุนการวิจัยจากมหาวิทยาลัยเทคโนโลยีสุรนารี ปีงบประมาณ 2546
ผลงานวิจัยเป็นความรับผิดชอบของหัวหน้าโครงการวิจัยแต่เพียงผู้เดียว

กิตติกรรมประกาศ

การวิจัยเรื่อง โครงการผลิตผลิตภัณฑ์จากพอลิเมอร์เชิงประยุกต์ระหว่างผู้เข้าแข่งกับพอลิโพลิสตีน ได้รับทุนอุดหนุนการวิจัยจากมหาวิทยาลัยเทคโนโลยีสุรนารี ปีงบประมาณ 2546 ผู้วิจัยขอขอบคุณมา ณ ที่นี่ นอกจากนี้ ผู้วิจัยขอขอบคุณ กรมพัฒนาที่ดิน จังหวัดนราธิวาส ที่ให้ความอนุเคราะห์ผู้เข้าแข่ง บริษัทไทยโพลิโพลิสตีน จำกัด ที่ให้ความอนุเคราะห์เม็ดพลาสติก ภาชนะวัสดุศาสตร์ คณะวิทยาศาสตร์ จุฬาลงกรณ์มหาวิทยาลัย ที่ให้ความอนุเคราะห์ใช้เครื่องมือทดสอบ ผู้ช่วยวิจัยของโครงการนี้ ได้แก่ นางสาววันดี หัวทอง และ นักศึกษาสาขาวิชาวิศวกรรมพอลิเมอร์ สำนักวิชาวิศวกรรมศาสตร์ มหาวิทยาลัยเทคโนโลยีสุรนารี ที่เป็นผู้ช่วยในการเตรียมเส้นใยผู้เข้าแข่ง

บทคัดย่อ

งานวิจัยนี้เป็นการศึกษาวัสดุเชิงประกลบระหว่างหญ้าแฟกและพอลิไพรพิลิน หญ้าแฟกที่ใช้อู่ในลักษณะของใบหญ้าแฟก และเส้นใบหญ้าแฟก การปรับปรุงสมบัติของหญ้าแฟกโดยกระบวนการทางเคมีทำโดยใช้โซเดียมไฮดรอกไซด์ และ ไวนิลไตรเมทรอกซีไซเลน วัสดุเชิงประกลบระหว่างหญ้าแฟกและพอลิไพรพิลินเครื่องที่อัตราส่วน 5 10 20 และ 30 เปอร์เซ็นต์โดยน้ำหนัก วัสดุเชิงประกลบขึ้นรูปเป็นชิ้นทดสอบโดยใช้กระบวนการขึ้นรูปแบบฉีด แล้วทำการตรวจสอบสมบัติทางกายภาพและสมบัติทางความร้อนของหญ้าแฟก รวมทั้งผลของการยาวหญ้าแฟกที่มีต่อสมบัติทางกลของวัสดุเชิงประกลบ และตรวจสอบผลของอัตราส่วน พลังงานและการปรับปรุง หญ้าแฟกโดยกระบวนการทางเคมีที่มีต่อสมบัติทางความร้อน สมบัติทางวิทยาศาสตร์ สมบัติทางกล สมบัติทางสัณฐานวิทยา และการเกิดผลึกโดยการเหนี่ยวนำจากแรงดึงดันของวัสดุเชิงประกลบ

Abstract

In this research, vetiver-polypropylene (PP) composites were studied. Vetiver grass was employed as vetiver leave and vetiver fiber. The chemical treatments of vetiver grass were performed by using sodium hydroxide (NaOH) and vinyltrimethoxysilane. The vetiver-PP composites were prepared at 5%, 10%, 20%, and 30% vetiver content. The composite specimens were prepared by injection molding. The physical and thermal properties of vetiver grass were investigated. The effect of vetiver length of vetiver-PP composites on mechanical properties was determined. In addition, the effects of vetiver content and chemical treatment on the thermal properties, rheological properties, mechanical properties, morphological properties, and shear-induced crystallization of vetiver-PP composites were examined.

สารบัญ

หน้า

กิตติกรรมประกาศ.....	ก
บทคัดย่อภาษาไทย	ข
บทคัดย่อภาษาอังกฤษ	ค
สารบัญ	ง
สารบัญตาราง	ช
สารบัญภาพ	ฉ
บทที่ 1 บทนำ	
ความสำคัญ ที่มาของปัญหาการวิจัย และทบทวนเอกสารที่เกี่ยวข้อง	1
วัตถุประสงค์ของการวิจัย.....	2
ขอบเขตของการวิจัย	3
บทที่ 2 วิธีดำเนินการวิจัย	
2.1 วัสดุที่ใช้ในการทดลอง	4
2.2 การเตรียมหัญญาแฟก	4
2.3 การเตรียมวัสดุเชิงประกอบ	6
2.4 การตรวจสอบสมบัติเบื้องต้นของวัสดุ	7
บทที่ 3 ผลการทดลองและวิเคราะห์ผลการทดลอง	
3.1 สมบัติทางกายภาพและสมบัติทางกลของหัญญาแฟก	10
3.2 สมบัติทางความร้อนของหัญญาแฟกและวัสดุเชิงประกอบระหว่างหัญญาแฟก และพอลิไพรพิลิน	13
3.2.1 ผลกระทบของการปรับปรุงหัญญาแฟกโดยกระบวนการทางเคมีต่อสมบัติทาง ความร้อนของหัญญาแฟก	13
3.2.2 ผลกระทบของอัตราส่วนผสมต่อสมบัติทางความร้อนของวัสดุเชิงประกอบ	15
3.2.3 ผลกระทบของการปรับปรุงหัญญาแฟกโดยกระบวนการทางเคมีต่อ สมบัติทางความร้อนของวัสดุเชิงประกอบ	21
3.3 สมบัติทางวิทยาศาสตร์ของวัสดุเชิงประกอบระหว่างหัญญาแฟกและพอลิไพรพิลิน	27
3.3.1 ผลกระทบของอัตราส่วนผสมต่อสมบัติทางวิทยาศาสตร์ของวัสดุเชิงประกอบ ...	27
3.3.2 ผลกระทบของการปรับปรุงหัญญาแฟกโดยกระบวนการทางเคมีต่อ สมบัติทางวิทยาศาสตร์ของวัสดุเชิงประกอบ	30

สารบัญ (ต่อ)

หน้า

3.4 สมบัติทางกลของวัสดุเชิงประกอบระหว่างหญ้าแฟกและพอลิไพรพีลิน	32
3.4.1 ผลกระทบของความยาวหญ้าแฟกต่อสมบัติทางกลของวัสดุเชิงประกอบ	32
3.4.2 ผลกระทบของลำดับการผสมต่อสมบัติทางกลของวัสดุเชิงประกอบ	34
3.4.3 ผลกระทบของอัตราส่วนผสมต่อสมบัติทางกลของวัสดุเชิงประกอบ	35
3.4.4 ผลกระทบของการปรับปรุงหญ้าแฟกโดยกระบวนการทางเคมีต่อ สมบัติทางกลของวัสดุเชิงประกอบ.....	38
3.5 สมบัติทางสัมฐานวิทยาของวัสดุเชิงประกอบระหว่างหญ้าแฟกและพอลิไพรพีลิน	41
3.5.1 ผลกระทบของการปรับปรุงหญ้าแฟกโดยกระบวนการทางเคมีต่อ สมบัติทางสัมฐานวิทยาของหญ้าแฟก	41
3.5.2 ผลกระทบของระยะเวลาในการปรับปรุงโดยใช้โซเดียมไฮดรอกไซค์ต่อ สมบัติทางสัมฐานวิทยาของหญ้าแฟก	43
3.5.3 ผลกระทบของอัตราส่วนของหญ้าแฟกที่มีต่อสมบัติทางสัมฐานวิทยา ของวัสดุเชิงประกอบ	45
3.6 การเกิดผลึกโดยการเหนี่ยวนำจากแรงเฉือนของวัสดุเชิงประกอบระหว่างหญ้าแฟก และพอลิไพรพีลน.....	46
3.6.1 ผลกระทบของอัตราส่วนผสมของหญ้าแฟกที่มีต่อการเกิดผลึก โดยการเหนี่ยวนำจากแรงเฉือนของวัสดุเชิงประกอบ	46
3.6.2 ผลกระทบของการปรับปรุงหญ้าแฟกโดยกระบวนการทางเคมีต่อ การเกิดผลึกโดยการเหนี่ยวนำจากแรงเฉือนของวัสดุเชิงประกอบ	48
3.7 ความทนต่อสภาพอากาศของวัสดุเชิงประกอบระหว่างหญ้าแฟกและพอลิไพรพีลิน	50
3.8 ความทนต่อการขัดสีของวัสดุเชิงประกอบระหว่างหญ้าแฟกและพอลิไพรพีลิน	52
บทที่ 4 สรุปผลการทดลอง.....	53
บทที่ 5 ข้อเสนอแนะแนวทางการวิจัยขั้นต่อไป	54
เอกสารอ้างอิง	55
ภาคผนวก	59
ภาคผนวก ก	59
ภาคผนวก ข	61
ภาคผนวก ค	65

สารบัญ (ต่อ)

หน้า

ประวัติผู้เขียน 69

สารบัญตาราง

ตาราง	หน้า
2.1 สัญลักษณ์ของหยาแฟกที่ต่างๆ กัน	5
3.1 สมบัติทางกายภาพและสมบัติทางกลของเส้นใยหยาแฟก.....	10
3.2 สมบัติทางกายภาพของเส้นใยธรรมชาติชนิดต่างๆ	11
3.3 องค์ประกอบทางเคมีของ VL NaOH-VL และ VF.....	12
3.4 อุณหภูมิการหลอมเหลวของวัสดุเชิงประกอบระหว่างพอลิไพรพลีนกับหยาแฟก ที่ได้จาก VF โดยมีอัตราส่วนผสมต่างกันที่ได้จากให้ความร้อนครั้งที่สอง	20
3.5 อุณหภูมิการเกิดผลึก และเปอร์เซ็นต์การเกิดผลึกของวัสดุเชิงประกอบระหว่าง พอลิไพรพลีนกับหยาแฟกที่ได้จาก VF โดยมีอัตราส่วนผสมที่ต่างกัน.....	20
3.6 อุณหภูมิการหลอมเหลวของวัสดุเชิงประกอบระหว่างพอลิไพรพลีนกับหยาแฟก ที่ได้จาก VL NaOH-VL VF และ NaOH-silane-VF ที่อัตราส่วน 20 เปอร์เซ็นต์ โดยน้ำหนักที่ได้จากให้ความร้อนครั้งที่สอง.....	26
3.7 อุณหภูมิการเกิดผลึก และเปอร์เซ็นต์การเกิดผลึกของวัสดุเชิงประกอบระหว่าง พอลิไพรพลีนกับหยาแฟกที่ได้จาก VL NaOH-VL VF และ NaOH-silane-VF ที่อัตราส่วน 20 เปอร์เซ็นต์โดยน้ำหนัก	26
3.8 ค่าดัชนีการไหลของพอลิไพรพลีนและวัสดุเชิงประกอบระหว่างพอลิไพรพลีน กับหยาแฟกที่ได้จาก VF โดยมีอัตราส่วนผสมที่ต่างกัน.....	27
3.9 ค่าดัชนีการไหลของวัสดุเชิงประกอบระหว่างพอลิไพรพลีนกับ หยาแฟกที่ได้จาก VL NaOH-VL VF และ NaOH-silane-VF ที่อัตราส่วน 20 เปอร์เซ็นต์ 31	
3.10 ค่าความแข็งแรงต่อการดึง นอคูลัสของยัง เปอร์เซ็นต์ความเครียด ณ จุดแตกหัก และความแข็งแรงต่อการกระแทก ของวัสดุเชิงประกอบระหว่างพอลิไพรพลีน กับหยาแฟกที่ได้จาก NaOH-VL ที่อัตราส่วน 20 เปอร์เซ็นต์โดยน้ำหนัก.....	32
3.11 ความแข็งแรงต่อการดึง นอคูลัสของยัง เปอร์เซ็นต์ความเครียด ณ จุดแตกหัก และความแข็งแรงต่อการกระแทกของวัสดุเชิงประกอบระหว่างพอลิไพรพลีน กับหยาแฟกที่ได้จาก NaOH-VL ในอัตราส่วน 20 เปอร์เซ็นต์โดยน้ำหนัก ที่ความยาว 2 มิลลิเมตร โดยมีลำดับการผสมต่างกัน.....	34

สารบัญตาราง (ต่อ)

ตาราง	หน้า
3.12 ความแข็งแรงต่อการดึง ของคุลลสของยัง เปอร์เซ็นต์ความเครียด ณ จุดแตกหัก และความแข็งแรงต่อการกระแทก ของวัสดุเชิงประกลบระหว่างพอลิไพรพลีน กับหลุ่มแฟกที่ได้จาก NaOH-VL ในอัตราส่วนพสมที่ต่างกัน	36
3.13 อุณหภูมิการบิดของวัสดุเชิงประกลบระหว่างพอลิไพรพลีนกับหลุ่มแฟก ที่ได้จาก VF โดยมีอัตราส่วนที่ต่างกัน	38
3.14 ความแข็งแรงต่อการดึง ของคุลลสของยัง และเปอร์เซ็นต์ความเครียด ณ จุดแตกหัก และ ความแข็งแรงต่อการกระแทก ของวัสดุเชิงประกลบระหว่างพอลิไพรพลีนกับหลุ่มแฟก ที่ได้จาก VL NaOH-VL VF และ NaOH-silane-VF ที่อัตราส่วน 20 เปอร์เซ็นต์ โดยน้ำหนัก	39
3.15 อุณหภูมิการบิดของวัสดุเชิงประกลบระหว่างพอลิไพรพลีนกับหลุ่มแฟก ที่ได้จาก VL NaOH-VL VF และ NaOH-silane-VF ที่อัตราส่วน 20 เปอร์เซ็นต์ โดยน้ำหนัก	40
3.16 Normalized thickness of skin layer ของพอลิไพรพลีนและวัสดุเชิงประกลบ ที่ได้จาก VF ที่อัตราส่วนพสมต่างกัน	48
3.17 Normalized thickness of skin layer ของวัสดุเชิงประกลบที่ได้จาก VL NaOH-VL VF และ NaOH-silane-VF ที่อัตราส่วน 20 เปอร์เซ็นต์โดยน้ำหนัก	49
3.18 ความแข็งแรงต่อการดึง ของคุลลสของยัง เปอร์เซ็นต์ความเครียด ณ จุดแตกหัก และความแข็งแรงต่อการกระแทก ของวัสดุเชิงประกลบระหว่างพอลิไพรพลีน กับหลุ่มแฟกที่ได้จาก NaOH-VL ก่อนและหลังการทดลองความทนต่อสภาพอากาศด้วย เครื่องเร่งสภาพอากาศ ในอัตราส่วนพสมที่ต่างกัน	51
3.19 ความต้านทานต่อการขัดสีของวัสดุเชิงประกลบระหว่างพอลิไพรพลีนกับหลุ่มแฟกที่ได้จาก NaOH-VL ที่อัตราส่วน 20 เปอร์เซ็นต์โดยน้ำหนัก	52

สารบัญรูปภาพ

รูปภาพ	หน้า
2.1 หลักแฟกต์.....	4
2.2 ขั้นตอนการคึ่งชีด และ การตอกกระแทก	7
3.1 กราฟ TGA และ DTG ของหญ้าแฟกชนิดต่างๆ.....	14
3.2 กราฟ TGA และ DTG ของวัสดุเชิงประกลบระหว่างพอลิไพรพลีนกับหญ้าแฟกที่ได้จาก VF ที่อัตราส่วน 5 10 20 และ 30 เปอร์เซ็นต์โดยน้ำหนัก.....	16
3.3 กราฟ DSC ของการให้ความร้อนครั้งที่หนึ่งของวัสดุเชิงประกลบระหว่างพอลิไพรพลีน กับหญ้าแฟกที่ได้จาก VF ที่อัตราส่วน 5 10 20 และ 30 เปอร์เซ็นต์โดยน้ำหนัก	17
3.4 กราฟ DSC ของการทำให้เย็นตัวลงของวัสดุเชิงประกลบระหว่างพอลิไพรพลีนกับหญ้าแฟก ที่ได้จาก VF ที่อัตราส่วน 5 10 20 และ 30 เปอร์เซ็นต์โดยน้ำหนัก	18
3.5 กราฟ DSC ของการให้ความร้อนครั้งที่สองของวัสดุเชิงประกลบระหว่างพอลิไพรพลีน กับหญ้าแฟกที่ได้จาก VF ที่อัตราส่วน 5 10 20 และ 30 เปอร์เซ็นต์โดยน้ำหนัก	19
3.6 กราฟ TGA และ DTG ของวัสดุเชิงประกลบระหว่างพอลิไพรพลีนกับหญ้าแฟกชนิดต่างๆ ที่อัตราส่วน 20 เปอร์เซ็นต์โดยน้ำหนัก.....	22
3.7 กราฟ DSC ของการให้ความร้อนครั้งที่หนึ่งของวัสดุเชิงประกลบระหว่าง พอลิไพรพลีนกับหญ้าแฟกชนิดต่างๆ ที่อัตราส่วน 20 เปอร์เซ็นต์โดยน้ำหนัก	23
3.8 กราฟ DSC ของการทำให้เย็นตัวลงของวัสดุเชิงประกลบระหว่างพอลิไพรพลีน กับหญ้าแฟกชนิดต่างๆ ที่อัตราส่วน 20 เปอร์เซ็นต์โดยน้ำหนัก	24
3.9 กราฟ DSC ของการให้ความร้อนครั้งที่สองของวัสดุเชิงประกลบระหว่าง พอลิไพรพลีนกับหญ้าแฟกชนิดต่างๆ ที่อัตราส่วน 20 เปอร์เซ็นต์โดยน้ำหนัก.....	25
3.10 กราฟแสดงความหนืดที่อัตราเฉือนต่างๆ ณ อุณหภูมิ 170 องศาเซลเซียส ของวัสดุเชิง ประกลบระหว่างพอลิไพรพลีนกับหญ้าแฟกที่ได้จาก VL ที่อัตราส่วนผสมต่างกัน	28
3.11 กราฟแสดงความหนืดที่อัตราเฉือนต่างๆ ณ อุณหภูมิ 170 องศาเซลเซียส ของวัสดุเชิง ประกลบระหว่างพอลิไพรพลีนกับหญ้าแฟกที่ได้จาก NaOH-VL ที่อัตราส่วนผสม ต่างกัน	29
3.12 กราฟแสดงความหนืดที่อัตราเฉือนต่างๆ ณ อุณหภูมิ 170 องศาเซลเซียสของวัสดุเชิง ประกลบระหว่างพอลิไพรพลีนกับหญ้าแฟกที่ได้จาก VF ที่อัตราส่วนผสมต่างกัน.....	30

สารบัญรูปภาพ (ต่อ)

รูปภาพ	หน้า
3.13 กราฟแสดงความหนืดที่อัตราเฉื่อนต่างๆ ณ อุณหภูมิ 170 องศาเซลเซียสของวัสดุเชิงประกอบระหว่างพอลิไพรพลีนกับหลักแฟกชนิดต่างๆ ที่อัตราส่วน 20 เปอร์เซ็นต์โดยน้ำหนัก.....	31
3.14 กราฟแสดงความแข็งแรงต่อการดึง เปอร์เซ็นต์ความเครียด ณ จุดแตกหัก และความแข็งแรงต่อการกระแทก ของวัสดุเชิงประกอบระหว่างพอลิไพรพลีนกับหลักแฟกที่ได้จาก NaOH-VL ที่อัตราส่วน 20 เปอร์เซ็นต์โดยน้ำหนักโดยมีความยาวหลักแฟกต่างกัน	33
3.15 กราฟแสดงมอคุลัสของยังของวัสดุเชิงประกอบระหว่างพอลิไพรพลีนกับหลักแฟกที่ได้จาก NaOH-VL ที่อัตราส่วน 20 เปอร์เซ็นต์โดยน้ำหนักโดยมีความยาวหลักแฟกต่างกัน	33
3.16 กราฟแสดงความแข็งแรงต่อการดึง เปอร์เซ็นต์ความเครียด ณ จุดแตกหัก และความแข็งแรงต่อการกระแทก ของวัสดุเชิงประกอบระหว่างพอลิไพรพลีนกับหลักแฟกที่ได้จาก NaOH-VL ในอัตราส่วนผสมที่ต่างกัน	36
3.17 กราฟแสดง มอคุลัสของยัง ของวัสดุเชิงประกอบระหว่างพอลิไพรพลีนกับหลักแฟกที่ได้จาก NaOH-VL ในอัตราส่วนผสมที่ต่างกัน	37
3.18 กราฟแสดงความแข็งแรงต่อการดึง เปอร์เซ็นต์ความเครียด ณ จุดแตกหัก และความแข็งแรงต่อการกระแทก ของวัสดุเชิงประกอบระหว่างพอลิไพรพลีนกับหลักแฟกที่ได้จาก VL NaOH-VL VF และ NaOH-silane-VF ที่อัตราส่วน 20 เปอร์เซ็นต์โดยน้ำหนัก.....	39
3.19 กราฟแสดงมอคุลัสของยัง ของวัสดุเชิงประกอบระหว่างพอลิไพรพลีนกับหลักแฟกที่ได้จาก VL NaOH-VL VF และ NaOH-silane-VF ที่อัตราส่วน 20 เปอร์เซ็นต์โดยน้ำหนัก.....	40
3.20 รูป SEM ของ (ก) VL (ข) NaOH-VL (ค) VF และ (ง) NaOH-silane-VF	42
3.21 รูป SEM ของการปรับปรุงเส้นใยโดยใช้โซเดียมไฮดรอกไซด์ที่ระยะเวลาต่างกัน (ก) 0 (ข) 2 (ค) 4 และ (ง) 6 ชั่วโมง	44
3.22 รูป SEM ของวัสดุเชิงประกอบระหว่างพอลิไพรพลีนกับหลักแฟกที่ได้จาก VF ที่อัตราส่วน (ก) 5 (ข) 10 (ค) 20 และ (ง) 30 เปอร์เซ็นต์โดยน้ำหนัก.....	45

สารบัญรูปภาพ (ต่อ)

รูปภาพ	หน้า
3.23 แสดงภาพจากกล้องจุลทรรศน์ของวัสดุเชิงประดิษฐ์ที่หัวหอยพอลิไพรพลีนกับญี่ปุ่นแฟกที่ได้จาก VF ที่อัตราส่วน (ก) 0 (ข) 5 (ค) 10 (ง) 20 และ (จ) 30 เบอร์เซ็นต์โดยน้ำหนัก.....	47
3.24 แสดงภาพจากกล้องจุลทรรศน์ของวัสดุเชิงประดิษฐ์ที่หัวหอยพอลิไพรพลีนกับญี่ปุ่นแฟกที่ได้จาก (ก) VL (ข) NaOH-VL (ค) VF และ (ง) NaOH-silane-VF ที่อัตราส่วน 20 เบอร์เซ็นต์โดยน้ำหนัก.....	49

บทที่ 1

บทนำ

1.1 ความสำคัญ ที่มาของปัญหาการวิจัย และทบทวนเอกสารที่เกี่ยวข้อง

ในปัจจุบันความก้าวหน้าทางด้านการใช้เส้นไฮดรรอมชาติมาทดแทนเส้นไฮประดิษฐ์ในการผลิตเป็นพอลิเมอร์เชิงประกอบเป็นเทคโนโลยีหนึ่งที่น่าสนใจ เนื่องจากการใช้เส้นไฮดรรอมชาติมีข้อดีอยู่หลายประการ ได้แก่ เส้นไฮดรรอมชาติมีราคาถูก ลดการซื้อขายและลดความเสียหายของเครื่องมือที่ใช้ในการขึ้นรูปผลิตภัณฑ์ได้ ชี้ง โดยทั่วไปเมื่อใช้เส้นไฮประดิษฐ์ เช่น เส้นไฮแก้ว เส้นไฮคาร์บอน และเส้นไฮเคปแลร์ จะทำเครื่องมือเกิดรอยขูดขีดได้ การใช้เส้นไฮดรรอมชาติจะทำให้พอลิเมอร์เชิงประกอบที่ได้มีน้ำหนักเบาเนื่องจากมีความหนาแน่นที่ต่ำ และที่สำคัญสามารถลดปัญหาด้านสิ่งแวดล้อมที่เกิดขึ้นในปัจจุบันได้ เนื่องจากเส้นไฮดรรอมชาติเป็นวัสดุที่สามารถย่อยสลายได้ในธรรมชาติซึ่งไม่เป็นอันตรายต่อสิ่งแวดล้อม [1-3] เส้นไฮดรรอมชาติสามารถแบ่งออกได้เป็น 2 ประเภท คือ เส้นไฮที่ได้จากสัตว์ซึ่งเป็นเส้นไฮโปรดีน เส้นไนน์ และเส้นไฮที่ได้จากพืชซึ่งจัดเป็นเซลลูโลส เช่น ป่าน ศรนารายณ์ ลินิน ปอแก้ว ปอกระเจา กาบมะพร้าว เป็นต้น [4]

การนำเอาวัสดุเชิงประกอบที่ได้จากเส้นไฮดรรอมชาติมาประยุกต์ใช้ในอุตสาหกรรมด้านต่างๆ เช่น อุตสาหกรรมผลิตรถยนต์ ซึ่งในปัจจุบันนี้ได้มีการใช้เส้นไฮดรรอมชาติเป็นส่วนประกอบในการผลิตชิ้นส่วนภายในรถยนต์ เช่น ที่จับประตู คาดไส่อง ในหลายยี่ห้อรถยนต์ เช่น Mercedes-Benz E-Class BMW Volvo เป็นต้น นอกจากนี้ยังใช้เส้นไฮดรรอมชาติในอุตสาหกรรมผลิตอุปกรณ์ตกแต่งบ้าน เช่น ห้องน้ำ สิ่งของ กระถางต้นไม้ เป็นต้น [5-7]

ซึ่งจากที่กล่าวมาเส้นไฮดรรอมชาติถือเป็นวัสดุที่น่าสนใจที่จะนำมาใช้ในอุตสาหกรรมพอลิเมอร์เชิงประกอบ เนื่องจากเส้นไฮดรรอมชาติหลายชนิดเป็นเส้นไฮดรรอมชาติที่สามารถปลดปล่อยและเจริญเติบโตได้ดีในหลายพื้นที่ในประเทศไทย โดยถ้าใช้ทรัพยากรที่มีอยู่ในธรรมชาตินี้ในการนำไปประยุกต์ใช้งานให้เกิดประโยชน์แล้ว ก็ถือเป็นแนวทางหนึ่งที่สามารถลดการนำเข้าจากต่างประเทศได้ โดยเฉพาะอุตสาหกรรมรถยนต์ที่กำลังเจริญเติบโตอย่างรวดเร็วทั้งภายในและภายนอกประเทศไทย การใช้ของที่ผลิตขึ้นได้ภายในประเทศไทยนั้นก็เป็นการช่วยทำให้เศรษฐกิจของประเทศไทยดีขึ้นได้ ดังนั้นจึงได้มีการศึกษาการผลิตวัสดุเชิงประกอบที่มาจากการผสมระหว่างพอลิเมอร์กับเส้นไฮดรรอมชาติซึ่งนี้ เนื่องจากผลิตภัณฑ์ที่ได้จากสามารถนำไปประยุกต์ใช้งานได้อย่างกว้างขวาง

พอลิโพรพิลีนเป็นพอลิเมอร์ในกลุ่มของเทอร์โมพลาสติกที่นิยมใช้เป็นวัสดุเชิงประกอบ ระหว่างพอลิเมอร์กับเส้นไฮดรรอมชาติ กันมากชนิดหนึ่ง เนื่องจากพอลิโพรพิลีนมีสมบัติทางกลและสมบัติทางความร้อนที่ดี การใช้พอลิโพรพิลีนในกระบวนการขึ้นรูปนั้นสามารถขึ้นรูปได้ง่าย เนื่องจากใช้อุณหภูมิในการขึ้นรูปที่ต่ำ และมีค่าไคล์เคนส์กับอุณหภูมิการสลายตัวของเส้นไฮดรรอมชาติ และ

สามารถผลิตเป็นผลิตภัณฑ์ได้อย่างหลากหลาย จึงได้มีการวิจัยและพัฒนาวัสดุเชิงประกลบระหว่างเส้นใยธรรมชาติกับพอลิไพรพลีนที่มีค่าสมบัติทางกล โดยมีการศึกษาเกี่ยวกับผลของอัตราส่วนผสมเส้นใยในวัสดุเชิงประกลบที่มีต่อความแรงต่อแรงดึง [2, 8-10] งานวิจัยวัสดุเชิงประกลบระหว่างเส้นใยธรรมชาติกับพอลิไพรพลีนที่มีค่าสมบัติทางความร้อน [11-12] นอกจากนี้พอลิไพรพลีนยังมีสมบัติที่ไม่ดูดซับน้ำเพราความไม่มีข้าวของพอลิไพรพลีนเอง แต่ข้อเสียของการใช้พอลิไพรพลีนผสมกับเส้นใยธรรมชาติ คือจะทำให้การยึดติดกันระหว่างเมทริกกับเส้นใยไม่ดี จึงมีการวิจัยและพัฒนาสมบัติให้ดีขึ้น โดยศึกษาผลของการปรับปรุงสมบัติเส้นใยโดยใช้กระบวนการทางเคมี เช่น การใช้โซเดียมไฮดรอกไซด์ [8, 13-14] และการใช้ไฮเดน เป็นต้น [15-16]

ชิ้นงานวิจัยส่วนใหญ่ดังที่กล่าวมาข้างต้น เส้นใยที่ใช้จะเป็นเส้นใยหลายประเภท เช่น เป่านกรนารายณ์ ถินิน ปอแก้ว ปอกระเจา กานมะพร้าว ซึ่งจะมีเส้นใยอีกชนิดหนึ่งที่น่าสนใจคือเส้นใยศักดิ์สิทธิ์ ต่างๆ คือ หญ้าแฟก ซึ่งหญ้าแฟกจัดเป็นหญ้าเขตร้อนที่ขึ้นอยู่ตามธรรมชาติ กระจายตัวทั่วไปในสภาพแวดล้อมต่างๆ ซึ่งในประเทศไทยจะพบหญ้าแฟกขึ้นอยู่ตามธรรมชาติในพื้นที่ทั่วไปจากที่ลุ่มน้ำที่ค่อน สามารถขึ้นได้ในดินเกือบทุกชนิด มีชื่อทางวิทยาศาสตร์ *Vetiveria Zizanioides* เป็นพืชตระกูลหญ้าขึ้นเป็นกอหนาแน่น เจริญเติบโตโดยการแตกกออย่างรวดเร็ว เส้นผ่าแน่นอนสูงประมาณ 30 เซนติเมตร ความสูงจากยอดประมาณ 1.5 เมตร ลักษณะใบแคบยาวประมาณ 75 เซนติเมตร หญ้าแฟกเป็นพืชที่มีระบบزراعที่ลึกและมีจำนวนมากซึ่งสามารถใช้ออนุรักษ์ดินและน้ำได้เป็นอย่างดี [17] จากประโยชน์ของหญ้าแฟกคังกล่าวพระบาทสมเด็จพระเจ้าอยู่หัวภูมิพลอดุลยเดชฯ ได้พระราชทานพระราชดำริให้เกษตรกรปลูกหญ้าแฟกเพื่ออนุรักษ์ดินและน้ำ หญ้าแฟกเป็นพืชที่เจริญเติบโตเร็วและต้องมีการตัดใบออก ซึ่งใบที่ตัดออกมานี้มีปริมาณมาก ดังนั้นจึงมีแนวโน้มที่จะนำไปใช้เป็นสารตัวเติมให้กับในการผลิตเป็นพอลิเมอร์เชิงประกลบได้ ซึ่งจะเป็นการช่วยเพิ่มรายได้ให้กับเกษตรกรผู้ปลูก และเป็นการส่งเสริมให้มีการปลูกหญ้าแฟกอย่างแพร่หลายมากขึ้น

ในการศึกษาวัสดุเชิงประกลบระหว่างหญ้าแฟกและพอลิไพรพลีนจะศึกษาผลกระทบของความยาวหญ้าแฟกที่มีต่อสมบัติทางกล ศึกษาอัตราส่วนผสมและการปรับปรุงหญ้าแฟกโดยใช้กระบวนการทางเคมีที่มีค่าสมบัติทางความร้อน สมบัติทางกล สมบัติทางวิทยาศาสตร์ สมบัติทางสัมฐานวิทยา และชั้นของผลึกที่เกิดโดยการเหนี่ยวนำจากแรงเฉือน

1.2 วัสดุประสงค์ของโครงการวิจัย

1.2.1 ศึกษาผลของอัตราส่วนระหว่างพอลิเมอร์กับหญ้าแฟกที่ใช้เป็นสารตัวเติมต่อสมบัติทางกายภาพของพอลิเมอร์เชิงประกลบ ได้แก่

สมบัติเชิงกล (mechanical properties)

สมบัติทางความร้อน (thermal properties)

สมบัติการนำไปใช้งาน เช่น ความทนต่อสภาพแวดล้อม

- 1.2.2 ศึกษาอิทธิพลของสารประสาน (coupling agent) ต่อสมบัติเชิงกลของพอลิเมอร์เชิงประกอบที่ได้
- 1.2.3 ขึ้นรูปพอลิเมอร์เชิงประกอบให้เป็นผลิตภัณฑ์ที่สามารถนำไปใช้ประโยชน์ได้เพื่อขยายผลงานวิจัยที่ได้ไปสู่การผลิตผลิตภัณฑ์ในเชิงอุตสาหกรรม

1.3 ขอบเขตของการวิจัย

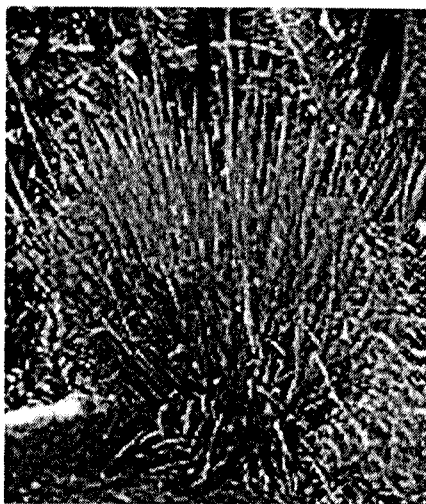
- 1.3.1 หาอัตราส่วนที่เหมาะสมในการผสมหญ้าแฟกกับพอลิไพรพีลิน โดยการเปลี่ยนอัตราส่วน การผสมหญ้าแฟกกับพอลิไพรพีลินเป็นอัตราส่วนต่าง ๆ
- 1.3.2 การเปรียบเทียบพอลิเมอร์เชิงประกอบที่ได้ โดยไม่มีการปรับปรุงผิวน้ำ ของหญ้าแฟกกับที่มีการปรับปรุงผิวน้ำของหญ้าแฟกโดยการใช้สารประสาน

บทที่ 2

วิธีดำเนินการวิจัย

2.1 วัสดุที่ใช้ในการทดลอง

วัสดุที่ใช้ในการทดลองได้แก่ พอลิโพร์พลีน เกรด 700J ที่ใช้ในการค้าผลิต โดยบริษัทไทยโพลิโพร์พลีน จำกัด หญ้าแฟกพันธุ์สูงคลา 3 จาก กรมพัฒนาที่ดิน จังหวัดนครราชสีมา แสดงดังรูปที่ 2.1 โดยเดิม ไฮดรอกไซค์ของบริษัท Merck เกรดแลป ไฮเดน ชนิดไวนิวไตรเมทรอกไซค์ไฮเดน ของบริษัทอฟติโนลเทค จำกัด



รูปที่ 2.1 หญ้าแฟก

2.2 การเตรียมหญ้าแฟก

ในการทดลองจะใช้จากหญ้าแฟก โดยนำใบหญ้าแฟกมาล้างน้ำเพื่อชำระล้างสิ่งสกปรกออกแล้วผึ่งแดดให้แห้ง เพื่อที่นำมาเตรียมหญ้าแฟกชนิดต่างๆ ดังนี้

2.2.1 หญ้าแฟกที่ไม่ได้แซไฮเดย์มไฮดรอกไซค์

นำใบหญ้าแฟกที่ตากแห้งแล้วมาบดด้วยเครื่องบด แล้วใช้ตะกรงร่อนได้ความกว้าง 2 มิลลิเมตร

2.2.2 หญ้าแฟกที่แซไฮเดย์มไฮดรอกไซค์

นำใบหญ้าแฟกที่ตากแห้งแล้วมาขี้ในสารละลายไฮเดย์มไฮดรอกไซค์ 1 เปอร์เซ็นต์โดยน้ำหนัก เป็นระยะเวลา 5 วัน จากนั้nl้างด้วยน้ำกลั่นจนมีค่า pH เป็นกลาง อบในตู้อบ

ที่อุณหภูมิ 100 องศาเซลเซียส เป็นเวลา 6 ชั่วโมง แล้วนำมานวดด้วยเครื่องบด โดยเตรียมให้ได้ความ
ขาวที่ต่างกันสามความขาวคือ 0.1 มิลลิเมตร 2 มิลลิเมตรและ 4 มิลลิเมตร การวัดความขาวของผ้า
แฟกใช้กล้องจุลทรรศน์รุ่น Nikon polarizing microscope (model Eclips E600 POL)

2.2.3 เส้นใยหัญญาแฟก

ในหัญญาแฟกที่ตากแห้งแล้วแช่ในสารละลายโซเดียมไฮดรอกไซด์ 1 เปอร์เซ็นต์โดย
น้ำหนัก เป็นระยะเวลา 5 วัน แล้วขูดใบหัญญาแฟกออกให้ได้เป็นเส้นใย หลังจากนั้นอบในตู้อบที่
อุณหภูมิ 100 องศาเซลเซียส เป็นเวลา 6 ชั่วโมง แล้วตัดขนาด 2 มิลลิเมตร

2.2.4 เส้นใยหัญญาแฟกที่แข็งโซเดียมไฮดรอกไซด์

นำไปเส้นใยหัญญาแฟกมาแช่ในสารละลายโซเดียมไฮดรอกไซด์ 5 เปอร์เซ็นต์โดย
น้ำหนัก เป็นระยะเวลา 2 4 และ 6 ชั่วโมง ตามลำดับ จากนั้นล้างด้วยน้ำกลั่นจนมีค่า pH เป็นกลาง
และอบในตู้อบที่อุณหภูมิ 100 องศาเซลเซียส เป็นเวลา 6 ชั่วโมง

2.2.5 เส้นใยหัญญาแฟกที่แข็งโซเดียมไฮดรอกไซด์แล้วปรับปรุงโดยแช่สารละลายไฮเดน

นำเส้นใยหัญญาแฟกมาแช่ในสารละลายโซเดียมไฮดรอกไซด์ 5 เปอร์เซ็นต์ เป็น
ระยะเวลา 4 ชั่วโมง แล้วล้างด้วยน้ำกลั่นจนเป็นกลาง อบจนแห้งแล้วนำมาแช่ในสารละลายไฮเดนที่
2 เปอร์เซ็นต์น้ำหนักต่อปริมาตร ปรับค่า pH ของสารละลายด้วยกรดอะซิติกให้เท่ากับ 3.5 แล้วเป็น
เวลา 1 ชั่วโมง แล้วล้างด้วยน้ำกลั่น จากนั้นอบในตู้อบที่อุณหภูมิ 100 องศาเซลเซียส เป็นระยะเวลา 6
ชั่วโมง

ตารางที่ 2.1 สัญลักษณ์ของหัญญาแฟกที่ต่างๆ กัน

อักษรย่อ	ลักษณะหัญญาแฟก
VL	หัญญาแฟกที่ไม่ได้แข็งโซเดียมไฮดรอกไซด์
NaOH-VL	หัญญาแฟกที่แข็งโซเดียมไฮดรอกไซด์
VF	เส้นใยหัญญาแฟก
NaOH-VF	เส้นใยหัญญาแฟกที่แข็งโซเดียมไฮดรอกไซด์
NaOH-silane-VF	เส้นใยหัญญาแฟกที่แข็งโซเดียมไฮดรอกไซด์แล้วปรับปรุงโดยแช่ไฮเดน

2.3 การเตรียมวัสดุเชิงประกอบ

การเตรียมวัสดุเชิงประกอบแบ่งออกเป็น 2 วิธีดังนี้

2.3.1 การผสมวัสดุด้วยเครื่องบดผสมภายใน โดยใช้วิธีที่ 1

การผสมวัสดุเชิงประกอบระหว่างหัญชาแฟกกับพอลิไพรพลีนทำโดยใช้เครื่องบดผสมภายใน รุ่น Poly Lab ของบริษัท HAAKE ขนาดของการผสมเท่ากับ 200 กรัม โดยผสมในอัตราส่วนของหัญชาแฟกที่อัตราส่วนผสมแตกต่างกัน สถานะที่ใช้ในการผสมได้แก่ความเร็วรอบที่ 50 รอบต่อนาที อุณหภูมิที่ใช้ในการบดผสมเท่ากับ 170 องศาเซลเซียส โดยเริ่มใส่พอลิไพรพลีนที่เวลา 0-5 นาที และหลังจากนั้นจึงใส่หัญชาแฟกลงไปผสมจนเป็นเวลา 10 นาที แล้วจึงนำของผสมออกจากเครื่องบดผสมภายใน

2.3.2 การผสมวัสดุด้วยเครื่องบดผสมภายใน โดยใช้วิธีที่ 2

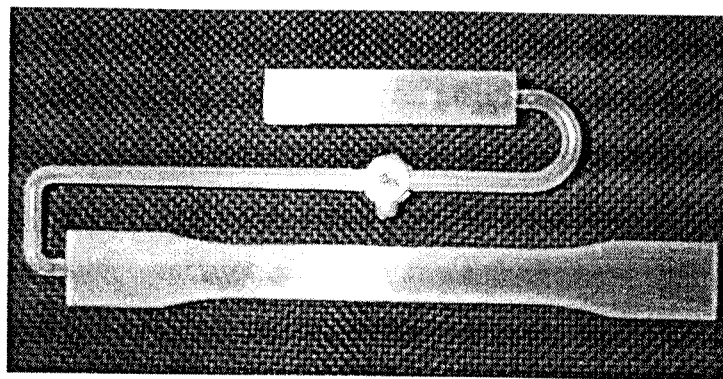
การผสมวัสดุเชิงประกอบระหว่างหัญชาแฟกกับพอลิไพรพลีนทำโดยใช้เครื่องบดผสมภายใน รุ่น Poly Lab ของบริษัท HAAKE ขนาดของการผสมเท่ากับ 200 กรัม โดยจะใช้อัตราส่วนของหัญชาแฟกที่อัตราส่วนผสมแตกต่างกัน สถานะที่ใช้ในการผสมได้แก่ความเร็วรอบเป็น 50 รอบต่อนาที อุณหภูมิที่ใช้ในการบดผสมเท่ากับ 170 องศาเซลเซียส โดยใส่หัญชาแฟกและพอลิไพรพลีนลงในเครื่องบดผสมพร้อมกันโดยใช้เวลาในการผสม 10 นาที แล้วจึงนำของผสมออกจากเครื่องบดผสมภายในได้

2.3.3 การบดของผสม

ของผสมที่ได้จากการบดผสมภายในจะถูกบดค้ำยเครื่องบดทางกลเพื่อลดขนาดของผสมให้เล็กหนำะที่จะนำไปขึ้นรูปต่อไปได้

2.3.4 การเตรียมชิ้นงานโดยการขึ้นรูปแบบฉีด

การเตรียมชิ้นทดสอบการดึงยืด และ การตอกกระแทก จะขึ้นรูปโดยใช้เครื่องฉีด ของ บริษัท Chuan Lih Fa Machinery Works co., Ltd. รุ่น CLF-80T แม่พิมพ์ที่ใช้มีลักษณะแสดงดังรูปที่ 2.2 การขึ้นรูปชิ้นทดสอบจะนำเม็ดที่ได้จากการบดของผสมมาขึ้นรูปโดยอุณหภูมิในการฉีดในโซนจากคองฉีด ถึงหัวฉีด เป็น 165 165 170 และ 170 องศาเซลเซียส ตามลำดับ อุณหภูมิแม่พิมพ์เท่ากับ 15 องศาเซลเซียส โดยใช้น้ำมันซิลิโคนเป็นตัวหล่อเย็น ความเร็วของสกru เท่า 50 เปอร์เซ็นต์ ความดันที่ใช้ในการฉีด เท่ากับ 60 เปอร์เซ็นต์ ความดันคงค้าง เท่ากับ 40 เปอร์เซ็นต์



รูปที่ 2.2 ขั้นทดสอบการดึงยืด และ การตอกกระแทก

2.4 การตรวจสอบสมบัติเบื้องต้นของวัสดุ

2.4.1 การตรวจสอบสมบัติทางกายภาพ

การตรวจสอบความหนาแน่นของเส้นใยหัญญ่าแฟก โดยใช้ขวบวัดปริมาตรและใช้สารพาราไฮซีลิน(p-Xylene) เป็นตัวทำละลาย

การวัดความยาวของหัญญ่าแฟก โดยใช้กล้องจุลทรรศน์ Nikon polarizing optical microscope (model Eclipse E600 POL)

การทดสอบความแข็งแรงต่อการดึง ของเส้นใยหัญญ่าแฟก โดยใช้เครื่อง Universal Testing Machine (model 4502) ของบริษัท Instron ที่ความเร็วในการดึงเท่ากับ 120 มิลลิเมตรต่อนาที

การทดสอบหาองค์ประกอบทางเคมีของหัญญ่าแฟก โดยใช้เครื่อง X-Ray Fluorescence Spectrometer (model ED 2000)

2.4.2 การตรวจสอบสมบัติทางความร้อน

การตรวจสอบสมบัติทางความร้อน โดยใช้เครื่อง TGA (Thermogravimetric Analysis) ของบริษัท TA Instruments รุ่น SDT 2960 และใช้เครื่อง DSC (Differential Scanning Calorimetry) ของบริษัท Perkin Elmer Instruments รุ่น DSC-7 ซึ่งการใช้เครื่อง TGA ใช้สำหรับตรวจสอบอุณหภูมิการสลายตัวของหัญญ่าแฟกและวัสดุเชิงประกอบระหว่างหัญญ่าแฟกและพอลิไพรพิลีนในการทดสอบใช้อุณหภูมิตั้งแต่ 30 องศาเซลเซียส ถึงอุณหภูมิ 800 องศาเซลเซียส โดยให้ความร้อนที่อุณหภูมิตั้งแต่ 30 องศาเซลเซียส ถึงอุณหภูมิ 600 องศาเซลเซียส ภายใต้กําลังออกซิเจน โดยใช้อัตราในการเพิ่มอุณหภูมิเป็น 10 องศาเซลเซียสต่อนาที นำหนักของตัวอย่างที่ใช้ประมาณ 5-10 มิลลิกรัม และการใช้เครื่อง DSC ใช้สำหรับการตรวจสอบอุณหภูมิการเกิดผลึก

การตรวจสอบอุณหภูมิการบีดงอ (Heat Distortion Temperature) ของวัสดุเชิงประกอบระหว่างพื้นผิวและพอลิไพรพลีน ใช้เครื่อง HDT ที่ผลิตจากบริษัท Altas Electric Devices Company รุ่น HDV-1 โดยใช้ น้ำมันซิลิโคนเป็นตัวกลางนำความร้อน และทดสอบที่อัตราเพิ่มอุณหภูมิ เท่ากับ 120 องศาเซลเซียสต่อชั่วโมง

2.4.5 การตรวจสอบลักษณะโครงสร้างทางสันฐานวิทยา

การตรวจสอบสมบัติทางสันฐานวิทยาของพื้นผิวและวัสดุเชิงประกอบระหว่างพื้นผิวและพอลิไพรพลีน ใช้เครื่องอิเล็กตรอนแบบส่องกราด ที่ผลิตจากบริษัท GEOL CO., TLD. รุ่น JSM-6400

การตรวจสอบหาความหนาของชั้นผลึกของวัสดุเชิงประกอบ จะใช้ชิ้นทดสอบแรงดึงโดยตัดชิ้นงานจากเครื่องตัดชิ้นงาน (Jaespa AS 4) ให้ได้ขนาด 1 เซนติเมตร และนำมาตัดโดยเครื่องไมโครโกรม รุ่น RMC MT 960 ให้ได้ความหนา 30 ไมครอน และส่องดูความหนาของผลึกด้วยกล้องจุลทรรศน์รุ่น Eclips E600 POL ของบริษัท NiKon

2.4.6 การตรวจสอบความต้านทานสภาพอากาศ

การตรวจสอบความต้านทานสภาพอากาศ (Weathering Resistance) ของวัสดุเชิงประกอบระหว่างพื้นผิวและพอลิไพรพลีน ใช้เครื่องทดสอบสภาพอากาศ ที่ผลิตจากบริษัท Altas Electric Devices Company รุ่น S3000 โดยใช้อุณหภูมินในการทดสอบ 70 องศาเซลเซียส เวลาในการทดสอบ 10 วัน ปริมาณความชื้นเท่ากับ 70 เปอร์เซ็นต์

2.4.7 การตรวจสอบความต้านทานต่อการขัดสี

การตรวจสอบความต้านทานต่อการขัดสี (Abrasion Resistance) ของวัสดุเชิงประกอบระหว่างพอลิไพรพลีนกับพื้นผิว ใช้เครื่อง Taber Abraser ที่ผลิตจากบริษัท Taber รุ่น 5131 โดยใช้น้ำหนักความต้านทานเท่ากับ 1000 กรัม จำนวนรอบเท่ากับ 500 รอบ

บทที่ 3

ผลการทดลองและวิเคราะห์ผลการทดลอง

3.1 สมบัติทางกายภาพและสมบัติทางกลของญี่ปุ่นแฟก

สมบัติทางกายภาพและสมบัติทางกลของเส้นใยญี่ปุ่นแฟกแสดงดังตารางที่ 3.1 ซึ่งคุณสมบัติเหล่านี้จะมีค่าอยู่ที่ช่วงที่ใกล้เคียงกับสมบัติทางกายภาพและสมบัติทางกลของเส้นใยชนิดต่างๆ แสดงสรุปในตารางที่ 3.2 โดยความหนาแน่นของเส้นใยญี่ปุ่นแฟกมีค่าใกล้เคียงกับเส้นใย ลินิน และปานามี แต่ค่าความแข็งแรงต่อการดึงของเส้นใยญี่ปุ่นแฟกมีค่าสูงกว่าเส้นใยมะพร้าว นอกจากนี้ค่ามอคุลัสของยังของเส้นใยญี่ปุ่นแฟกมีค่าสูงกว่าเส้นใยฝ้าย ปานารายณ์ และเส้นจากกากะมะพร้าว แต่มีค่าต่ำกว่าเส้นใยปอ ลินิน และปานามี ค่าเบอร์เซ็นต์ความเครียด ณ จุดแตกหักของเส้นใยญี่ปุ่นแฟกมีค่าสูงกว่าเส้นใยปอ

ตารางที่ 3.1 สมบัติทางกายภาพและสมบัติทางกลของเส้นใยญี่ปุ่นแฟก

สมบัติ	เส้นใยญี่ปุ่นแฟก
ความหนาแน่น (g/cm^3)	1.5
เส้นผ่าศูนย์กลาง (μm)	100-220
ความแข็งแรงต่อการดึง (MPa)	458.4
มอคุลัสของยัง (GPa)	23.2
ความเครียด ณ จุดแตกหัก (%)	2.1

ตารางที่ 3.2 สมบัติทางกายภาพของเส้นใยธรรมชาติชนิดต่างๆ [5]

เส้นใย	ความหนา แน่น (g/cm ³)	เส้นผ่า ศูนย์กลาง (μm)	ความแข็งแรง ต่อการดึง (MPa)	มอดุลัสของยัง (GPa)	ความเครียด ณ จุดแตกหัก (%)
ฝ้าย	1.5–1.6	-	287–800	5.5–12.6	7.0–8.0
ปอ	1.3–1.4	25–200	393–773	13.0–26.5	1.1–1.5
ลินิน	1.5	-	345–1100	27.6	2.7–3.2
ป่านรานี	1.5	-	400–938	61.4–128.0	1.2–3.8
ป่านครนารายณ์	1.4	50–200	468–640	9.4–22.0	3.0–7.0
มะพร้าว	1.1	100–450	131–175	4.0–6.0	15.0–40.0

ผลการวิเคราะห์องค์ประกอบทางเคมีของ VL NaOH-VL และ VF แสดงในตารางที่ 3.3 พบว่าหญ้าแฝกจะมีส่วนประกอบของสารอินทรีย์และสารอนินทรีย์ โดยสารอนินทรีย์จะประกอบด้วยสารประกอบหลายชนิด เช่น ชิลิกา โปรแทสเซียม ฟอสฟอรัส โดยเฉพาะปริมาณของชิลิกอนออกไซค์ที่พบในหญ้าแฝกทั้ง 3 ชนิด จะมีค่ามากที่สุด เมื่อเปรียบเทียบกับสารอนินทรีย์ตัวอื่น ๆ นอกจากนี้ VL ยังมีปริมาณของชิลิกอนออกไซค์ที่สูงที่สุดเมื่อเปรียบเทียบกับ NaOH-VL และ VF

ตารางที่ 3.3 องค์ประกอบทางเคมีของ VL NaOH-VL และ VF

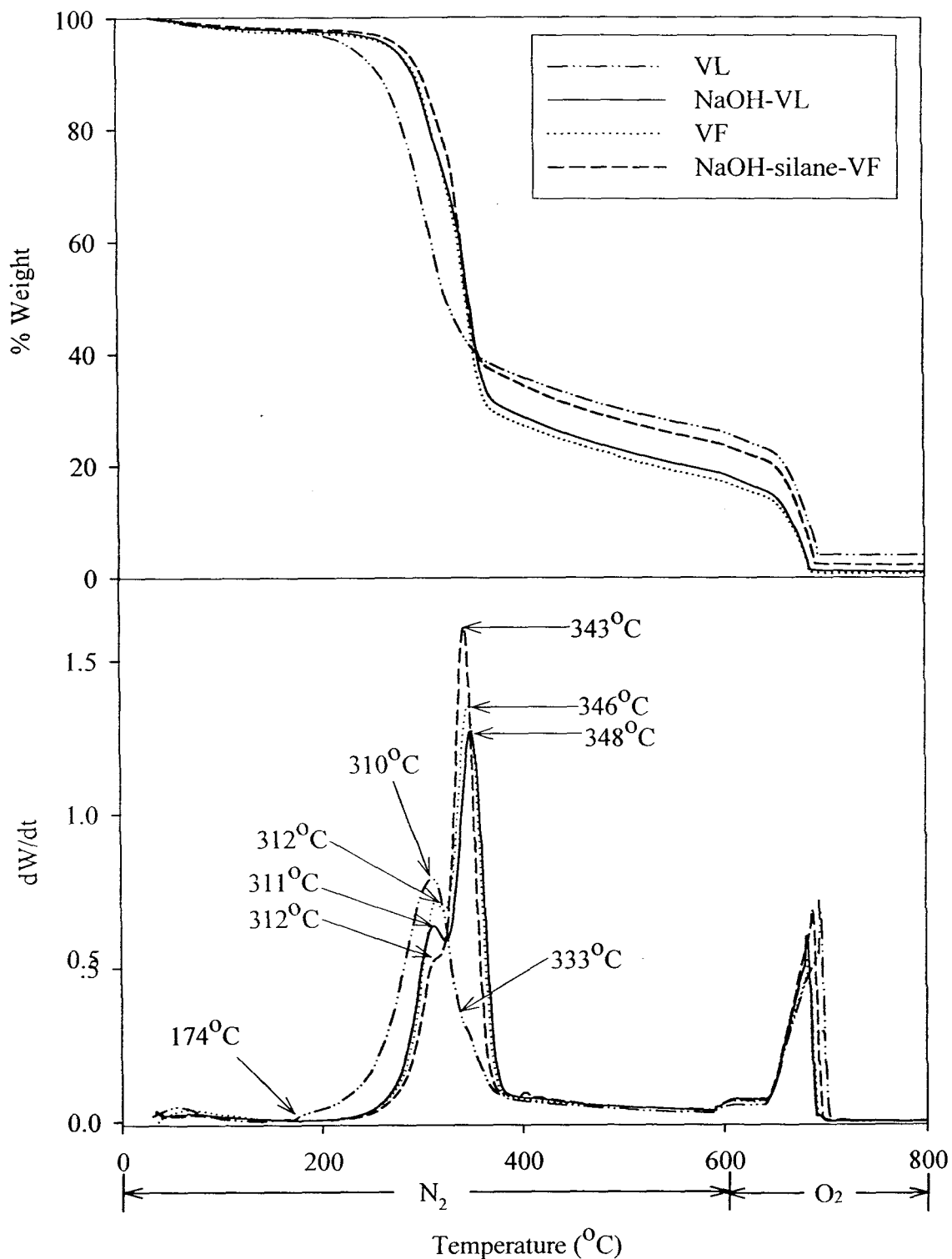
องค์ประกอบทางเคมี	VL (% wt)	NaOH-VL (% wt)	VF (% wt)
C	89.39	97.30	99.00
SiO ₂	5.74	1.17	0.34
K ₂ O	3.34	0.21	0.02
P ₂ O ₅	0.33	0.12	0.03
SO ₃	0.28	0.05	0.02
Al ₂ O ₃	0.14	0.05	0.02
MgO	0.07	0.07	0.07
Cl	0.07	0.02	0.01
MnO	0.05	0.04	0.02
Na ₂ O	0.00	0.01	0.00
Others*	0.10	0.07	0.01

*รายละเอียดแสดงในภาคผนวก ข

3.2 สมบัติทางความร้อนของหูดี้แฟก และวัสดุเชิงประจุบาริ่งหูดี้แฟกและพอลิไพรพีอีน

3.2.1 ผลกระทบของการปรับปรุงหูดี้แฟกโดยกระบวนการทางเคมีต่อสมบัติทางความร้อนของหูดี้แฟก

ผลการวิเคราะห์สมบัติทางความร้อนของการปรับปรุงหูดี้แฟกโดยกระบวนการทางเคมีโดยใช้ TGA แสดงดังรูปที่ 3.1 พบว่าในกราฟ TGA ของ VL NaOH-VL VF และ NaOH-silane-VF จะเริ่มเปลี่ยนแปลงมวลที่อุณหภูมิ 100 องศาเซลเซียส ซึ่งเนื่องจากการระเหยไปของน้ำ และจากการวิเคราะห์กราฟจะมีปริมาณของน้ำที่อยู่ในหูดี้แฟกประมาณ 3 เปอร์เซ็นต์โดยน้ำหนัก อุณหภูมิการเสื่อมสภาพของ VL มีการเปลี่ยนแปลงที่อุณหภูมิ 174 องศาเซลเซียส อาจมาจากการหายไปขององค์ประกอบที่มีน้ำหนักโมเลกุลต่ำ เช่น ลิกนิน แวนค์ (Wax) สำหรับในกรณีของ NaOH-VL VF และ NaOH-silane-VF อุณหภูมิการเสื่อมสภาพขององค์ประกอบที่มีน้ำหนักโมเลกุลต่ำไม่สามารถพบได้ เนื่องจากโซเดียมไฮดรอกไซค์สามารถกำจัดองค์ประกอบที่มีน้ำหนักโมเลกุลต่ำที่ติดอยู่กับใบหูดี้แฟกได้ อุณหภูมิการเสื่อมสภาพของเขมิเซลลูโลสของ VL NaOH-VL VF และ NaOH-silane-VF แสดงการเปลี่ยนแปลงที่อุณหภูมิ 310 311 312 และ 312 องศาเซลเซียส ตามลำดับ ซึ่งไม่มีความแตกต่างกันอย่างมีนัยสำคัญ นอกเหนือนี้ อุณหภูมิการเสื่อมสภาพของเอลฟ่าเซลลูโลสไม่สามารถพบ การเปลี่ยนแปลงเส้นกราฟได้ในกราฟ DTG อย่างไรก็ตามการเริ่มน้ำของอุณหภูมิการเสื่อมสภาพของเอลฟ่าเซลลูโลสจะสามารถพบได้ในกราฟ DTG ที่อุณหภูมิ 333 องศาเซลเซียส นอกเหนือนี้ อุณหภูมิการเสื่อมสภาพของเขมิเซลลูโลสและเอลฟ่าเซลลูโลสของหูดี้แฟกจะอยู่ในช่วงอุณหภูมิเดียวกับเส้นไข ปอกระเจา ปอแก้ว และป้านครนารายณ์ [11-12, 18] น้ำหนักเต้าที่เหลืออยู่ที่อุณหภูมิ 800 องศาเซลเซียสของ VL จะมีปริมาณที่มากกว่าหูดี้แฟกชนิดอื่น ๆ อาจเนื่องมาจากสารอนินทรีย์ที่อยู่ในหูดี้แฟกโดยเฉพาะซิลิกา ที่แสดงในตารางที่ 3.3

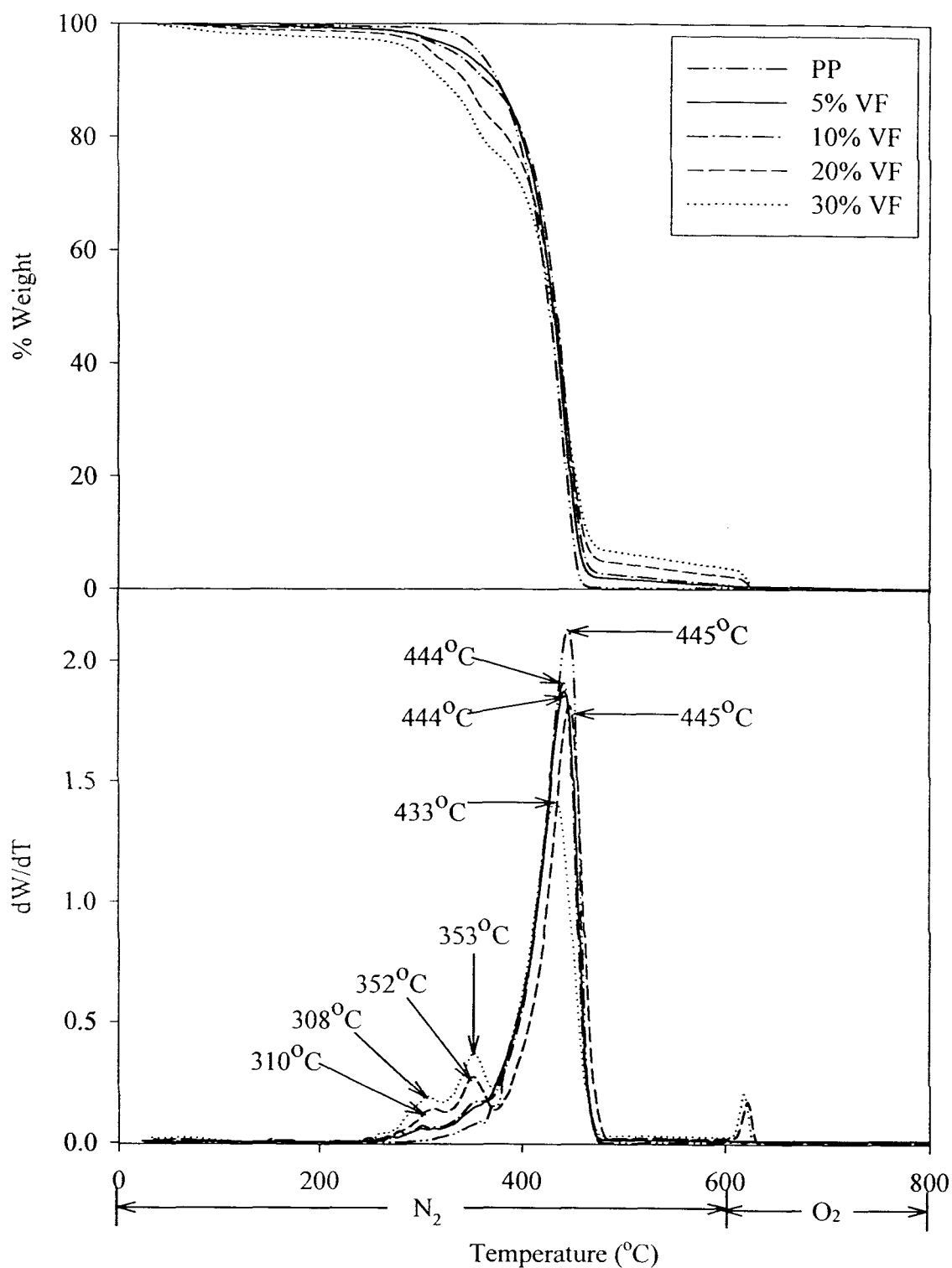


รูปที่ 3.1 กราฟ TGA และ DTG ของหุ้นแฟกชันต่างๆ

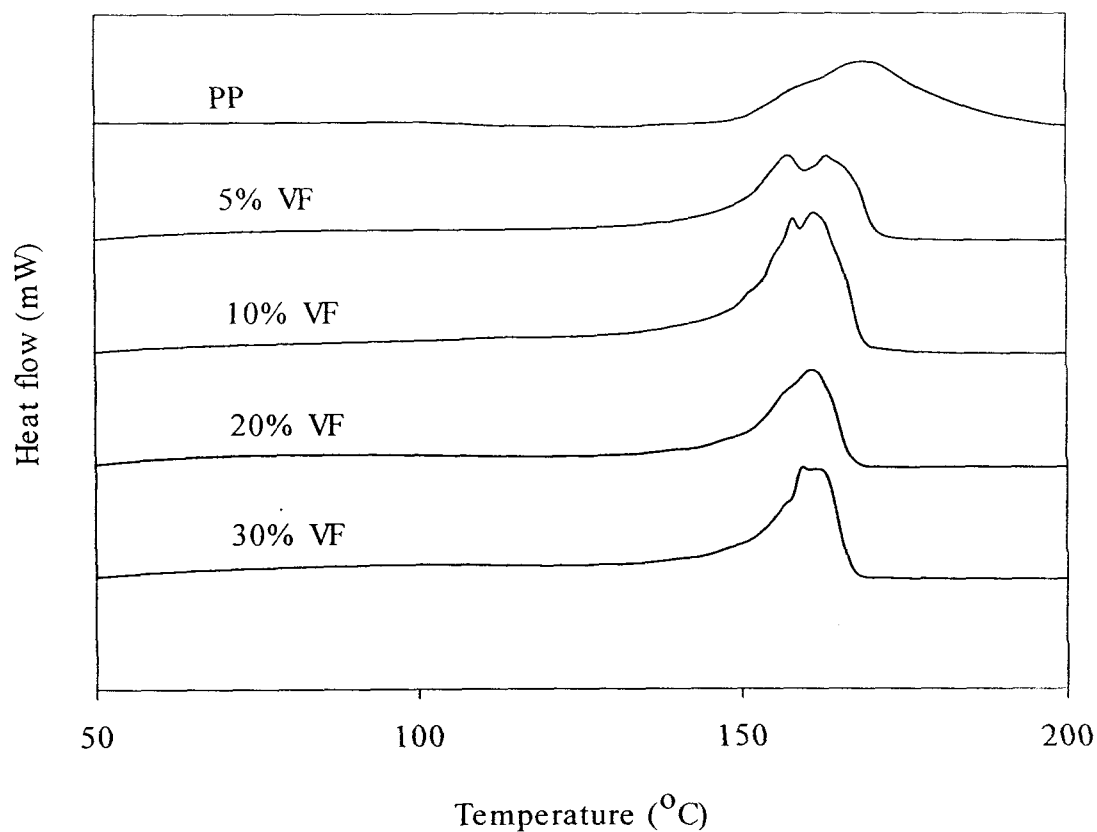
3.2.2 ผลกระบวนการอัตราส่วนผสมต่อสมบัติทางความร้อนของวัสดุเชิงประกอบ

ผลการวิเคราะห์สมบัติทางความร้อนของพอลิไพรพิลินและวัสดุเชิงประกอบที่อัตราส่วนผสมของเส้นไขเป็น 5 10 20 และ 30 เปรอร์เซ็นต์โดยน้ำหนัก โดยใช้เทคนิค TGA แสดงดังรูปที่ 3.2 พบว่าที่ปรือร์เซ็นต์อัตราส่วนผสมของเส้นไขหลักแฟกที่สูงที่สุดจะมีปริมาณของน้ำที่สะสมอยู่มากที่สุด อุณหภูมิการเสื่อมสภาพของพอลิไพรพิลินจะอยู่ที่อุณหภูมิ 445 องศาเซลเซียส และอุณหภูมิการเสื่อมสภาพของพอลิไพรพิลินสิ้นสุดที่อุณหภูมิประมาณ 500 องศาเซลเซียส อุณหภูมิการเสื่อมสภาพของเอมิเซลลูโลส (308-310 องศาเซลเซียส) และอุณหภูมิการเสื่อมสภาพของเอลฟ่าเซลลูโลส (352-353 องศาเซลเซียส) สามารถพบได้เมื่ออัตราส่วนที่มากกว่า 5 เปรอร์เซ็นต์โดยน้ำหนัก นอกจากนี้ อุณหภูมิการเสื่อมสภาพของเอลฟ่าเซลลูโลสของวัสดุเชิงประกอบมีค่าสูงกว่าที่พบในเส้นไขหลักแฟกที่ไม่ได้ผสมพอลิเมอร์ เนื่องจากพอลิไพรพิลินสามารถช่วยหน่วงการเสื่อมสภาพของเอลฟ่าเซลลูโลสได้ และการเริ่มต้นของอุณหภูมิการเสื่อมสภาพของวัสดุเชิงประกอบมีค่าลดลงเมื่อปริมาณของพอลิไพรพิลินลดลง เนื่องจากหลักแฟกมีความเสถียรทางความร้อนต่ำ

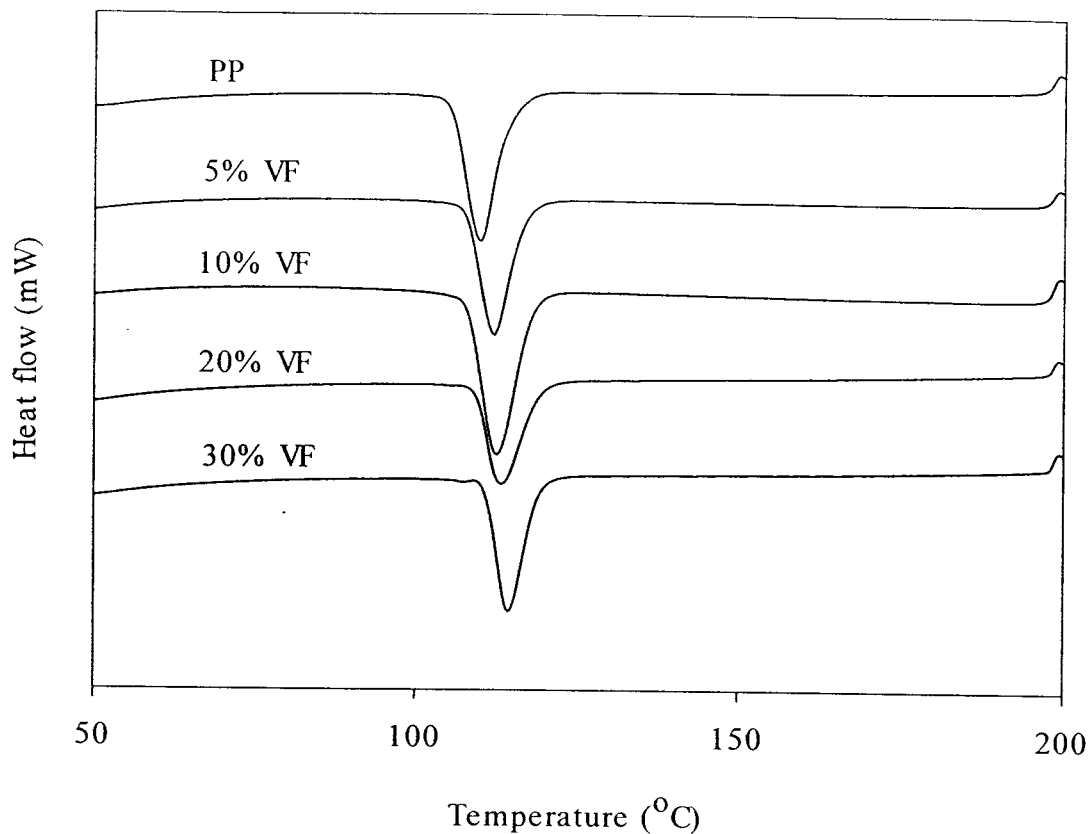
ผลการวิเคราะห์สมบัติทางความร้อนของพอลิไพรพิลินและวัสดุเชิงประกอบระหว่างพอลิไพรพิลินและหลักแฟกที่มีอัตราส่วนต่างกัน โดยใช้เทคนิค DSC ที่ผ่านการให้ความร้อนครั้งที่หนึ่ง การทำให้เย็นตัวลง และการให้ความร้อนครั้งที่สอง แสดงดังรูปที่ 3.3-3.5 ตามลำดับ พบว่าในรูปที่ 3.3 เป็นรูปที่เกิดจากการให้ความร้อนครั้งที่หนึ่งกับพอลิไพรพิลินและวัสดุเชิงประกอบซึ่งในพอลิไพรพิลินจะมีการเปลี่ยนแปลงเส้นกราฟหนึ่งการเปลี่ยนแปลงซึ่งแสดงถึงอุณหภูมิการหลอมเหลวของพอลิไพรพิลิน แต่ขณะที่ในวัสดุเชิงประกอบจะมีการเปลี่ยนแปลงเส้นกราฟเล็กๆ ส่องการเปลี่ยนแปลง ซึ่งการพนการเปลี่ยนแปลงเส้นกราฟนี้สามารถอธิบายได้จากเหตุผลของลักษณะทางสัมฐานวิทยาที่แตกต่างกันในวัสดุเชิงประกอบหรืออาจอธิบายได้อีกทางหนึ่งคือ รูปแบบของผลึกที่เกิดขึ้นอย่างหลากหลายจะมีผลต่อการเปลี่ยนแปลงเส้นกราฟ นี้สามารถอธิบายได้จากการเปลี่ยนแปลงเส้นกราฟนี้สามารถอธิบายได้จากการเปลี่ยนแปลงเส้นกราฟที่เกิดขึ้นจะเกิดเพียงหนึ่งการเปลี่ยนแปลง และเป็นการเปลี่ยนแปลงที่แคบ เช่นเดียวกับการศึกษาสมบัติทางความร้อนของวัสดุเชิงประกอบระหว่างพอลิไพรพิลินกับเส้นไขลินิน โดยใช้เทคนิค DSC พบว่าลักษณะกราฟของ DSC ของวัสดุเชิงประกอบจะเกิดการเปลี่ยนแปลงเส้นกราฟ 2 การเปลี่ยนแปลง โดยให้เหตุผลว่าเกิดจากลักษณะทางสัมฐานวิทยาที่ต่างกัน [19]



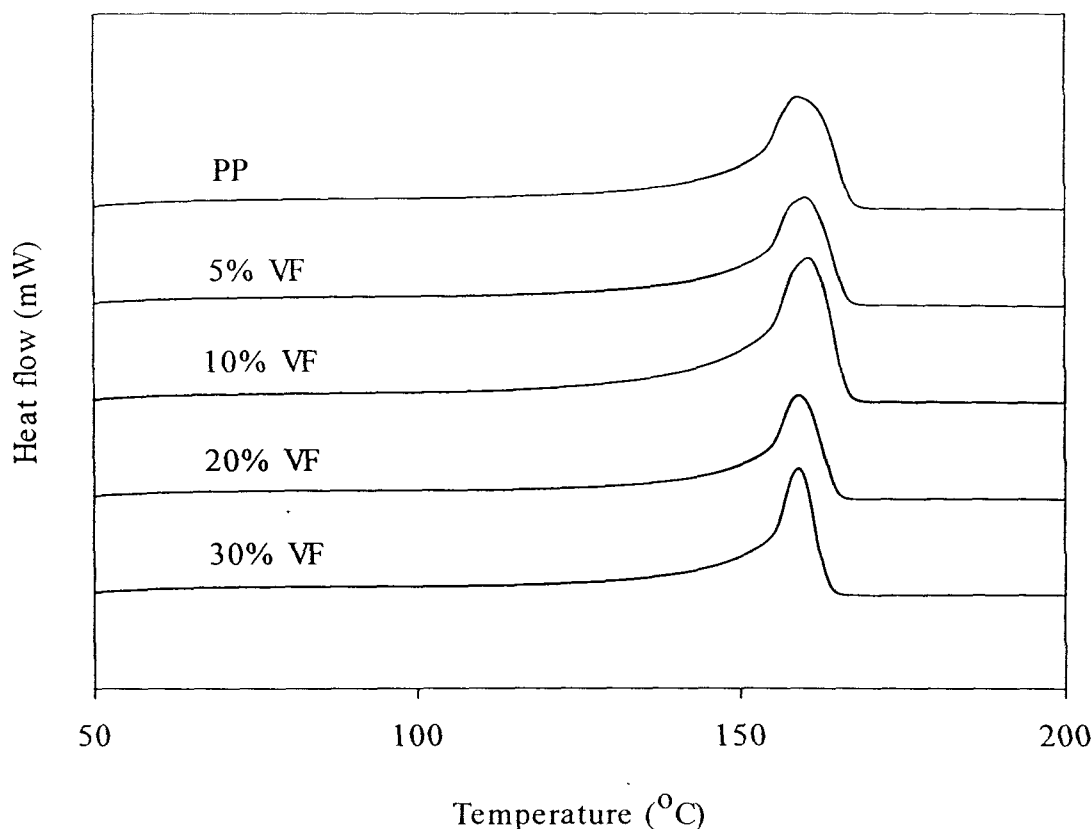
รูปที่ 3.2 กราฟ TGA และ DTG ของวัสดุเชิงประจุบวกระหว่างพอลิไพรพิลีนกับหัญญ่าแฟกท์ได้จาก VF ที่อัตราส่วน 5 10 20 และ 30 เปอร์เซ็นต์โดยน้ำหนัก



รูปที่ 3.3 กราฟ DSC ของการให้ความร้อนครั้งที่หนึ่งของวัสดุเชิงประภณะระหว่างพอลิไพรพิลีนกับ
อะซ్યูແຟກที่ได้จาก VF ที่อัตราส่วน 5 10 20 และ 30 เปอร์เซ็นต์โดยน้ำหนัก



รูปที่ 3.4 กราฟ DSC ของการทำให้ไห้เย็นตัวลงของวัสดุเชิงประจุบวกระหว่างพอลิไพรพลีนกับ
หลักแฟกท์ได้จาก VF ที่อัตราส่วน 5 10 20 และ 30 เปอร์เซ็นต์โดยน้ำหนัก



รูปที่ 3.5 กราฟ DSC ของการให้ความร้อนครั้งที่สองของวัสดุเชิงประกลบระหว่างพอลิไพรพิลินกับ
หัญชาแฟกท์ได้จาก VF ที่อัตราส่วน 5 10 20 และ 30 เปอร์เซ็นต์โดยน้ำหนัก

ผลการวิเคราะห์ค่าอุณหภูมิการหลอมเหลวของวัสดุเชิงประกลบที่ได้จากการให้ความร้อนครั้งที่สองในรูปที่ 3.5 และสรุปแสดงในตารางที่ 3.4 พบว่าอุณหภูมิการหลอมเหลวของวัสดุเชิงประกลบไม่มีความแตกต่างอย่างมีนัยสำคัญกับปริมาณหัญชาแฟกท์เติบลงไปเพิ่มขึ้น ซึ่งเช่นเดียวกับการศึกษาสมบัติทางความร้อนของวัสดุเชิงประกลบระหว่างพอลิไพรพิลินกับเส้นใยป่านศรนารายณ์ พบว่าอุณหภูมิการหลอมเหลวไม่มีการเปลี่ยนแปลงอย่างมีนัยสำคัญเมื่ออัตราส่วนของเส้นใยในวัสดุเชิงประกลบมีปริมาณต่างกัน [20] และรวมถึงการศึกษาผลกระบวนการของเส้นใยป่านศรนารายณ์ต่อการเกิดผลลัพธ์ของพอลิไพรพิลิน พบว่าเส้นใยไม่มีผลกระทบต่ออุณหภูมิการหลอมเหลวในวัสดุเชิงประกลบ [21]

ผลการคำนวณเปอร์เซ็นต์การเกิดผลลัพธ์จากสมการ 2.1 และอุณหภูมิการเกิดผลลัพธ์ที่ได้จากรูปที่ 3.3 และ 3.4 ตามลำดับ แสดงสรุปในตารางที่ 3.5 พบว่าอุณหภูมิการเกิดผลลัพธ์ของวัสดุเชิงประกลบมีค่าเพิ่มขึ้นเล็กน้อยเมื่อปริมาณหัญชาแฟกเพิ่มขึ้น และเปอร์เซ็นต์การเกิดผลลัพธ์มีค่าลดลงเล็กน้อยเมื่อปริมาณหัญชาแฟกเพิ่มขึ้น ซึ่งสามารถอธิบายได้ดังนี้คือ ในกระบวนการเกิดผลลัพธ์จะ

ประกอบด้วยนิวเคลียสและการเติบโตของเซลล์ โดยเส้นใยพังผืดที่อยู่ในวัสดุเชิงประดิษฐ์จะแสดงตัวเหมือนเป็นนิวเคลียสสำหรับที่จะเกิดเป็นเซลล์ ซึ่งเป็นผลให้อุณหภูมิการเกิดเซลล์เพิ่มขึ้นเมื่อปริมาณพังผืดเพิ่มขึ้น หลังจากการเกิดเป็นนิวเคลียสแล้ว ก็ตามด้วยขั้นที่เติบโตเป็นเซลล์ ซึ่งในกระบวนการเกิดเซลล์นี้ เส้นใยพังผืดอาจเป็นตัวชัดขวางการเคลื่อนที่ของโมเลกุลของการหลอมเหลวจึงส่งผลให้เปอร์เซ็นต์การเกิดเซลล์ลดลงเมื่อปริมาณพังผืดเพิ่มขึ้น [20, 22]

ตารางที่ 3.4 อุณหภูมิการหลอมเหลวของวัสดุเชิงประดิษฐ์ระหว่างพอลิไพรพิลินกับพังผืดที่ได้จาก VF โดยมีอัตราส่วนผสมค่าคงที่ได้จากการให้ความร้อนครั้งที่สอง

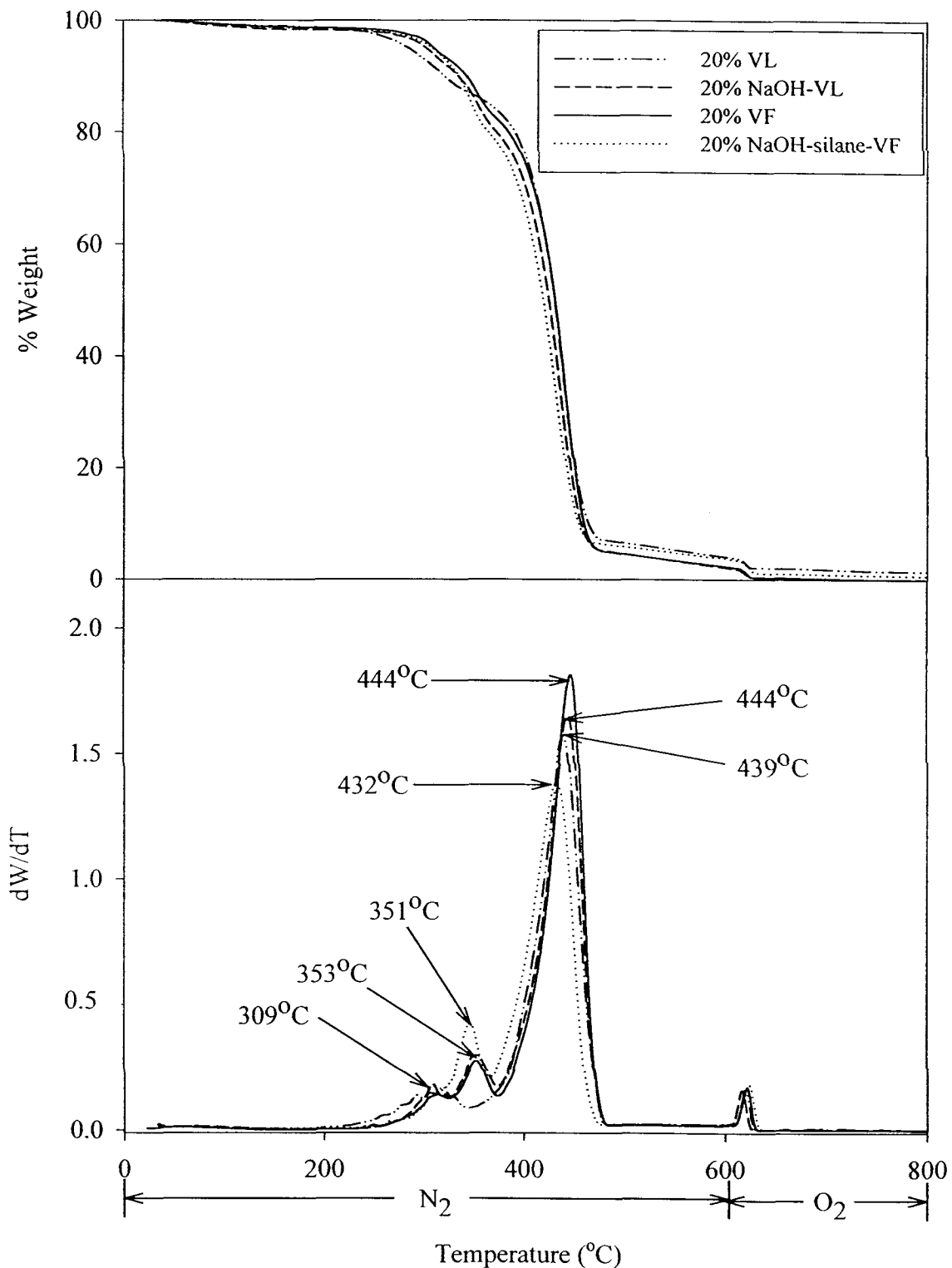
อัตราส่วนผสม (เปอร์เซ็นต์โดยน้ำหนัก)	อุณหภูมิการหลอมเหลว (องศาเซลเซียส)
0	159
5	159
10	160
20	159
30	159

ตารางที่ 3.5 อุณหภูมิการเกิดเซลล์ และเปอร์เซ็นต์การเกิดเซลล์ของวัสดุเชิงประดิษฐ์ระหว่างพอลิไพรพิลินกับพังผืดที่ได้จาก VF โดยมีอัตราส่วนผสมที่ต่างกัน

อัตราส่วนผสม (เปอร์เซ็นต์โดยน้ำหนัก)	อุณหภูมิการเกิดเซลล์ (องศาเซลเซียส)	เปอร์เซ็นต์การเกิดเซลล์
0	109	45.1
5	111	44.7
10	112	44.4
20	113	37.8
30	114	33.7

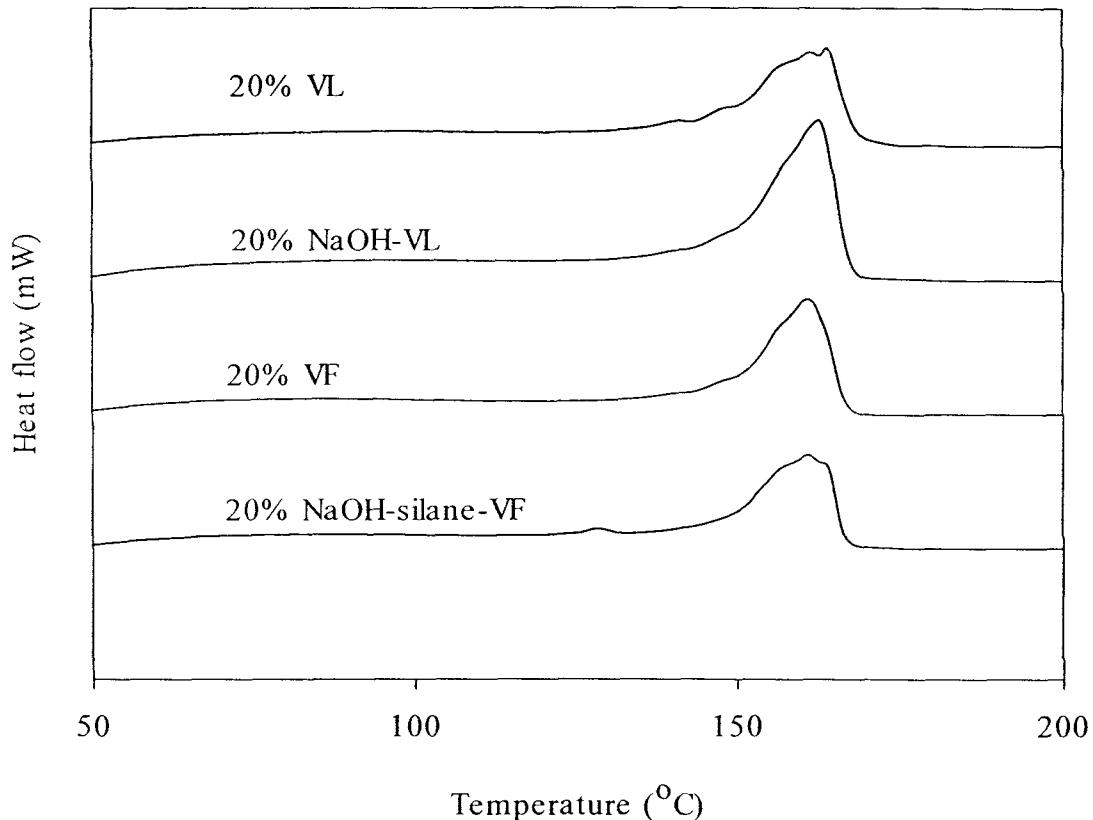
3.2.3 ผลกระทบของการปรับปรุงผู้ใช้แฟกโดยกระบวนการทางเคมีต่อสมบัติทางความร้อนของวัสดุเชิงประกลบ

การวิเคราะห์สมบัติทางความร้อนของวัสดุเชิงประกลบระหว่างพอลิไพรพีนและผู้ใช้แฟกที่ได้จาก VL NaOH-VL VF และ NaOH-silane-VF ที่อัตราส่วน 20 เปอร์เซ็นต์โดยน้ำหนัก โดยใช้เทคนิค TGA แสดงคังรูปที่ 3.6 พบว่าจากการ TGA ของวัสดุเชิงประกลบเริ่มมีการเปลี่ยนแปลงมวลของผู้ใช้แฟกที่อุณหภูมิ 100 องศาเซลเซียส เนื่องจากการระเหยของน้ำ อุณหภูมิการเสื่อมสภาพของเอลฟ่าเซลลูโลสของวัสดุเชิงประกลบระหว่างพอลิไพรพีนกับผู้ใช้แฟกที่ได้จาก NaOH-VL VF และ NaOH-silane-VF อยู่ในช่วงอุณหภูมิเดียวกัน (351-353 องศาเซลเซียส) ซึ่งจากช่วงอุณหภูมิการเสื่อมสภาพของเอลฟ่าเซลลูโลสของ NaOH-VL VF และ NaOH-silane-VF (343-348 องศาเซลเซียส) อย่างไรก็ตาม อุณหภูมิการเสื่อมสภาพของเอลฟ่าเซลลูโลสของวัสดุเชิงประกลบระหว่างพอลิไพรพีนกับผู้ใช้แฟกที่ได้จาก VL ไม่สามารถพนได้ และอุณหภูมิเริ่มต้นการเสื่อมสภาพของวัสดุเชิงประกลบที่ได้จาก VL จะมีค่าต่ำกว่าเส้นไขชนิดอื่น เนื่องจากความเสถียรทางความร้อนที่ต่ำของ VL

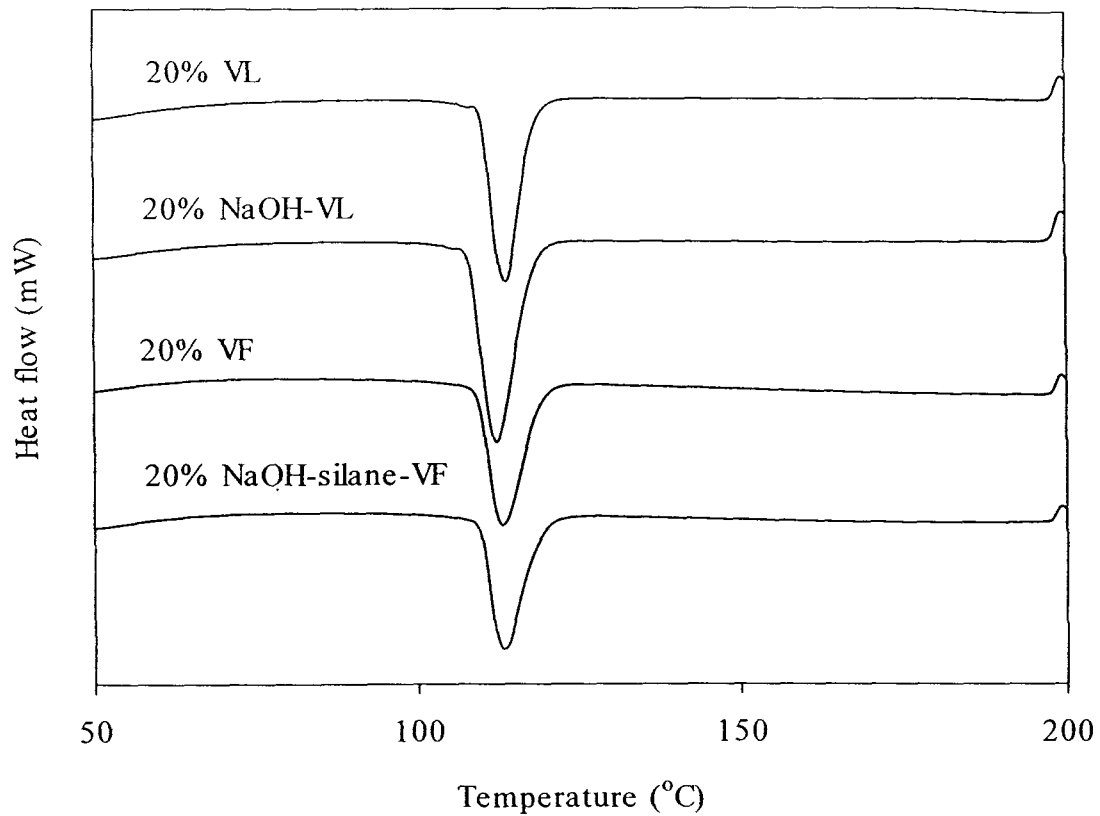


รูปที่ 3.6 กราฟ TGA และ DTG ของรัศมีเชิงประกายระหว่างพอลิโพร์พลีนกับหงյ่าแฟกชันิดต่างๆ ที่อัตราส่วน 20 เบอร์เซ็นต์โดยน้ำหนัก

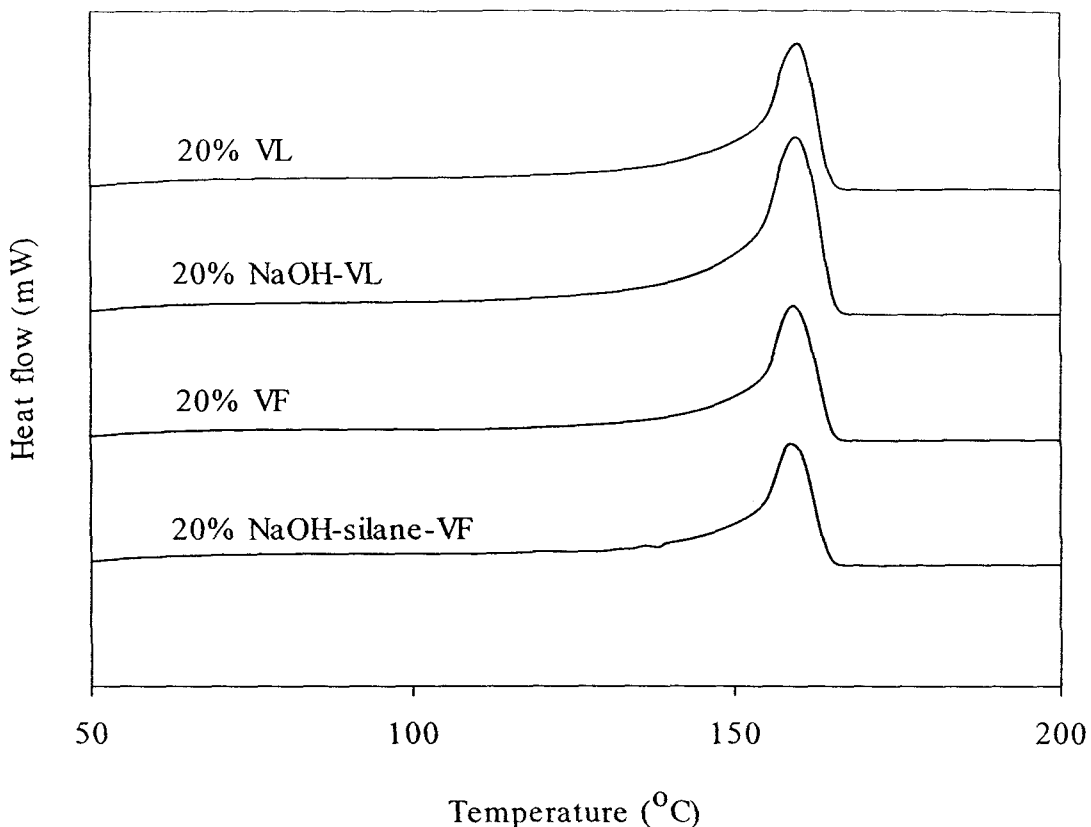
การวิเคราะห์สมบัติทางความร้อนโดยใช้เทคนิค DSC ของวัสดุเชิงประกลงระหว่างพอลิไพรพิลีนและญี่ปุ่นแฟกที่เตรียมจาก VL NaOH-VL VF และ NaOH-silane-VF ที่อัตราส่วนผสมเท่ากับ 20 เบอร์เซ็นต์โดยน้ำหนัก จากการให้ความร้อนครั้งที่หนึ่ง การทำให้เย็นตัวลง และการให้ความร้อนครั้งที่สอง แสดงดังรูปกราฟที่ 3.7-3.9 ตามลำดับ พบว่าในรูปที่ 3.7 เป็นการให้ความร้อนครั้งที่หนึ่งของวัสดุเชิงประกลงระหว่างพอลิไพรพิลีนและญี่ปุ่นแฟก จะมีการเปลี่ยนแปลงโดยเกิดเป็นการเปลี่ยนแปลงเส้นกราฟเล็กๆ หลายการเปลี่ยนแปลง ซึ่งชี้ให้เห็นว่าอาจเกิดจากรูปแบบของผลึกที่เกิดขึ้นอย่างหลากหลายตามผ่านกระบวนการขึ้นรูป และลักษณะที่แตกต่างของรูปแบบผลึกจะหายไปหลังจากทำการให้ความร้อนครั้งที่สองในรูปที่ 3.9



รูปที่ 3.7 กราฟ DSC ของการให้ความร้อนครั้งที่หนึ่งของวัสดุเชิงประกลงระหว่างพอลิไพรพิลีนกับญี่ปุ่นแฟกชนิดต่างๆ ที่อัตราส่วน 20 เบอร์เซ็นต์โดยน้ำหนัก



รูปที่ 3.8 กราฟ DSC ของการทำให้เย็นตัวลงของวัสดุเชิงประภพระหว่างพอลิไพรพิลีนกับหลุ่ยแฟเกชnidค์ต่างๆ ที่อัตราส่วน 20 เปอร์เซ็นต์โดยน้ำหนัก



รูปที่ 3.9 กราฟ DSC ของการให้ความร้อนครั้งที่สองของวัสดุเชิงประกลบระหว่างพอลิไพรพลีนกับ หัญชาแฟกชนิดต่างๆ ที่อัตราส่วน 20 เปอร์เซ็นต์โดยน้ำหนัก

การวิเคราะห์หาค่าอุณหภูมิการหลอมเหลวที่ได้จากการให้ความร้อนครั้งที่สองในรูปที่ 3.9 แสดงในตารางที่ 3.6 พบว่าอุณหภูมิการหลอมเหลวของวัสดุเชิงประกลบระหว่างพอลิไพรพลีนกับหัญชาแฟกที่ได้จาก VL NaOH-VL VF และ NaOH-silane-VF มีค่าไม่แตกต่างกันอย่างมีนัยสำคัญ การคำนวณเปอร์เซ็นต์การเกิดผลึก จากสมการที่ 2.1 และอุณหภูมิการเกิดผลึก ได้จากรูปที่ 3.7 และ 3.8 ตามลำดับ แสดงสรุปในตารางที่ 3.7 พบว่าอุณหภูมิการเกิดผลึกของวัสดุเชิงประกลบที่ได้จาก VL NaOH-VL VF และ NaOH-silane-VF ไม่แตกต่างกันอย่างมีนัยสำคัญ สำหรับเปอร์เซ็นต์การเกิดผลึกของวัสดุเชิงประกลบระหว่างพอลิไพรพลีนกับหัญชาแฟกที่ได้จาก NaOH-VL มีค่าสูงกว่า VL เล็กน้อย เนื่องจากใช้เดี่ยมไฮดรอกไซค์สามารถขจัดสิ่งสกปรกออกจากผิวของหัญชาแฟกได้ จึงทำให้เพิ่มบริเวณของการเกิดเป็นผลึกได้มากขึ้น นอกจากนี้ เปอร์เซ็นต์การเกิดผลึกของวัสดุเชิงประกลบระหว่างพอลิไพรพลีนกับหัญชาแฟกที่ได้จาก NaOH-silane-VF มีค่าสูงกว่า VF เล็กน้อย อาจเนื่องจากใช้เลนที่ติดบนผิวของเส้นใยเป็นนิวเคลียสสำหรับกระบวนการเกิดผลึก

ตารางที่ 3.6 อุณหภูมิการหลอมเหลวของวัสดุเชิงประดิษฐ์ที่อัดต่ำส่วน 20 เปอร์เซ็นต์โดยน้ำหนักที่ได้จากการให้ความร้อนที่สอง

ชนิดของพลาสติก	อุณหภูมิการหลอมเหลว (องศาเซลเซียส)
VL	159
NaOH-VL	159
VF	159
NaOH-silane-VF	158

ตารางที่ 3.7 อุณหภูมิการเกิดผลึก และเปอร์เซ็นต์การเกิดผลึกของวัสดุเชิงประดิษฐ์ที่ได้จากการให้ความร้อนที่สอง 20 เปอร์เซ็นต์โดยน้ำหนัก

ชนิดของพลาสติก	อุณหภูมิการเกิดผลึก (องศาเซลเซียส)	เปอร์เซ็นต์การเกิดผลึก
VL	113	36.05
NaOH-VL	112	38.66
VF	113	34.35
NaOH-silane-VF	113	40.57

3.3 สมบัติทางวิทยาศาสตร์ของวัสดุเชิงประกลับระหว่างหุ้นแฟกและพอลิไพรพิลิน

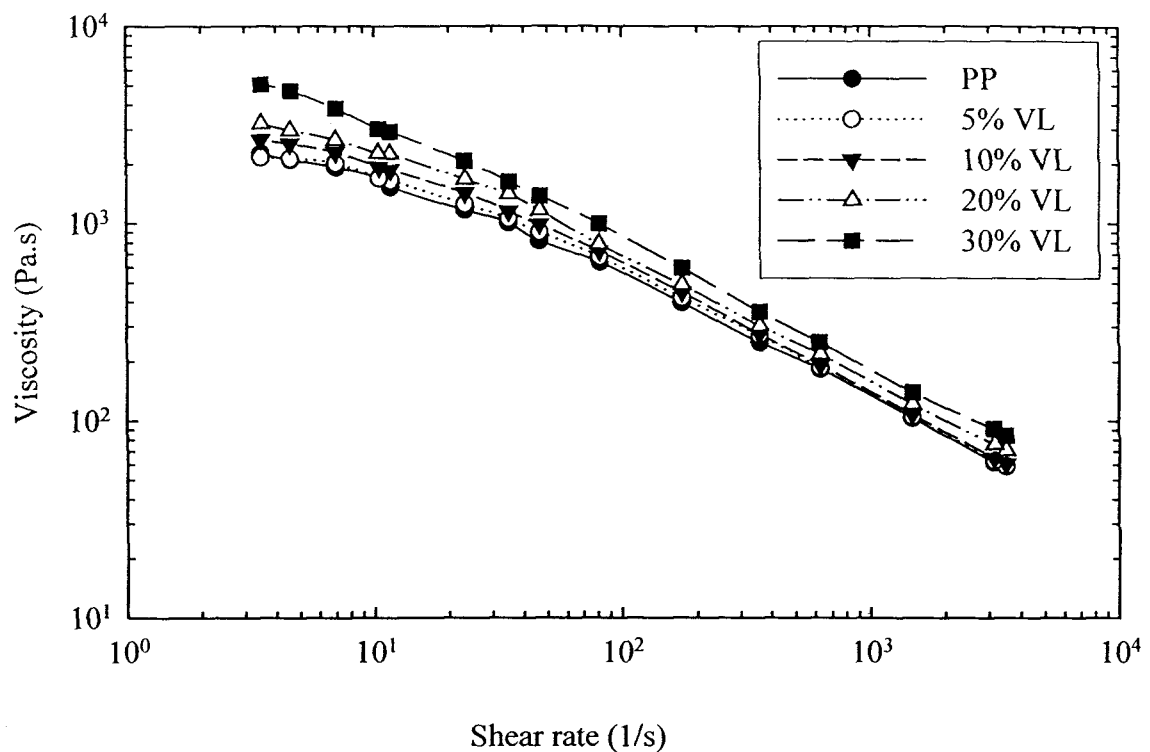
3.3.1 ผลกระทบของอัตราส่วนผสมต่อสมบัติทางวิทยาศาสตร์ของวัสดุเชิงประกลับ

ค่าดัชนีการไหลของพอลิไพรพิลินและวัสดุเชิงประกลับระหว่างพอลิไพรพิลินกับหุ้นแฟกที่ได้จาก VF โดยมีอัตราส่วนผสมที่ต่างกัน ณ สถานะการทดลองที่อุณหภูมิ 170 องศาเซลเซียส แสดงในตารางที่ 3.8 พบว่าค่าดัชนีการไหลของพอลิไพรพิลินมีค่าสูงกว่าวัสดุเชิงประกลับ และค่าดัชนีการไหลของวัสดุเชิงประกลับมีค่าลดลงเมื่อปริมาณหุ้นแฟกเพิ่มขึ้น ซึ่งแสดงว่าความหนืดของวัสดุเชิงประกลับมีค่าเพิ่มขึ้นเมื่อปริมาณหุ้นแฟกเพิ่มขึ้น เช่นเดียวกับการศึกษาว่าวัสดุเชิงประกลับระหว่างเส้นไขม魄ร้าวกับพอลิไพรพิลินที่พบว่าค่าดัชนีการไหลมีค่าลดลงเมื่ออัตราส่วนของเส้นไขม魄ร้าเพิ่มขึ้น [23]

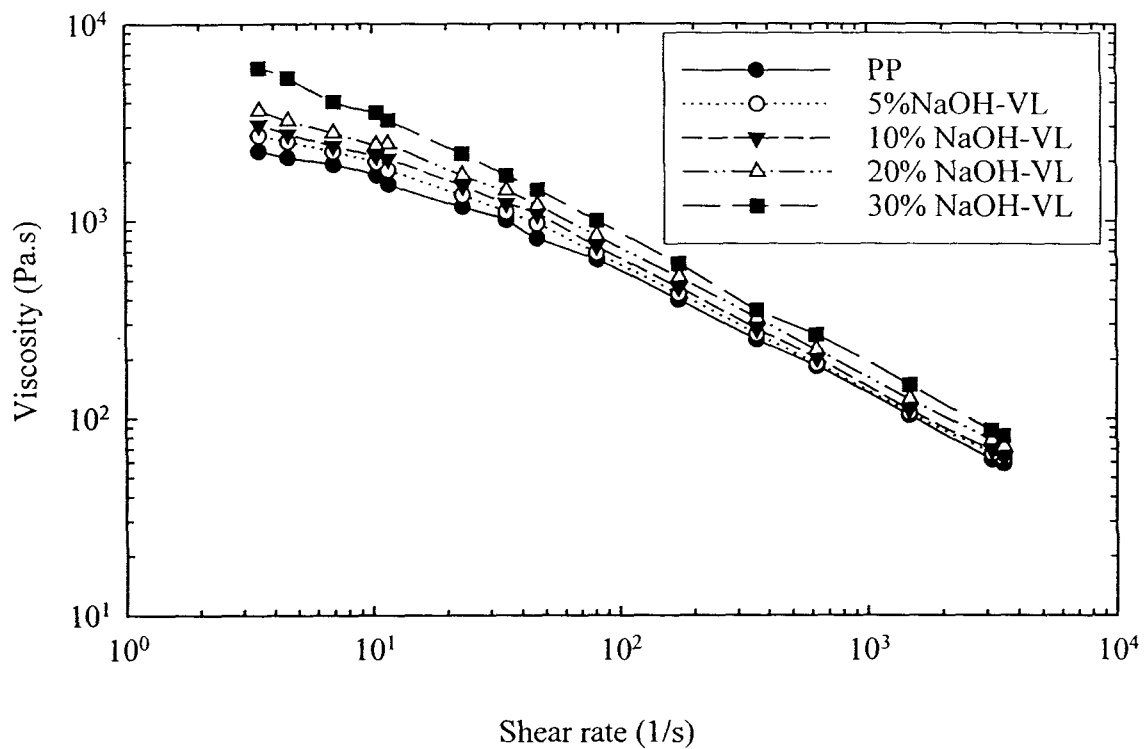
ตารางที่ 3.8 ค่าดัชนีการไหลของพอลิไพรพิลินและวัสดุเชิงประกลับระหว่างพอลิไพรพิลินกับหุ้นแฟกที่ได้จาก VF โดยมีอัตราส่วนผสมที่ต่างกัน

อัตราส่วนผสม (เปอร์เซ็นต์โดยน้ำหนัก)	ค่าดัชนีการไหล (กรัมต่อ 10 นาที)
0	3.02
5	2.83
10	2.09
20	1.17
30	0.65

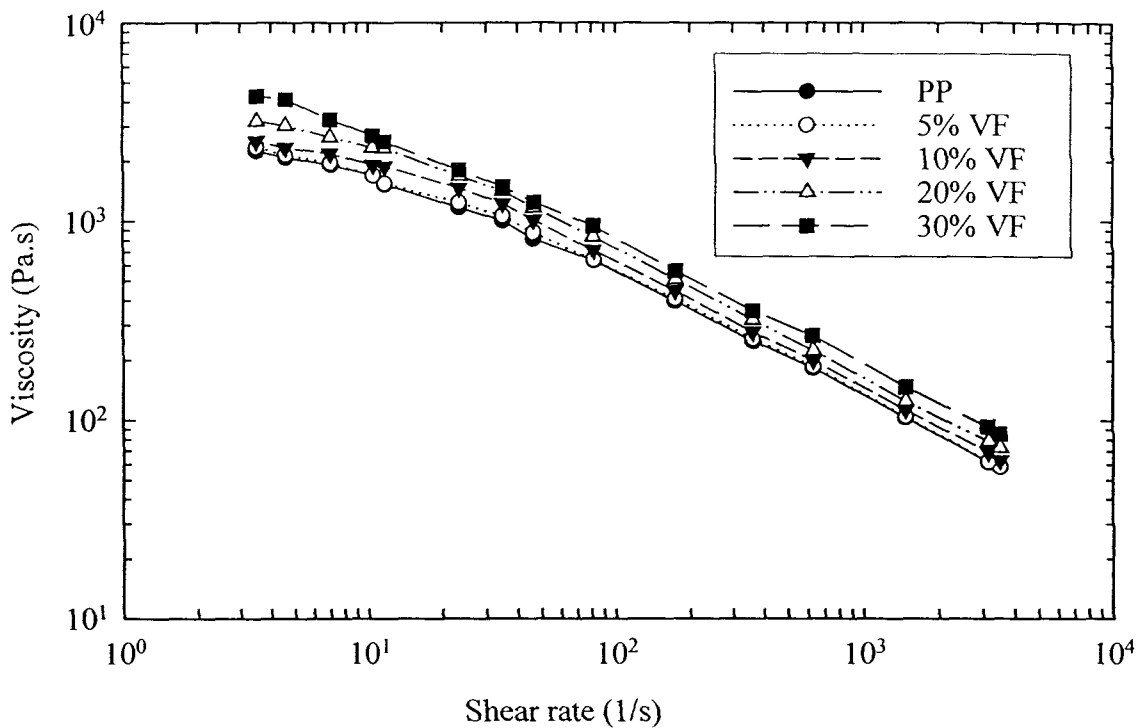
กราฟแสดงการไหลของวัสดุเชิงประกลับระหว่างพอลิไพรพิลินกับหุ้นแฟกที่ได้จาก VL NaOH-VL และ VF ที่อัตราส่วนผสมต่างกัน แสดงในรูปที่ 3.10-3.12 ตามลำดับ จากรูปทั้งสาม พบว่าวัสดุเชิงประกลับมีค่าความหนืดสูงกว่าพอลิไพรพิลินในทุกๆ อัตราเฉือน เนื่องจากหุ้นแฟกเป็นตัวขัดขวางการเคลื่อนที่ในทิศทางการไหลของพอลิไพรพิลิน นอกจากนี้ ความหนืดของวัสดุเชิงประกลับระหว่างพอลิไพรพิลินกับหุ้นแฟกมีค่าเพิ่มขึ้นเมื่อปริมาณหุ้นแฟกเพิ่มขึ้น และที่อัตราเฉือนต่ำๆ ค่าความหนืดจะแตกต่างกันอย่างชัดเจน เนื่องจากอัตราเฉือนที่สูงหุ้นแฟกจะสามารถจัดเรียงตัวในทิศทางการไหลได้สมบูรณ์กว่าการที่มีอัตราเฉือนที่ต่ำกว่า เช่นเดียวกับการศึกษาสมบัติทางวิทยาศาสตร์ของวัสดุเชิงประกลับระหว่างพอลิเอทธิลีนความหนาแน่นต่ำกับเส้นไขสับปะรด ที่รายงานว่าความหนืดของเพิ่มขึ้นเมื่ออัตราส่วนผสมเส้นไขมีค่าเพิ่มขึ้น [24]



รูปที่ 3.10 グラฟแสดงความหนืดที่อัตราเรื่อนต่างๆ ณ อุณหภูมิ 170 องศาเซลเซียสของวัสดุเชิง ประกอบระหว่างพอลิไพรพิลีนกับพอลิฟอกท์ไดจาก VL ที่อัตราส่วนผสมต่างกัน



รูปที่ 3.11 กราฟแสดงความหนืดที่อัตราเฉือนต่างๆ ณ อุณหภูมิ 170 องศาเซลเซียสของวัสดุเชิงประกอบระหว่างพอลิไพริลีนกับหลักแฝกที่ได้จาก NaOH-VL ที่อัตราส่วนผสมต่างกัน



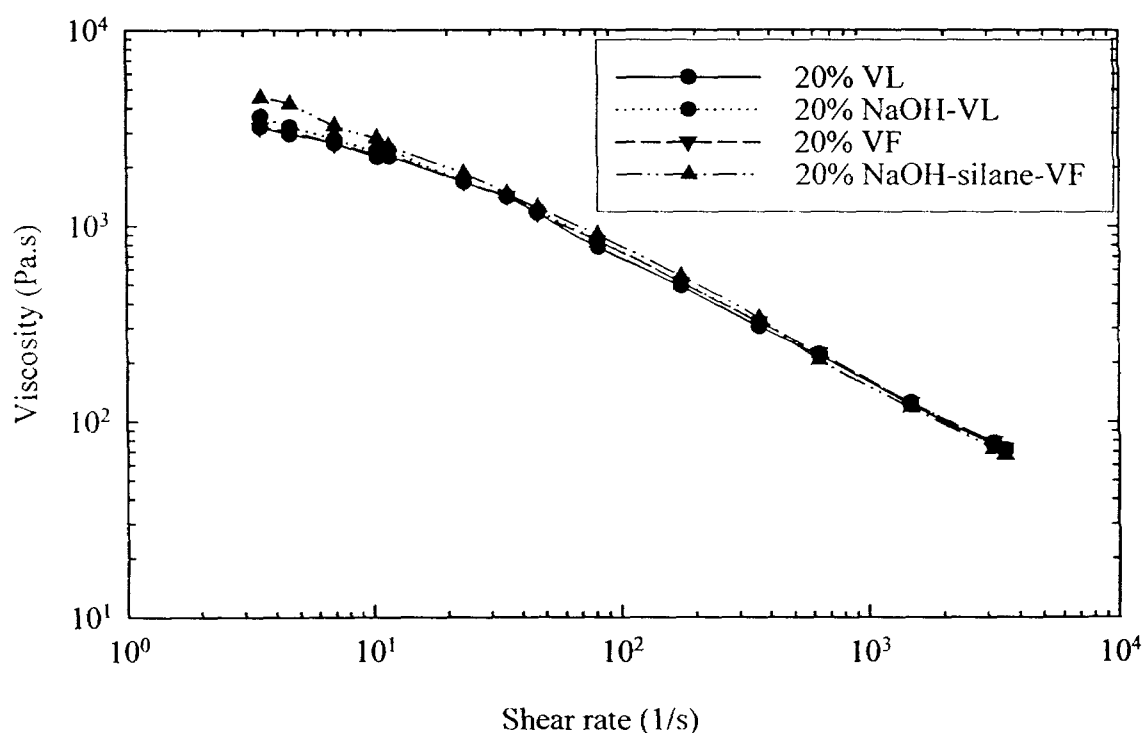
รูปที่ 3.12 กราฟแสดงความหนืดที่อัตราเฉือนต่างๆ ณ อุณหภูมิ 170 องศาเซลเซียสของวัสดุเชิงประกอบระหว่างพอลิโพร์พลีนกับญี่แฟกที่ได้จาก VF ที่อัตราส่วนผสมต่างกัน

3.3.2 ผลกระทบของการปรับปรุงญี่แฟกโดยกระบวนการทางเคมีต่อสมบัติทางวิทยาศาสตร์ของวัสดุเชิงประกอบ

ค่าดัชนีการไหลของวัสดุเชิงประกอบระหว่างพอลิโพร์พลีนกับญี่แฟกที่ได้จาก VL NaOH-VL VF และ NaOH-silane-VF ที่อัตราส่วน 20 เปลอร์เซ็นต์โดยน้ำหนัก แสดงในตารางที่ 3.9 พบว่าวัสดุเชิงประกอบระหว่างพอลิโพร์พลีนกับญี่แฟกที่ได้จากเส้นใยญี่แฟก (VF และ NaOH-silane-VF) มีค่าดัชนีการไหลของต่ำกว่าวัสดุเชิงประกอบระหว่างพอลิโพร์พลีนกับญี่แฟกที่ได้จากใบญี่แฟก (VL NaOH-VL) เล็กน้อย ซึ่งหมายความว่าความหนืดของวัสดุเชิงประกอบระหว่างพอลิโพร์พลีนกับญี่แฟกที่ได้จากเส้นใยมีค่าสูงกว่าใบญี่แฟก ซึ่งแสดงได้ดังกราฟการไหลของวัสดุเชิงประกอบระหว่างพอลิโพร์พลีนกับญี่แฟกที่ได้จาก VL NaOH-VL VF และ NaOH-silane-VF ที่อัตราส่วน 20 เปลอร์เซ็นต์โดยน้ำหนัก ในรูปที่ 3.13 พบว่าที่อัตราการเฉือนที่สูง (10^2 - 10^4 s $^{-1}$) ความหนืดของวัสดุเชิงประกอบจะไม่แตกต่างกันอย่างมีนัยสำคัญ

ตารางที่ 3.9 ค่าดัชนีการไหลของวัสดุเชิงประจักษ์ระหว่างพอลิโพร์พลีนกับหัวแม่फอกที่ได้จาก VL NaOH-VL VF และ NaOH-silane-VF ที่อัตราส่วน 20 เปอร์เซ็นต์โดยน้ำหนัก

ชนิดของหัวแม่ฟอก	ค่าดัชนีการไหล (กรัมต่อ 10 นาที)
VL	1.66
NaOH-VL	1.36
VF	1.17
NaOH-silane-VF	1.17



รูปที่ 3.13 กราฟแสดงความหนืดที่อัตราเฉือนต่างๆ ณ อุณหภูมิ 170 องศาเซลเซียสของวัสดุเชิงประจักษ์ระหว่างพอลิโพร์พลีนกับหัวแม่ฟอกชนิดต่างๆ ที่อัตราส่วน 20 เปอร์เซ็นต์โดยน้ำหนัก

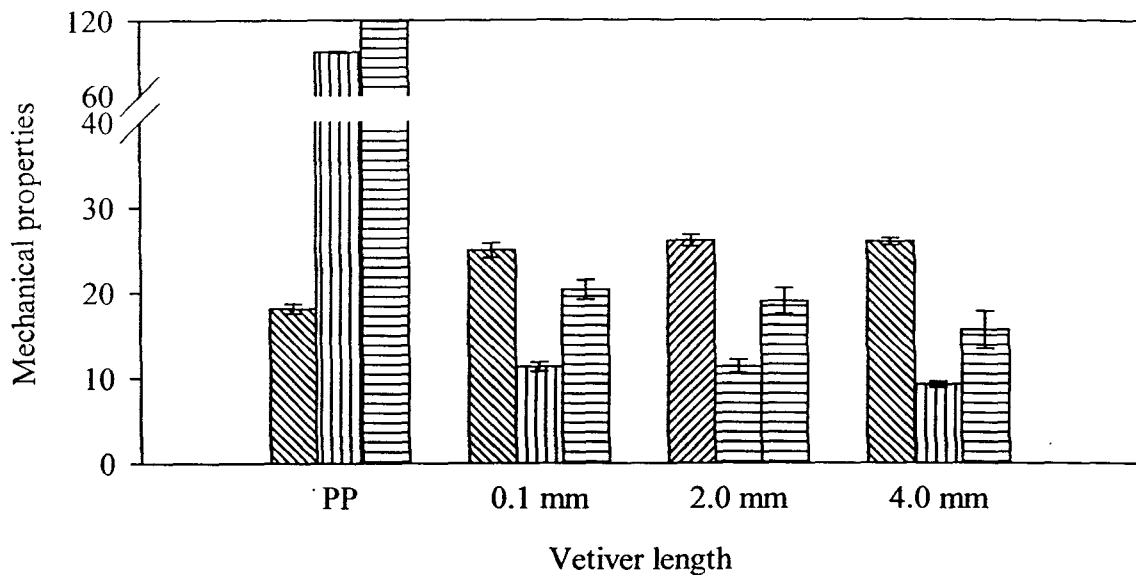
3.4 สมบัติทางกลของวัสดุเชิงประดิษฐ์ระหว่างพื้นผิวและพอลิไพรพิลีน

3.4.1 ผลกระทบของความยาวพื้นผิวแห้งต่อสมบัติทางกลของวัสดุเชิงประดิษฐ์

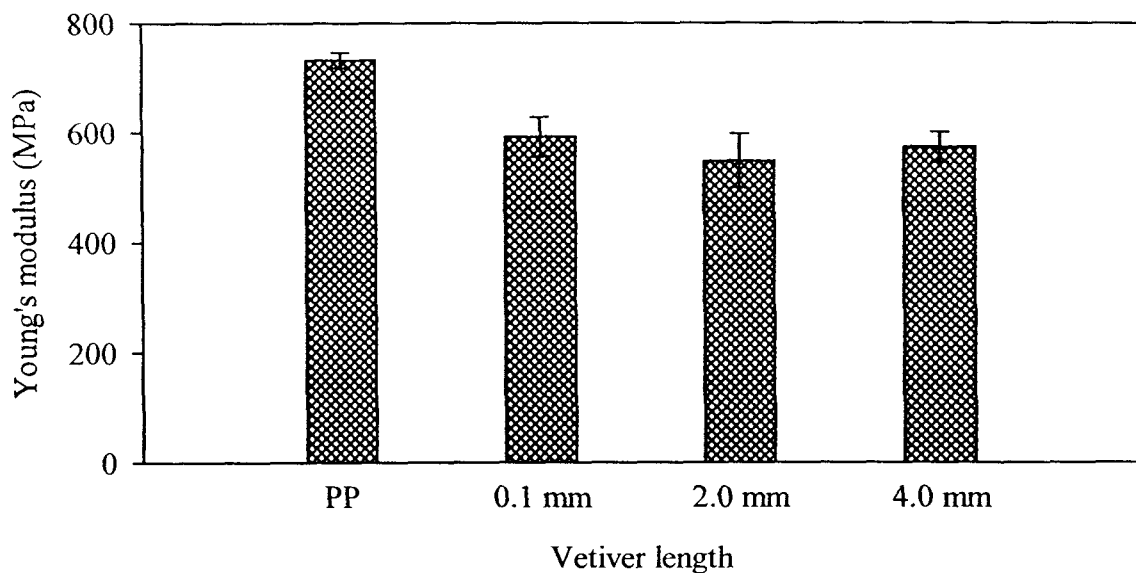
การวิเคราะห์ผลกระทบของความยาวพื้นผิวแห้งต่อสมบัติทางกลของวัสดุเชิงประดิษฐ์ที่มีต่อค่าความแข็งแรงต่อการดึง ค่ามอดูลัสของยัง ค่าเบอร์เซ่นต์ความเครียด ณ จุดแตกหัก และค่าความแข็งแรงต่อการกระแทกของวัสดุเชิงประดิษฐ์ที่มีพอลิไพรพิลีนกับพื้นผิวที่ได้จาก NaOH-VL ที่อัตราส่วน 20 เบอร์เซ่นต์โดยน้ำหนัก แสดงดังตารางที่ 3.10 และรูปที่ 4.14-4.15 พบว่าวัสดุเชิงประดิษฐ์ที่มีความยาวต่างกันจะมีค่าความแข็งแรงต่อการดึง และค่ามอดูลัสของยังไม่แตกต่างกัน ค่าเบอร์เซ่นต์ความเครียด ณ จุดแตกหัก ของวัสดุเชิงประดิษฐ์ที่มีค่าลดลงเล็กน้อยที่ความยาวพื้นผิวแห้งเท่ากับ 4 มิลลิเมตร และเมื่อความยาวพื้นผิวแห้งเพิ่มขึ้น ค่าความแข็งแรงต่อการกระแทกมีค่าลดลงเล็กน้อย เนื่องจากจะมีผิวน้ำที่มีความยาวสั้นลง โดยที่ความยาวสุดท้ายที่ได้นั้นอาจเป็นความยาวที่ไม่แตกต่างกัน ซึ่งอาจเป็นผลให้ไม่มีการเปลี่ยนแปลงสมบัติทางกลของวัสดุเชิงประดิษฐ์อย่างมีนัยสำคัญ เช่นเดียวกับการศึกษาวัสดุเชิงประดิษฐ์ที่มีพอลิไพรพิลีน กับปอลิกนิน และพอลิไพรพิลีนกับปานครนารายณ์ พนว่าค่าความแข็งแรงต่อการดึงที่ไม่มีความแตกต่างกันเมื่อเส้นใยมีความยาวที่ยาวกว่า 5 มิลลิเมตร [8, 25]

ตารางที่ 3.10 ค่าความแข็งแรงต่อการดึง ค่ามอดูลัสของยัง ค่าเบอร์เซ่นต์ความเครียด ณ จุดแตกหัก และค่าความแข็งแรงต่อการกระแทก ของวัสดุเชิงประดิษฐ์ที่มีพอลิไพรพิลีนกับพื้นผิวที่ได้จาก NaOH-VL ที่อัตราส่วน 20 เบอร์เซ่นต์โดยน้ำหนัก

ความยาว (มิลลิเมตร)	ความแข็งแรงต่อ ^a การดึง (MPa)	มอดูลัสของยัง (MPa)	ความเครียด ณ จุดแตกหัก (%)	ความแข็งแรงต่อการ กระแทก (kJ/m ²)
0.10	24.93±0.86	592.45±36.19	11.30±0.54	20.32±1.15
2.00	26.08±0.69	548.18±49.14	11.33±0.77	18.97±1.51
4.00	25.92±0.40	573.30±27.65	9.19±0.33	15.62±2.19



รูปที่ 3.14 กราฟแสดงความแข็งแรงต่อการดึง เปอร์เซ็นต์ความเครียด ณ จุดแตกหัก และความแข็งแรงต่อการกระแทก ของวัสดุเชิงประกลับระหว่างพอลิไพรพิลีนกับหญ้าแฟกที่ได้จาก NaOH-VL ที่อัตราส่วน 20 เปอร์เซ็นต์โดยนำหนักโดยมีความยาวหญ้าแฟกค่างกัน



รูปที่ 3.15 กราฟแสดงมอดูลัสของยังของวัสดุเชิงประกลับระหว่างพอลิไพรพิลีนกับหญ้าแฟกที่ได้จาก NaOH-VL ที่อัตราส่วน 20 เปอร์เซ็นต์โดยนำหนักโดยมีความยาวหญ้าแฟกค่างกัน

3.4.2 ผลกระทบของลำดับการทดสอบต่อสมบัติทางกลของวัสดุเชิงประกอบ

ค่าความแข็งแรงต่อการดึง ค่ามอดูลัสของยัง ค่าเบอร์เซ็นต์ความเครียด ณ จุดแตกหัก และค่าความแข็งแรงต่อการกระแทกของวัสดุเชิงประกอบระหว่างพอลิไพรพลีนกับหญ้าแฟกที่ได้จาก NaOH-VL ที่ความยาวหญ้าแฟก 2 มิลลิเมตร โดยมีลำดับการทดสอบที่ต่างกัน คือ การทดสอบวิธีที่ 1 และ การทดสอบวิธีที่ 2 ซึ่งอ้างถึงในหัวข้อ 3.2.2 แสดงดังตารางที่ 3.11 ซึ่งทั้ง 2 วิธีการทดสอบจะต่างกันที่ ลำดับการใส่หญ้าแฟกและเวลาในการทดสอบหญ้าแฟก ในการทดสอบวิธีที่ 1 ทำโดยใส่หญ้าแฟกหลังจาก พอลิไพรพลีนหลอมเหลวไปแล้ว 5 นาที และทดสอบต่อไปเป็นระยะเวลาอีก 5 นาที ในการทดสอบวิธีที่ 2 หญ้าแฟกและพอลิไพรพลีนจะทดสอบรวมกันเป็นระยะเวลา 10 นาที ซึ่งผลของค่าความแข็งแรงต่อการดึงและค่าความแข็งแรงต่อการกระแทกของวัสดุเชิงประกอบที่เตรียมจากการทดสอบวิธีที่ 1 และ การทดสอบวิธีที่ 2 ไม่แตกต่างกันอย่างมีนัยสำคัญ อย่างไรก็ตาม ค่ามอดูลัสของยังของวัสดุเชิงประกอบที่เตรียมจากการทดสอบวิธีที่ 2 มีค่าสูงกว่าการทดสอบวิธีที่ 1 และค่าเบอร์เซ็นต์ความเครียด ณ จุดแตกหักของ วัสดุเชิงประกอบที่เตรียมจากการทดสอบวิธีที่ 2 มีค่าต่ำกว่าการทดสอบวิธีที่ 1 ซึ่งสามารถอธิบายได้ดังนี้ คือ การทดสอบหญ้าแฟกในระยะเวลาที่นานกว่าจะทำให้หญ้าแฟกสามารถกระชากตัวได้ดีกว่า ในทางตรง กันข้ามก็อาจทำให้หญ้าแฟกเกิดการเสื่อมสภาพได้ เมื่อจากความสามารถที่ด้านหน้าต่อความร้อนที่ ต่ำของหญ้าแฟก

ตารางที่ 3.11 ความแข็งแรงต่อการดึง มอดูลัสของยัง เบอร์เซ็นต์ความเครียด ณ จุดแตกหัก และ ความแข็งแรงต่อการกระแทกของวัสดุเชิงประกอบระหว่างพอลิไพรพลีนกับหญ้าแฟก ที่ได้จาก NaOH-VL ในอัตราส่วน 20 เบอร์เซ็นต์โดยน้ำหนัก ที่ความยาว 2 มิลลิเมตร โดยมีลำดับการทดสอบที่ต่างกัน

วิธีการทดสอบ	ความแข็งแรง ต่อการดึง (MPa)	มอดูลัสของยัง (MPa)	ความเครียด ณ จุดแตกหัก (%)	ความแข็งแรงต่อ [†] การกระแทก (kJ/m ²)
1	26.08 ± 0.69	584.18 ± 49.17	11.33 ± 0.77	18.97 ± 1.51
2	25.73 ± 0.26	1220.00 ± 50.35	7.90 ± 0.70	17.25 ± 0.95

3.4.3 ผลกระทบของอัตราส่วนผสมต่อสมบัติทางกลของวัสดุเชิงประกอบ

การวิเคราะห์ผลกระทบของอัตราส่วนผสมของหญ้าแฟกที่มีต่อค่าความแข็งแรงต่อการดึง ค่ามอดุลสของยัง ค่าเปอร์เซ็นต์ความเครียด ณ จุดแตกหัก และค่าความแข็งแรงต่อการกระแทกของวัสดุเชิงประกอบระหว่างพอลิไพรพิลินกับหญ้าแฟกที่ได้จาก NaOH-VL ที่อัตราส่วนผสมต่างกัน แสดงดังตารางที่ 3.12 และในรูปที่ 3.16-3.17 พบว่าค่าความแข็งแรงต่อการดึงของวัสดุเชิงประกอบมีค่าลดลงเล็กน้อยเมื่อปริมาณหญ้าแฟกเพิ่มขึ้น อาจเนื่องจากการเพิ่มปริมาณหญ้าแฟกทำให้เกิดการเลื่อนตัว (slipping) ของหญ้าแฟกในพอลิไพรพิลิน และการลดลงอย่างมากของค่าความแข็งแรงต่อการดึงที่ปริมาณหญ้าแฟกที่สูง เป็นเพราะการเพิ่มจำนวนหญ้าแฟกในวัสดุเชิงประกอบเป็นจุดที่ทำให้เกิดช่องว่างหรือโพรงอากาศ ซึ่งเป็นบริเวณที่วัสดุเชิงประกอบเริ่มแตกและส่งผลให้เกิดความเสียหายได้ โดยการลดลงของค่าความแข็งแรงต่อการดึงเมื่อปริมาณเส้นใยเพิ่มขึ้นนี้สามารถพบได้จากการศึกษาวัสดุเชิงประกอบระหว่างพอลิไพรพิลินกับเส้นไยคุดซู (kudzu) เส้นไขมะพร้าว และเส้นไขป่านศรนารายณ์ [23, 26-27] นอกจากนี้ค่าความแข็งแรงต่อการดึง จะลดลงเมื่อปริมาณผงไม้ในพอลิเอทิลิน ความหนาแน่นต่ำมีค่าสูงขึ้น [28] ในทางตรงกันข้าม โจเชฟ และคณะ ศึกษาวัสดุเชิงประกอบระหว่างพอลิไพรพิลินกับเส้นไขป่านศรนารายณ์ พบว่าค่าความแข็งแรงต่อการดึงเพิ่มขึ้นเมื่อปริมาณเส้นไขเพิ่มขึ้น [29] อย่างไรก็ได้การศึกษาวัสดุเชิงประกอบของคลานานิ และคณะพบว่าค่าความแข็งแรงต่อการดึง ไม่เปลี่ยนแปลงเมื่อปริมาณเส้นไขคีนาฟเพิ่มขึ้น [30]

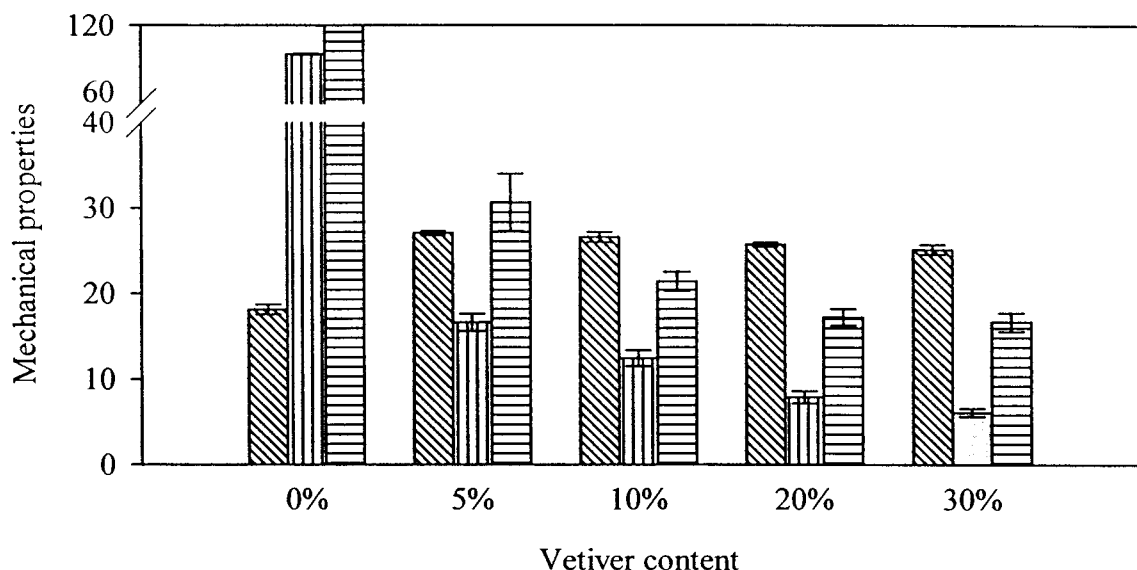
ค่าเปอร์เซ็นต์ความเครียด ณ จุดแตกหักของวัสดุเชิงประกอบมีค่าลดลงเมื่อปริมาณหญ้าแฟกเพิ่มขึ้น เนื่องจากหญ้าแฟกมีค่าเปอร์เซ็นต์ความเครียด ณ จุดแตกหัก ต่ำกว่าพอลิไพรพิลิน และการลดลงของค่าเปอร์เซ็นต์ความเครียด ณ จุดแตกหักเมื่อปริมาณหญ้าแฟกเพิ่มขึ้นสามารถพบได้จากการศึกษาวัสดุเชิงประกอบระหว่างพอลิไพรพิลินกับเส้นไขมะพร้าว [23] ยิ่งกว่านั้น ค่าเปอร์เซ็นต์ความเครียด ณ จุดแตกหักลดลงเมื่อปริมาณผงไม้ในพอลิไพรพิลินเพิ่มขึ้น [28]

ค่าความแข็งแรงต่อการกระแทกของพอลิไพรพิลินจะไม่สามารถหาค่าได้เนื่องจากชั้นทดสอบพอลิไพรพิลินไม่หักเมื่อได้รับแรงสูงสุดของเครื่องทดสอบแรงกระแทก ซึ่งมีจุดจำกัดอยู่ที่ 5.4 จูล อย่างไรก็ได้ ความแข็งแรงต่อการกระแทกของวัสดุเชิงประกอบมีค่าต่ำกว่าพอลิไพรพิลิน และค่าความแข็งแรงต่อการกระแทกของวัสดุเชิงประกอบค่อนข้าง ลดลงเมื่อปริมาณหญ้าแฟกเพิ่มขึ้น เนื่องจากปริมาณหญ้าแฟกที่มีอยู่มากจะทำให้เกิดการเกาะกลุ่มรวมกันและเกิดเป็นโพรงอากาศขึ้นในวัสดุเชิงประกอบ จึงทำให้การยึดติดกันระหว่างพอลิไพรพิลินกับหญ้าแฟกไม่ดี และทำให้เกิดการแตกหักและเสียหายได้ จึงเป็นผลให้ค่าความแข็งแรงต่อการกระแทกของวัสดุเชิงประกอบมีค่าลดลง เมื่อปริมาณหญ้าแฟกเพิ่มขึ้น จากการลดลงของค่าความแข็งแรงต่อการกระแทกนี้ให้ผลเช่นเดียวกับการศึกษาวัสดุเชิงประกอบระหว่างพอลิไพรพิลินกับเส้นไขคีนาฟ [30, 31]

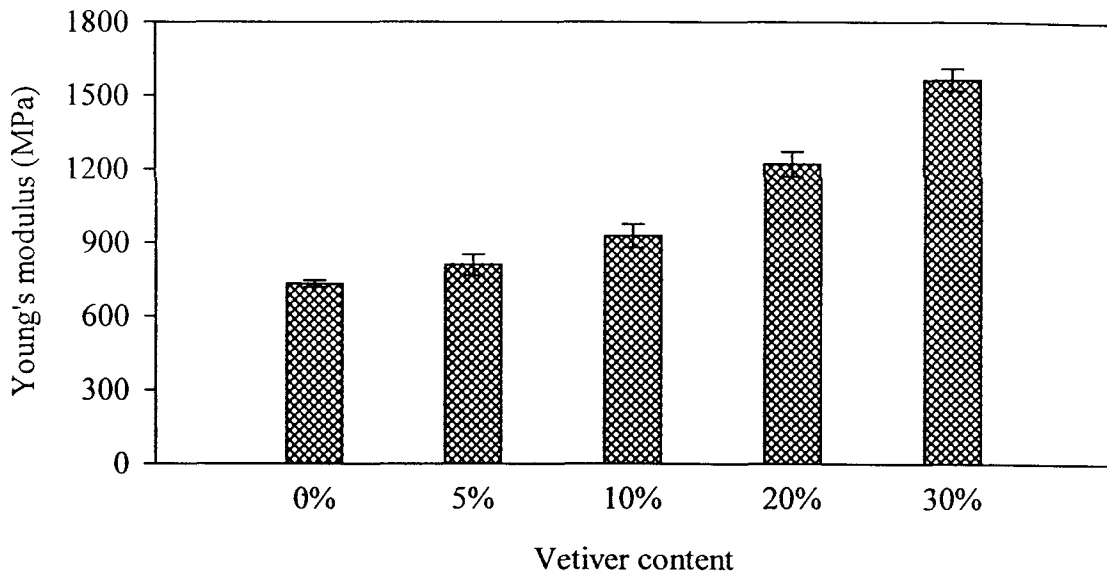
ตารางที่ 3.12 ความแข็งแรงต่อการดึง มอคุลสของยัง เปอร์เซ็นต์ความเครียด ณ จุดแตกหัก และ ความแข็งแรงต่อการกระแทกของวัสดุเชิงประกลบระหว่างพอลิไพรพลีนกับหญ้าแฝก ที่ได้จาก NaOH-VL ในอัตราส่วนที่ต่างกัน

อัตราส่วนผสม (เปอร์เซ็นต์โดย น้ำหนัก)	ความแข็งแรง ต่อการดึง (MPa)	มอคุลสของยัง [*] (MPa)	ความเครียด ณ จุดแตกหัก (%)	ความแข็งแรงต่อ [*] การกระแทก (kJ/m ²)
0	$18.14 \pm 0.58^*$	$732.45 \pm 14.13^*$	$94.25 \pm 0.70^*$	>119.60
5	27.08 ± 0.26	809.52 ± 42.48	16.63 ± 1.02	30.66 ± 3.34
10	26.60 ± 0.59	925.83 ± 47.36	12.44 ± 0.93	21.43 ± 1.12
20	25.73 ± 0.26	1220.00 ± 50.35	7.90 ± 0.70	17.25 ± 0.95
30	25.12 ± 0.59	1565.00 ± 44.22	6.12 ± 0.47	16.65 ± 1.09

* ความเร็วในการดึง 50 มิลลิเมตรต่อนาที



รูปที่ 3.16 กราฟแสดงความแข็งแรงต่อการดึง เปอร์เซ็นต์ความเครียด ณ จุดแตกหัก และความแข็งแรงต่อการกระแทกของวัสดุเชิงประกลบระหว่างพอลิไพรพลีนกับหญ้าแฝกที่ได้จาก NaOH-VL ในอัตราส่วนที่ต่างกัน



รูปที่ 3.17 กราฟแสดง modulus ของวัสดุเชิงประดิษฐ์ที่ได้จาก NaOH-VL ในอัตราส่วนที่ต่างกัน

ค่า modulus ของบังของวัสดุเชิงประดิษฐ์ที่เพิ่มขึ้นเมื่อปริมาณหญ้าแห้งเพิ่มขึ้น เนื่องจากค่า modulus ของบังของหญ้าแห้งจากตารางที่ 3.1 มีค่าสูงกว่าพอลิไพรพิลีนมาก เช่นเดียวกับ การศึกษาสมบัติทางกลวัสดุเชิงประดิษฐ์ที่ 3.1 พบว่าค่า modulus ของบังของวัสดุเชิงประดิษฐ์ที่เพิ่มขึ้นเมื่อปริมาณเส้นใยเพิ่มขึ้น [2, 8, 26-28, 30]

อุณหภูมิการบิดของวัสดุเชิงประดิษฐ์ที่ได้จาก VF โดยมีอัตราส่วนที่ต่างกันแสดงในตารางที่ 3.13 พบว่าอุณหภูมิของการบิดของวัสดุเชิงประดิษฐ์ที่เพิ่มขึ้นเมื่อปริมาณเส้นใยเพิ่มขึ้น ที่อัตราส่วน 30 เปลอร์เซ็นต์โดยน้ำหนักอุณหภูมิของการบิดของวัสดุเชิงประดิษฐ์ที่เพิ่งขึ้นถึง 64 เปลอร์เซ็นต์ เมื่อเปรียบเทียบกับพอลิไพรพิลีน ของการศึกษาอุณหภูมิการบิดของวัสดุเชิงประดิษฐ์ที่เพิ่มขึ้นเมื่อปริมาณเส้นใยมะพร้าวและพอลิไพรพิลีนมีค่าเพิ่มขึ้น 2 เปลอร์เซ็นต์ เมื่อเปรียบเทียบกับพอลิไพรพิลีน [23]

ตารางที่ 3.13 อุณหภูมิการบิดงของวัสดุเชิงประดิษฐ์ที่ได้จาก VF โดยมีอัตราส่วนที่ต่างกัน

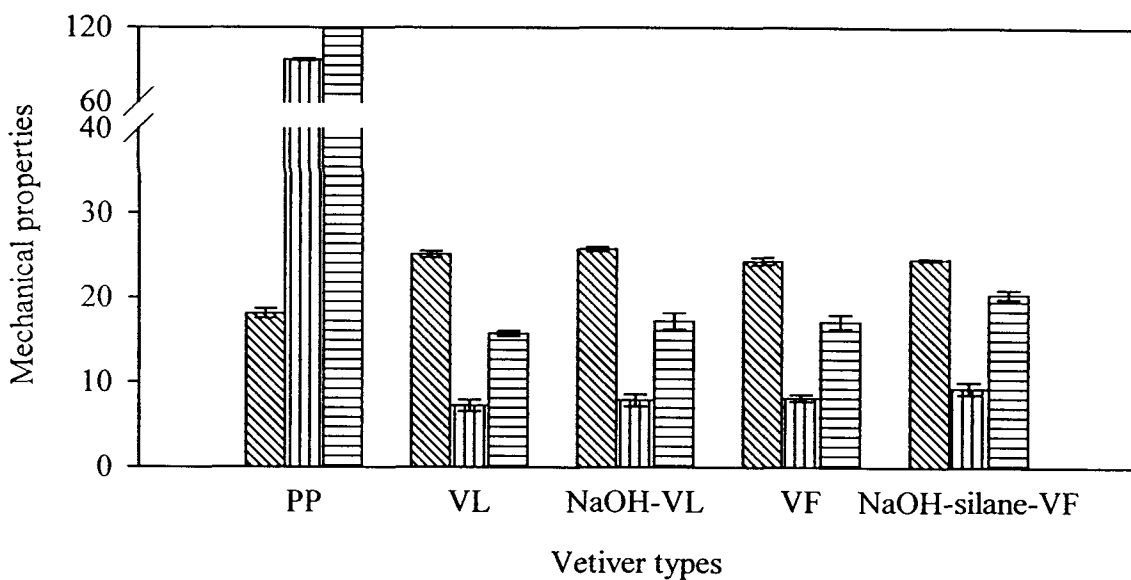
อัตราส่วนผสม (เปอร์เซ็นต์โดยน้ำหนัก)	อุณหภูมิการบิดง (องศาเซลเซียส)
0	81
5	94
10	109
20	125
30	133

3.4.4 ผลกระบวนการปรับปรุงหลักแฟกโดยกระบวนการทางเคมีต่อสมบัติทางกลของวัสดุเชิงประดิษฐ์

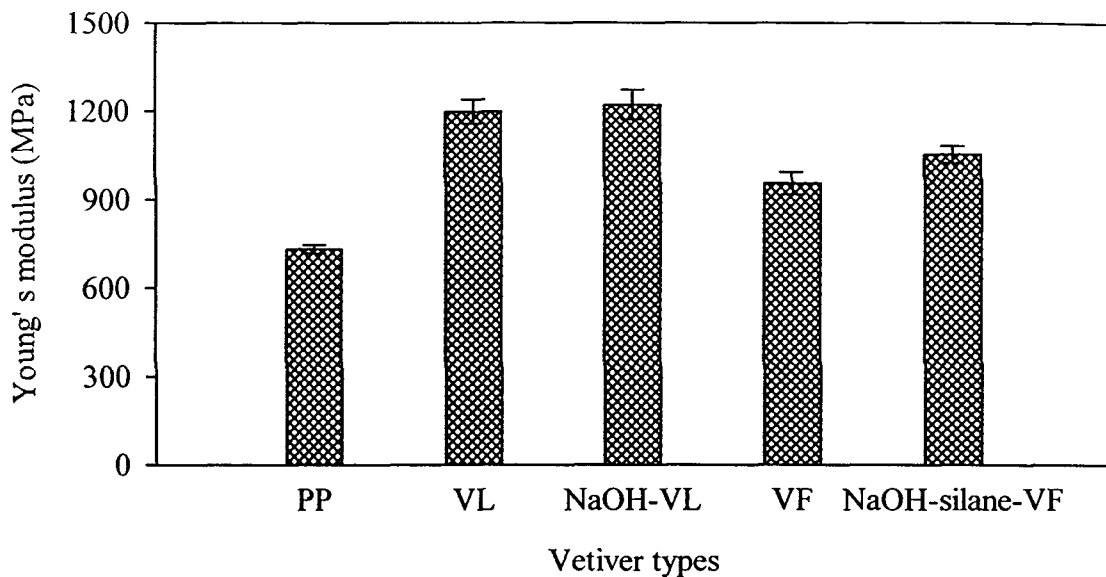
ผลการวิเคราะห์ค่าความแข็งแรงต่อการดึง ค่านอคุลัสของยัง ค่าเปอร์เซ็นต์ความเครียด ณ จุดแตกหัก และค่าความแข็งแรงต่อการกระแทกของวัสดุเชิงประดิษฐ์ที่ได้จาก VF โดยมีอัตราส่วน 20 เปอร์เซ็นต์โดยน้ำหนัก แสดงดังตารางที่ 3.14 และในรูปที่ 4.18-4.19 พนว่าค่าความแข็งแรงต่อการดึง ค่านอคุลัสของยัง ค่าเปอร์เซ็นต์ความเครียด ณ จุดแตกหัก และค่าความแข็งแรงต่อการกระแทกของวัสดุเชิงประดิษฐ์ที่ได้จาก NaOH-VL มีค่าต่ำกว่า NaOH-silane-VF มากน้อย นอกจากนี้ค่าความแข็งแรงต่อการดึง ค่านอคุลัสของยัง ค่าเปอร์เซ็นต์ความเครียด ณ จุดแตกหัก และค่าความแข็งแรงต่อการกระแทกของวัสดุเชิงประดิษฐ์ที่ได้จาก VF มากน้อย อาจเนื่องจากการเกิดพันธะทางเคมีและพันธะทางเคมีระหว่าง NaOH-silane-VF และพอลิไพรพิลินจึงทำให้สมบัติทางกลมีค่าสูงขึ้น สำหรับเหตุผลว่าทำไมโซเดียมไฮดรอกไซค์สามารถปรับปรุงสมบัติทางกลของวัสดุเชิงประดิษฐ์จะอธิบายในหัวข้อ 3.5 ลักษณะทางสัมฐานวิทยา เช่นเดียวกับการศึกษาผลของโซเดียมที่ปรับปรุงสมบัติทางกลของวัสดุเชิงประดิษฐ์ที่ได้สืบเนื่องมาจากพอลิไพรพิลิน และสืบเนื่องมาจากพอลิไพรพิลิน [16, 30]

ตารางที่ 3.14 ความแข็งแรงต่อการดึง มอดุลัสของยัง และเบอร์เช็นต์ความเครียด ณ จุดแตกหัก ของวัสดุเชิงประกลบระหว่างพอลิไพรพลีนกับหญ้าแฝกที่ได้จาก VL NaOH-VL VF และ NaOH-silane-VF ที่อัตราส่วน 20 เบอร์เช็นต์โดยน้ำหนัก

ชนิดของหญ้าแฝก	ความแข็งแรงต่อการดึง (MPa)	มอดุลัสของยัง (MPa)	ความเครียด ณ จุดแตกหัก (%)	ความแข็งแรงต่อการกระแทก (kJ/m ²)
VL	25.14 ± 0.41	1196.98 ± 41.13	7.27 ± 0.67	15.79 ± 0.32
NaOH-VL	25.73 ± 0.26	1220.00 ± 50.35	7.90 ± 0.70	17.25 ± 0.95
VF	24.32 ± 0.46	954.33 ± 38.13	8.17 ± 0.40	17.14 ± 0.83
NaOH-silane-VF	24.53 ± 0.14	1051.93 ± 29.34	9.30 ± 0.70	20.44 ± 0.53



รูปที่ 3.18 กราฟแสดงความแข็งแรงต่อการดึง เบอร์เช็นต์ความเครียด ณ จุดแตกหัก และความแข็งแรงต่อการกระแทกของวัสดุเชิงประกลบระหว่างพอลิไพรพลีนกับหญ้าแฝกที่ได้จาก VL NaOH-VL VF และ NaOH-silane-VF ที่อัตราส่วน 20 เบอร์เช็นต์โดยน้ำหนัก



รูปที่ 3.20 กราฟแสดงมอคูลัสของยัง ของวัสดุเชิงประดิษฐ์ระหว่างพอลิไพรพิลีนกับหญ้าแฟกที่ได้จาก VL NaOH-VL VF และ NaOH-silane-VF ที่อัตราส่วน 20 เปอร์เซ็นต์โดยน้ำหนัก

อุณหภูมิการบิดของวัสดุเชิงประดิษฐ์ระหว่างพอลิไพรพิลีนกับหญ้าแฟกที่ได้จาก VL NaOH-VL VF และ NaOH-silane-VF ที่อัตราส่วน 20 เปอร์เซ็นต์โดยน้ำหนักแสดงดังตารางที่ 3.15 พบว่าอุณหภูมิการบิดของวัสดุเชิงประดิษฐ์ระหว่างพอลิไพรพิลีนกับหญ้าแฟกที่ได้จาก VL NaOH-VL VF และ NaOH-silane-VF มีค่าไม่แตกต่างกันอย่างมีนัยสำคัญ

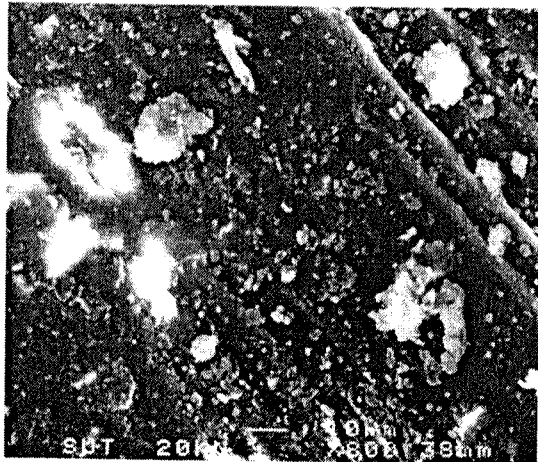
ตารางที่ 3.15 อุณหภูมิการบิดของวัสดุเชิงประดิษฐ์ระหว่างพอลิไพรพิลีนกับหญ้าแฟกที่ได้จาก VL NaOH-VL VF และ NaOH-silane-VF ที่อัตราส่วน 20 เปอร์เซ็นต์โดยน้ำหนัก

ชนิดของหญ้าแฟก	อุณหภูมิการบิด (องศาเซลเซียส)
VL	123
NaOH-VL	124
VF	125
NaOH-silane-VF	125

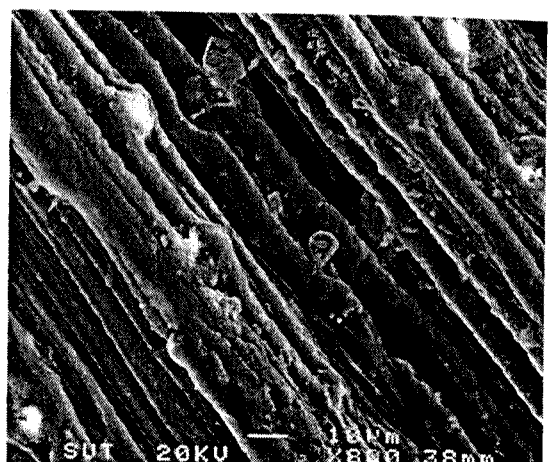
3.5 สมบัติทางสัณฐานวิทยาของหยูแฟก และวัสดุเชิงประดุจระหว่างหยูแฟกและพอลิโพร์พลีน

3.5.1 ผลกระทบของการปรับปรุงหยูแฟกโดยกระบวนการทางเคมีต่อสมบัติทางสัณฐานวิทยาของหยูแฟก

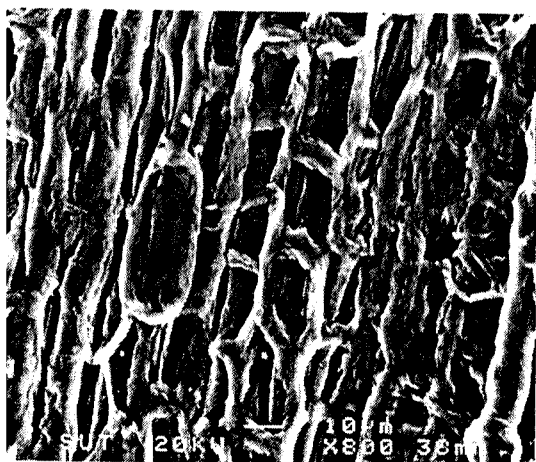
ภาพถ่ายจากกล้องจุลทรรศน์อิเล็กตรอนแบบส่อง粒孔ของหยูแฟก VL NaOH-VL VF และ NaOH-silane-VF แสดงดังรูปที่ 3.20ก-3.20ง ตามลำดับ จากภาพแสดงผลของการปรับปรุงหยูแฟกโดยใช้โซเดียมไฮดรอกไซค์พบว่าโซเดียมไฮดรอกไซค์สามารถกำจัดสิ่งสกปรกติดอยู่บนผิวของหยูแฟก รวมถึงทำให้กลุ่มของเส้นไยแตกออกเป็นเส้นเล็กๆ ซึ่งเป็นการเพิ่มพื้นที่ผิวสัมผัสระหว่างหยูแฟกกับพอลิโพร์พลีน สำหรับกรณีของ NaOH-silane-VF การใช้โซเดียมไฮดรอกไซค์จะช่วยปรับปรุงการยึดติดของไยเลนบนเส้นใยได้ดี จึงทำให้เกิดพันธะทางกายภาพและพันธะทางเคมีระหว่าง NaOH-silane-VF และพอลิโพร์พลีน ดังนั้นการใช้โซเดียมไฮดรอกไซค์ในการปรับปรุงหยูแฟกจะทำให้สมบัติทางกลของวัสดุเชิงประดุจที่ได้จาก NaOH-VL และ NaOH-silane-VF มีค่าที่ดีขึ้น เช่นเดียวกับการที่มีนักวิจัยหลายท่านได้รายงานว่า การใช้โซเดียมไฮดรอกไซค์สามารถปรับปรุงลักษณะบนพื้นผิวของเส้นใย ปอ ป่านศรนารายณ์ และปาล์ม ได้โดยใช้ เอนิเซลลูโลส พิกดิน และสิ่งสกปรก เช่น ฝุ่น สารอนินทรีย์ [32-37]



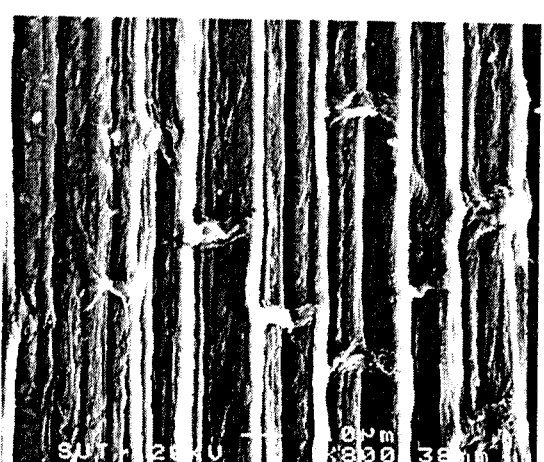
(n)



(u)



(v)

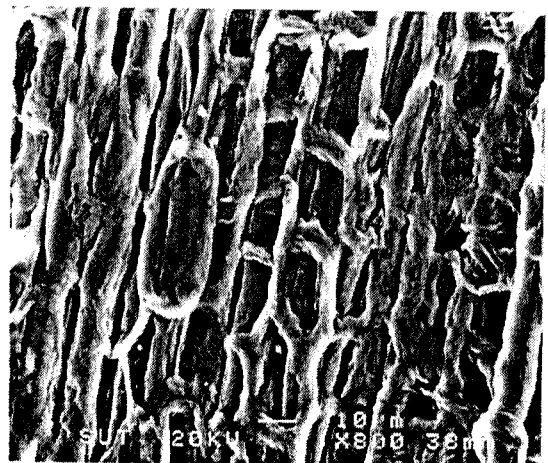


(w)

รูปที่ 3.20 รูป SEM ของ (n) VL (u) NaOH-VL (v) VF และ (w) NaOH-silane-VF

3.5.2 ผลกระทบของระยะเวลาในการปรับปรุงหญ้าแฟกโดยกระบวนการทางเคมีต่อสมบัติทางสัมฐานวิทยาของหญ้าแฟก

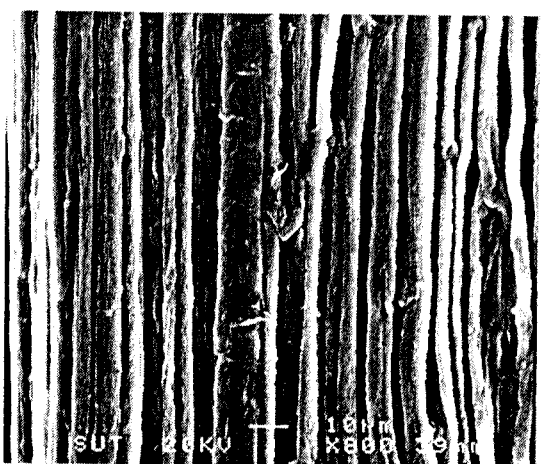
ภาพจากกล้องอิเล็กตรอนแบบส่องรากของเส้นใยที่ไม่ได้ปรับปรุงสมบัติโดยใช้สารละลายโซเดียมไฮดรอกไซค์ และเส้นใยที่ปรับปรุงสมบัติโดยใช้สารละลายโซเดียมไฮดรอกไซค์ 5 เปอร์เซ็นต์โดยน้ำหนัก โดยใช้เวลาเช่าต่างกันแสดงดังรูปที่ 3.21 พบว่าการปรับปรุงเส้นใยโดยใช้โซเดียมไฮดรอกไซค์ ทำให้เส้นใยสะอาดขึ้นและกลุ่มของเส้นใยสามารถหลุดออกเป็นเส้นได้เมื่อเปรียบเทียบกับเส้นใยที่ไม่ได้ปรับปรุงสมบัติโดยใช้สารละลายโซเดียมไฮดรอกไซค์ เมื่อเพิ่มเวลาในการเช่าจาก 2 ชั่วโมงเป็น 4 ชั่วโมง ภาพจากกล้องอิเล็กตรอนแบบส่องรากของเส้นใยที่ปรับปรุงสมบัติโดยใช้สารละลายโซเดียมไฮดรอกไซค์จะเห็นกลุ่มของเส้นใยที่หลุดออกเป็นเส้นเล็กๆ ได้มากขึ้น และภาพจากกล้องอิเล็กตรอนแบบส่องรากของเส้นใยที่ปรับปรุงสมบัติโดยใช้สารละลายโซเดียมไฮดรอกไซค์แห่งเป็นเวลา 6 ชั่วโมง จะไม่แตกต่างกับ 4 ชั่วโมง เช่นเดียวกับการศึกษาผลผลกระทบของการปรับปรุงเส้นใยปอโดยใช้โซเดียมไฮดรอกไซค์ที่มีต่อสมบัติทางสัมฐานวิทยา ของเรซี และชาลคา พบว่าการใช้สารละลายโซเดียมไฮดรอกไซค์กับเส้นใยปอในระยะเวลา 2 4 6 และ 8 ชั่วโมง ทำให้ปริมาณของเยนิเซลลูลอลสของเส้นใยปอลดลง ซึ่งการหายไปของเยนิเซลลูลอลสทำให้กลุ่มของเส้นใยสามารถแยกออกจากกันได้มากขึ้น [38]



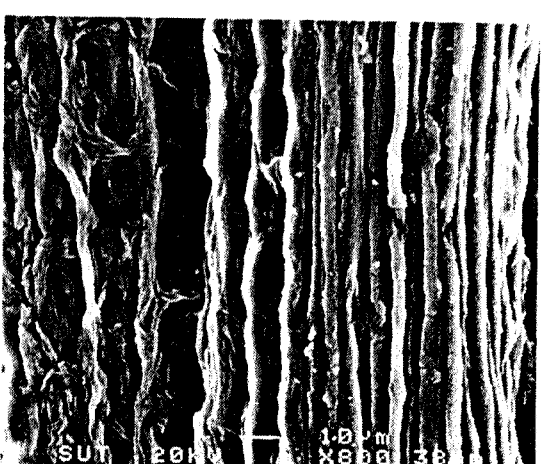
(n)



(u)



(k)

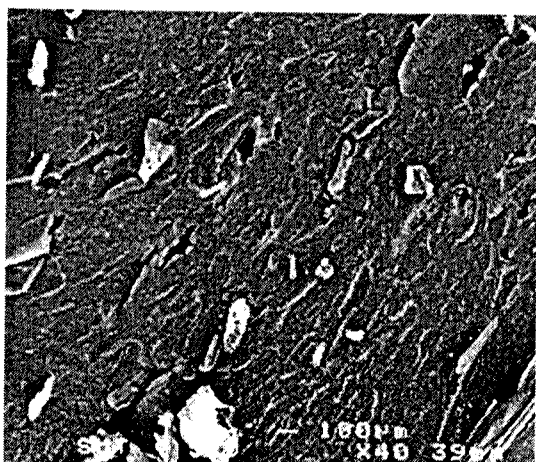


(j)

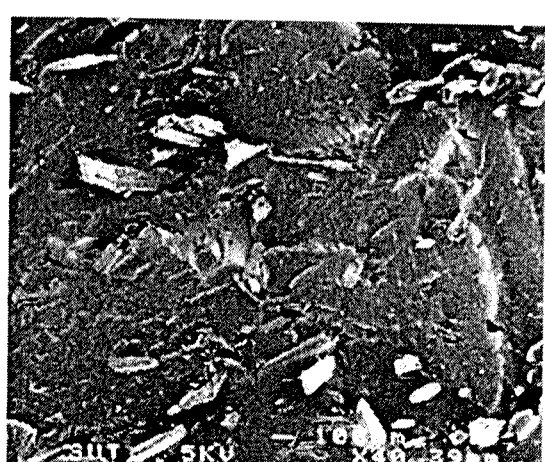
รูปที่ 3.21 รูป SEM ของการปรับปรุงเส้นใยโดยใช้โซเดียมไสโรดรอกไซค์ที่ระยะเวลาค่างกัน (ก) 0 (ข) 2 (ค) 4 และ (ง) 6 ชั่วโมง

3.5.3 ผลกระแทบทองอัตราส่วนผสมของหัญญ่าแฟกที่มีต่อคุณสมบัติทางลักษณะวัสดุเชิงประกลบระหว่างหัญญ่าแฟกและพอลิไพรพิลีน

ภาพจากกล้องอิเล็กตรอนแบบส่องการดูดของสารเคมีที่ผิวของวัสดุเชิงประกลบได้จาก VF ที่อัตราส่วนต่างกันแสดงดังรูปที่ 3.22 พบว่าเมื่ออัตราส่วนผสมของเส้นใยเพิ่มขึ้น มีการเกาะกลุ่มรวมกันของเส้นใยมากขึ้น ซึ่งส่งผลให้ค่าความแข็งแรงต่อการดึง และความแข็งแรงต่อการกระแทกของวัสดุเชิงประกลบมีค่าต่ำลง



(ก)



(ก)



(ก)



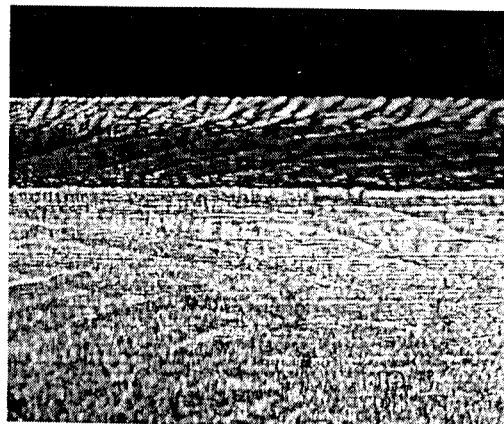
(ก)

รูปที่ 3.22 รูป SEM ของวัสดุเชิงประกลบระหว่างพอลิไพรพิลีนกับหัญญ่าแฟกที่ได้จาก VF ที่ อัตราส่วน (ก) 5 (ก) 10 (ก) 20 และ (ก) 30 เปอร์เซ็นต์โดยน้ำหนัก

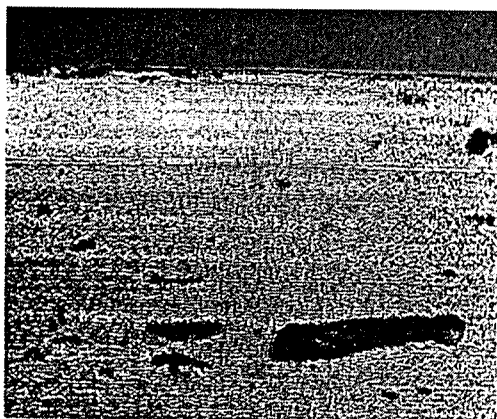
3.6 การเกิดผลึกโดยการเหนี่ยวนำจากแรงดึงดันของวัสดุเชิงประจุบวกระหว่างหก้าแฟกและพอลิไพรพิลีน

3.6.1 ผลกระทบของอัตราส่วนผสมของหก้าแฟกที่มีต่อการเกิดผลึกโดยการเหนี่ยวนำจากแรงดึงดันของวัสดุเชิงประจุบวกระหว่างหก้าแฟกและพอลิไพรพิลีน

ภาพจากกล้องจุลทรรศน์ของวัสดุเชิงประจุบวกที่เตรียมได้จาก VL NaOH-VL VF และ NaOH-silane-VF ที่อัตราส่วนต่างกันจากชิ้นทดสอบที่ได้จากการบวบเป็นรูปแบบฉีดแสดงดังรูปที่ 3.23ก-3.23จ ตามลำดับ พบว่าลักษณะของวัสดุเชิงประจุบวกประกอบด้วยสองชั้น คือ skin และ core ซึ่งจะมีเส้นใยที่จัดเรียงตัวในแนวทิศทางการไหล โดยชั้นของ skin หรือ ชั้นของการเกิดผลึกโดยการเหนี่ยวนำจากแรงดึงดันจะเป็นชั้นที่มีการจัดเรียงตัวที่เหนี่ยวนำให้เกิดเป็นผลึกที่สูง [48-49] ค่า Normalized thickness of skin layer ของพอลิไพรพิลีนและวัสดุเชิงประจุบวกที่ได้จาก VF ที่อัตราส่วนผสมต่างกันได้จากรูปที่ 3.23 แสดงดังตารางที่ 3.16 พบว่าเมื่อปริมาณเส้นใยเพิ่มขึ้น ค่า Normalized thickness of skin layer ไม่ส่งผลกระทบต่อการเกิดผลึกโดยการเหนี่ยวนำจากแรงดึงดัน ซึ่งชี้ให้เห็นว่าการเปลี่ยนแปลงของสมบัติทางกลของวัสดุเชิงประจุบวกเมื่อปริมาณเพิ่มขึ้น ไม่ใช่ผล侔จากการเกิดผลึกโดยการเหนี่ยวนำจากแรงดึงดัน



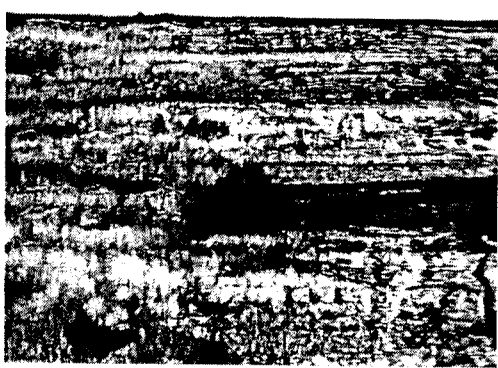
(ก)



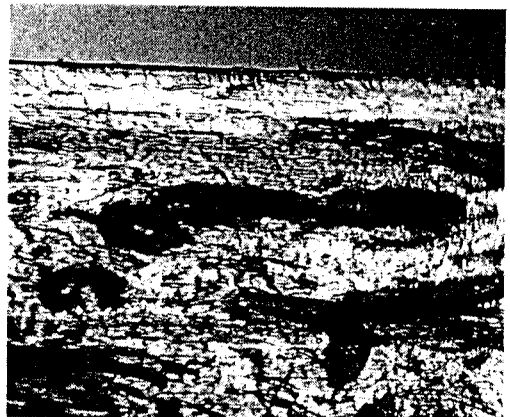
(ข)



(ค)



(ง)



(จ)

รูปที่ 3.23 แสดงภาพจากกล้องจุลทรรศน์ของ วัสดุเชิงประการะห่วงพอลิไพรพิลีนกับหกซ์แฟกที่ได้จาก VF ที่อัตราส่วน (ก) 0 (ข) 5 (ค) 10 (ง) 20 และ (จ) 30 เปอร์เซ็นต์โดยน้ำหนัก

ตารางที่ 3.16 Normalized thickness of skin layer ของพอลิโพร์พีลีนและวัสดุเชิงประจุบันที่ได้จาก VF ที่อัตราส่วนผสมต่างกัน

อัตราส่วนผสม (เปอร์เซ็นต์โดยน้ำหนัก)	Normalized thickness of skin layer (%)
0	9.89
5	7.22
10	8.89
20	9.44
30	10.03

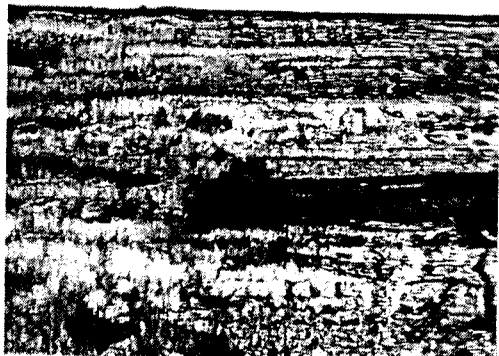
3.6.2 ผลกระทบของการปรับปรุงโดยกระบวนการทางเคมีของที่มีต่อการเกิดผลึกโดยการเห็นี่ยวน้ำจากแรงเฉือนของวัสดุเชิงประจุบันระหว่างหญ้าแฝกและพอลิโพร์พีลีน ภาพจากกล้องจุลทรรศน์ของวัสดุเชิงประจุบันที่ได้จาก VL NaOH-VL VF และ NaOH-silane-VF ที่อัตราส่วน 20 เปอร์เซ็นต์โดยน้ำหนัก แสดงดังรูปที่ 3.24ก-3.24ง ตามลำดับ ค่า Normalized thickness of skin layer ของวัสดุเชิงประจุบันที่ได้จาก VL NaOH-VL VF และ NaOH-silane-VF ที่อัตราส่วน 20 เปอร์เซ็นต์โดยน้ำหนัก ได้จากรูปที่ 3.24 แสดงดังตารางที่ 3.17 ค่า Normalized thickness of skin layer ของวัสดุเชิงประจุบันที่ได้จาก VL NaOH-VL VF และ NaOH-silane-VF ไม่แตกต่างกัน



(n)



(u)



(v)



(w)

รูปที่ 3.24 แสดงรูปจากกล้องจุลทรรศน์ของวัสดุเชิงประกอบระหว่างพอลิไพรพิลีนกับญี่ปุ่นแฟกที่ได้จาก VF ที่อัตราส่วน (ก) 0 (ข) 5 (ค) 10 (ง) 20 และ (จ) 30 เปอร์เซ็นต์โดยน้ำหนัก

ตารางที่ 3.17 Normalized thickness of skin layer ของวัสดุเชิงประกอบที่ได้จาก VL NaOH-VL VF และ NaOH-silane-VF ที่อัตราส่วน 20 เปอร์เซ็นต์โดยน้ำหนัก

ชนิดของญี่ปุ่นแฟก	Normalized thickness of skin layer (%)
VL	8.91
NaOH-VL	9.44
VF	9.44
NaOH-silane-VF	9.47

3.7 ความทนต่อสภาพอากาศของวัสดุเชิงประดิษฐ์ระหว่างญี่ปุ่นและพอลิไพรพิลิน

การวิเคราะห์ผลกระบวนการของความทนต่อสภาพอากาศที่มีต่อค่าความแข็งแรงต่อการดึงค่านมอคูลัสของยัง ค่าเบอร์เซ็นต์ความเครียด ณ จุดแตกหัก และค่าความแข็งแรงต่อการกระแทกของวัสดุเชิงประดิษฐ์ระหว่างพอลิไพรพิลินกับญี่ปุ่นที่ได้จาก NaOH-VL ก่อนและหลังการทดสอบ ความทนต่อสภาพอากาศด้วยเครื่องเร่งสภาพอากาศ ในอัตราส่วนผสมที่ต่างกัน แสดงดังตารางที่ 3.18 พบว่าในการทดสอบความทนต่อสภาพอากาศ หลังจากเวลาผ่านไป 10 วัน ในเครื่องเร่งสภาพอากาศ เทียบเท่าระยะเวลา 2 เดือน ในสภาพปกติ ค่าความแข็งแรงต่อการดึงลดลงเล็กน้อย ค่านมอคูลัสของยัง ลดลงตั้งแต่ 10 ถึง 35 เปอร์เซ็นต์ เมื่ออัตราส่วนผสมเด็นไขเพิ่มขึ้นจาก 10 ถึง 30 เปอร์เซ็นต์โดยน้ำหนัก ค่าความแข็งแรงต่อการกระแทกมีค่าลดลงเท่ากับ 60 52 และ 39 เปอร์เซ็นต์ เมื่ออัตราส่วนผสมเด็นไขเพิ่มขึ้นจาก 10 20 และ 30 เปอร์เซ็นต์โดยน้ำหนัก ค่าเบอร์เซ็นต์ความเครียด ณ จุดแตกหักมีค่าเพิ่มขึ้นเท่ากับ 36 70 และ 45 เปอร์เซ็นต์ เมื่ออัตราส่วนผสมเด็นไขเพิ่มขึ้นจาก 10 20 และ 30 เปอร์เซ็นต์โดยน้ำหนัก

ตารางที่ 3.18 ความแข็งแรงต่อการดึง มอดุลัสของยัง เปอร์เซ็นต์ความเครียด ณ จุดแตกหัก และความแข็งแรงต่อการกระแทกของวัสดุเชิงประกลับระหว่างพอลิไพรพิลิน กับหน้าผาแฟกที่ได้จาก NaOH-VL ก่อนและหลังการทดลองความทนต่อสภาพอากาศด้วยเครื่องเร่งสภาพอากาศ ในอัตราส่วนที่ต่างกัน

อัตราส่วน ผสม (เปอร์เซ็นต์ โดยน้ำหนัก)	ความแข็งแรงต่อการดึง (MPa)		มอดุลัสของยัง (MPa)		ความเครียด ณ จุดแตกหัก (%)		ความแข็งแรงต่อการกระแทก (kJ/m ²)	
	ก่อนทดสอบ	หลังทดสอบ	ก่อนทดสอบ	หลังทดสอบ	ก่อนทดสอบ	หลังทดสอบ	ก่อนทดสอบ	หลังทดสอบ
0	18.14 ± 0.58*	18.06 ± 0.59*	732.45 ± 14.13*	685.14 ± 6.80*	94.25 ± 0.70*	139.23 ± 29.86*	>119.60	>119.60
10	26.60 ± 0.59	25.48 ± 0.62	925.83 ± 47.36	783.28 ± 45.22	12.44 ± 0.93	17.00 ± 3.13	21.43 ± 1.12	8.45 ± 0.93
20	25.73 ± 0.26	24.03 ± 0.49	1220.00 ± 50.35	861.36 ± 47.63	7.90 ± 0.70	13.46 ± 1.22	17.25 ± 0.95	8.19 ± 0.89
30	25.12 ± 0.59	21.83 ± 0.37	1565.00 ± 44.22	1016.84 ± 29.78	6.12 ± 0.47	8.91 ± 0.77	16.65 ± 1.09	10.12 ± 1.06

* ความเร็วในการดึง 50 มิลลิเมตรต่อนาที

3.8 ความหนาต่อการขัดสีของวัสดุเชิงประกอบระหว่างหูญาแฟกและพอลิไพรพิลีน

การวิเคราะห์ผลของความต้านทานต่อการขัดสีของวัสดุเชิงประกอบระหว่างพอลิไพรพิลีนกับหูญาแฟกที่ได้จาก NaOH-VL โดยมีอัตราส่วนผสม 20 เปอร์เซ็นต์โดยน้ำหนักแสดงในตารางที่ 3.19 พบว่าความต้านทานต่อการขัดสีของวัสดุเชิงประกอบวัสดุเชิงประกอบระหว่างพอลิไพรพิลีนกับหูญาแฟกที่ได้จาก NaOH-VL มีค่าต่ำกว่าพอลิไพรพิลีนเล็กน้อย

ตารางที่ 3.19 ความต้านทานต่อการขัดสีของวัสดุเชิงประกอบระหว่างพอลิไพรพิลีนกับหูญาแฟกที่ได้จาก NaOH-VL ที่อัตราส่วนผสม 20 เปอร์เซ็นต์โดยน้ำหนัก

ชนิดของหูญาแฟก	ความต้านทานต่อการขัดสี (ลูกบาศก์เซนติเมตร)
PP	0.0738
NaOH-VL	0.0691

บทที่ 4

สรุปผลการวิจัย

ผลการวิจัยพบว่าวัสดุเชิงประกอบ ที่มีความยาวผู้แพกแตกต่างกันมีสมบัติทางกลที่ไม่แตกต่างกันอย่างมีนัยสำคัญ เมื่อเปรียบเทียบกับพอลิไพรพลีนที่ไม่ได้ผสมผู้แพกแล้วพบว่า วัสดุเชิงประกอบระหว่างพอลิไพรพลีนและผู้แพกจะมีค่าความแข็งแรงต่อการดึง ค่านองคุลลสของยังสูงกว่า แต่มีค่าเบอร์เซ็นต์ความเครียด ณ จุดแตกหัก และความแข็งแรงต่อการกระแทกต่ำกว่า การเพิ่มขึ้นของปริมาณผู้แพกในวัสดุเชิงประกอบส่งผลให้ ความหนืด อุณหภูมิการบิดง อุณหภูมิการเกิดผลลัพธ์ และค่านองคุลลสของยัง มีค่าเพิ่มขึ้น แต่ในการทรงกันข้าม อุณหภูมิการเสื่อมสภาพ เบอร์เซ็นต์การเกิดผลลัพธ์ ความแข็งแรงต่อการดึง เบอร์เซ็นต์ความเครียด ณ จุดแตกหัก และความแข็งแรงต่อการกระแทก มีค่าลดลงเมื่อปริมาณผู้แพกในวัสดุเชิงประกอบเพิ่มขึ้น นอกจากนี้ ภาพถ่ายจากกล้องจุลทรรศน์อิเล็กตรอนแบบส่องรากของวัสดุเชิงประกอบ ณ บริเวณพื้นที่ผิวที่แตกหัก พบว่ามีการเกาะกลุ่มรวมกันของเส้นใยมากขึ้นเมื่อปริมาณผู้แพกเพิ่มขึ้น อย่างไรก็ตาม เมื่ออัตราส่วนของผู้แพกเพิ่มขึ้น ไม่มีผลกระทบต่อ อุณหภูมิการหลอมเหลว และการเกิดผลลัพธ์โดยการเหนี่ยวนำจากแรงเนื้อน การปรับปรุงโดยกระบวนการทางเคมีทำให้มีการเพิ่มขึ้นของอุณหภูมิการเสื่อมสภาพของผู้แพก และเบอร์เซ็นต์การเกิดผลลัพธ์ของวัสดุเชิงประกอบ รวมถึงช่วยปรับปรุงสมบัติทางกลของวัสดุเชิงประกอบให้ดีขึ้น อย่างไรก็ได้ การปรับปรุงโดยกระบวนการทางเคมีไม่ส่งผลกระทบต่อ อุณหภูมิการบิดง อุณหภูมิการหลอมเหลว อุณหภูมิการเกิดผลลัพธ์ และการเกิดผลลัพธ์โดยการเหนี่ยวนำ จากแรงเฉือนของวัสดุเชิงประกอบ จากภาพถ่ายจากกล้องจุลทรรศน์อิเล็กตรอนแบบส่องราก พนว่า การใช้โซเดียมไฮดรอกไซด์ในการปรับปรุงสมบัติของผู้แพกสามารถกำจัดสิ่งสกปรกที่ติดอยู่บนเส้นใย และทำให้เส้นใยแยกออกจากกัน ซึ่งช่วยเพิ่มพื้นที่ผิวสัมผัสระหว่างเส้นใยกับพอลิไพรพลีน

บทที่ 5

ข้อเสนอแนะและแนวทางการทำวิจัยต่อไป

ในงานวิจัยนี้ เป็นการศึกษาวัสดุเชิงประกลบระหว่างหินแมกโนลิโอรูปสี่เหลี่ยม โดยศึกษาผลของการความยาวหินแมกโนลิโอรูปสี่เหลี่ยมที่มีต่อสมบัติทางกลของวัสดุเชิงประกลบ และตรวจสอบผลของอัตราส่วนผสม และผลของการปรับปรุงหินแมกโนลิโอรูปสี่เหลี่ยมที่มีต่อสมบัติทางความร้อน สมบัติทางวิทยาศาสตร์ สมบัติทางกล สมบัติทางสัมฐานวิทยา และการเกิดผลึก โดยการเห็นข่าวจากแรงเสียดของวัสดุเชิงประกลบ ผลที่ได้พบว่าสมบัติการทนต่อแรงกระแทกมีค่าลดลงเมื่ออัตราส่วนผสมหินแมกโนลิโอรูปสี่เหลี่ยมเพิ่มขึ้น จึงควรมีการปรับปรุงโดยใช้วิธีเดินทางธรรมชาติผสมลงไปในวัสดุเชิงประกลบระหว่างหินแมกโนลิโอรูปสี่เหลี่ยม ซึ่งอาจจะทำให้วัสดุเชิงประกลบมีสมบัติทนต่อแรงกระแทกที่ดีขึ้น จึงเป็นแนวทางในการวิจัยขั้นต่อไป

ເອກສາຮອ້າງອີງ

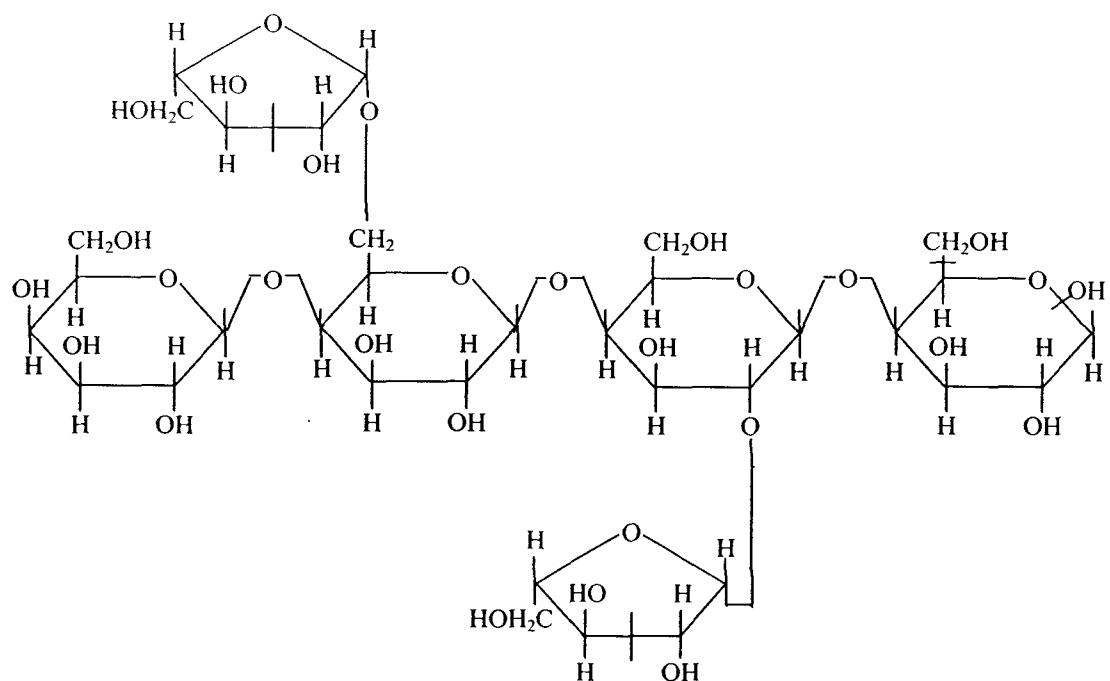
- [1] Saheb, D. N. and Jog, J. P. (1999). Natural fiber polymer composites: A review. **Adv. Polym. Technol.** 18: 351-363.
- [2] Wambua, P., Iens, J., and Verpoest, I. (2003). Natural fibres: can they replace glass in fibre reinforced plastics. **Comp. Sci. Technol.** 63: 1259-1264.
- [3] Mohanty, A. K., Misra, M., and Hinrichsen, G. (2000). Biofibres, biodegradable polymers and biocomposites: An overview. **Macromol. Mater. Eng.** 276/277:1- 24.
- [4] Cook, G. J. (1993). **Handbook of Textile Fibres**. England: Merrow.
- [5] Bledzki, A. K., and Gassan, J. (1999). Composites reinforced with cellulose based fibres. **Prog. Polym. Sci.** 24: 221-274.
- [6] Schuh, T. G. (1999), Renewable Materials for Automotive Applications.
- [7] Bruijn, J. C. M. (2000). Natural fibre mat thermoplastic products from a processor's point of view. **Appl. Comp. Mater.** 7: 415-420.
- [8] Joseph, P.V., Joseph, K., and Thomas, S. (1999). Effect of processing variables on the mechanical properties of sisal-fiber-reinforced polypropylene composites **Comp. Sci. Technol.** 9: 1625-1640.
- [9] Van Der Oever, M. J., Bos, H. L., and Kemenade, M. (2000). Influence of the physical structure of flax fibres on the mechanical properties of flax fibre reinforced polypropylene composites. **Appl. Comp. Mater.** 7: 387-402.
- [10] Gassan, J. and Bledzki, A. K. (1997). The influence of fiber-surface treatment on the mechanical properties of jute-polypropylene composites. **Comp. Part A**. 28A: 1001-1005.
- [11] Joseph, P.V., Joseph, K., Thomas, S., Pillai, C.K.S., Prasad, V.S., Groeninckx, G., and Sarkissova, M.(2003). The thermal properties and crystallisation studied of short sisal fibre reinforced polypropylene composites. **Comp. Part A**. 34: 253-266.
- [12] Ray, D., Sakar, B. K., Basak, R. K., and Rana, A. K. (2002). Study of the thermal behavior of alkali treated jute fibers. **J. Appl. Polym. Sci.** 85: 2594-2599.
- [13] Li, Y., Mai, Y., and Ye, L. (2000). Sisal fibre and its composites: a review of recent developments. **Comp. Sci. Technol.** 60: 2037-2055.

- [14] Mwaikambo, L., Y., and Ansell, M., P.(1999) .The effect of chemical treatment on the properties of hemp, sisal, jute, and kapok for composite reinforcement. **Die. Ange. Makromol. Chem.** 272: 108-116.
- [15] Herrera-Franco, P. J., and Aguilar-Vega, M. D. J. (1997). Effect of fiber treatment on the mechanical properties of LDPE–henequen cellulosic fiber composites. **J. Appl. Polym. Sci.** 65: 197-207.
- [16] Valadez-Gonzalez, A., Cervantes-Uc, J. M., Olayo, R., and Herrera-Franco, P.J. (1999). Chemical modification of henequen fibers with an organosilane coupling agent. **Comp. Part B.** 30: 321-331.
- [17] Nakorn, W. N., Chinapan. W., and Tepnanrapapai P. (1999). **Factual Tips about Vetiver Grass.** Bangkok: Text and journal.
- [18] Albano, C., Gonzalez, J., Ichazo, M., and Kaiser, D. (1999). Thermal stability of blend of polyolefins and sisal fiber. **Polym. Degrad. Stabi.** 66: 179-190.
- [19] Zafeiropoulos, N. E., Baillie, C.A., and Matthews, F. L. (2001). A study of transcrystallinity and its effect on the interface in flax fibre reinforced composite materials. **Comp. Part A.** 32: 525-543.
- [20] Amash, A., and Zugenmaier, P. (2000). Morphology and properties of isotropic and oriented samples of cellulose fibre-polypropylene composites. **Polymer.** 41: 1589-1596.
- [21] Manchado, M. A. L., Biagiotti, J., Torre, L., and Kenny, J. M. (2000). Effects of reinforcing fibers on the crystallization of polypropylene. **Polym. Eng. Sci.** 40: 2194-2204.
- [22] Quillin, D. T., Yin, M., Koutsky, J. A., and Caulfield, D. F. (1994). Crystallinity in the Polypropylene/Cellulose system. II. crystallization kinetics. **J. Appl. Polym. Sci.** 52: 605-615.
- [23] Chuai, C., Almdal, K., Poulsen, L., and Plackett, D. (2000). Conifer fibers as reinforcing materials for polypropylene-based composites. **J. Appl. Polym. Sci.** 80: 2833-2841.
- [24] George, J., Janardhan, R., Anand, J. S., Bhagawan, S. S., and Thimas, S. (1996). Melt rheological behaviour of short pineapple fiber reinforced low density polyethylene composites. **Polymer.** 37: 5421-5431.
- [25] Garkhail, S. K., Heijenrath, R. W. H., and Peijs, T. (2000). Mechanical properties of natural-fiber mat-enforced thermoplastic based on flax fibers and polypropylene. **Appl. Comp. Mater.** 7: 351-372.

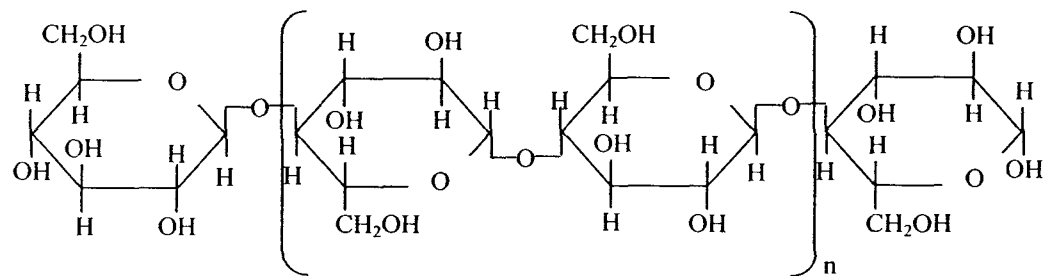
- [26] Luo, X., Benson, R. S., Kit, K. M., and Dever, M. (2002). Kudzu fiber reinforced Polypropylene composite. *J. Appl. Polym. Sci.* 85: 1961-1969.
- [27] Fung, K. L., Li, R. K. Y., and Tjong, S. C. (2002). Interface modification on the properties of sisal fiber-reinforced polypropylene composites. *J. Appl. Polym. Sci.* 85: 169-176.
- [28] Liau, B., Hunag, Y., and Cong, G. (1997). Influence of modified wood fibers on the mechanical properties of wood fiber-reinforced polyethylene. *J. Appl. Polym. Sci.* 66: 1561-1568.
- [29] Joseph, K., Thomas, S., and Pavithran, C. (1996). Effect of chemical treatment on the tensile properties of short sisal fiber reinforced polyethylene composites. *Polymer.* 37: 5139-5149.
- [30] Karnani, R., Krishnan, M., and Naryan, R. (1997). Biofiber-reinforced polypropylene composites. *Polym. Eng. Sci.* 37: 476-483.
- [31] Sanadi, A.R., Caulfield, D. F., Jacobson, R. E., and Rowell, R. M. (1995). Renewable agricultural fibers as reinforcing fillers in plastics: mechanical properties of kenaf fiber polypropylene composites. *Amer. Chem. Socie.* 34: 1889-1896.
- [32] Sydenstricker, T. H. D., Mochnz, S., and Amico, S. C. (2003). Pull-out and other evaluations in sisal-reinforced polyester biocomposites. *Polym. Test.* 22: 375-380.
- [33] Razera, I. A. T. and Frollini, E. (2004). Composites based on jute fibers and phenolic matrices: properties of fibers and composites. *J. Appl. Polym. Sci.* 91: 1077-1085.
- [34] Luo, X., Benson, R. S., Kit, K. M., and Dever, M. (2002). Kudzu fiber reinforced Polypropylene composite. *J. Appl. Polym. Sci.* 85: 1961-1969.
- [35] Mishra, S., Misra, M., Tripathy, S. S., Nayak, S. K., and Mohanty, A. K. (2001). Graft copolymerization of acrylonitrile on chemically modified sisal fibers. *Macromol. Mater. Eng.* 286: 107-113.
- [36] George, J., Sreekala, M. S., and Thomas, S. (2001). A review on interface modification and characterization of natural fiber reinforced plastic composites. *Polym. Eng. Sci.* 41: 1471-1485.
- [37] Iannace, S., Ali, R., and Nicolais, L. (2001). Effect of processing conditions on dimensions of sisal fibers in thermoplastic biodegradable composites. *J. Appl. Polym. Sci.* 79: 1084-1091.

- [38] Ray, D. and Sarkar, B. K. (2001). Characterization of alkali treated jute fibers for physical and mechanical properties. **J. Appl. Polym. Sci.** 80: 1013-1020.
- [39] Karger-Kocsis, J. (1995). **Polypropylene 1 Structure and Morphology**. London: Chapman & Hall.
- [40] Wang, Y., Na, B., Fu, Q., and Men Y. (2004). Shear induced shish-kebab structure in PP and its blends with LLDPE. **Polymer**. 45: 207-215.

ภาคผนวก ก
โครงสร้างทางเคมีของเซลลูโลส



(ก)



(ง)

รูปที่ 1ก. โครงสร้างทางเคมี (ก) เอ็นิเชลลูโลส และ (ง) เชลลูโลส

ภาคผนวก ข
องค์ประกอบทางเคมีของหญ้าแฝก

ตารางที่ 1x องค์ประกอบทางเคมีของ VL NaOH-VL และ VF.

องค์ประกอบทางเคมี	VL	NaOH-VL	VF
C	89.39 wt%	97.30 wt%	99.00 wt%
Na ₂ O	0.00 wt%	0.01 wt%	0.00 wt%
MgO	0.07 wt%	0.07 wt%	0.07 wt%
Al ₂ O ₃	0.14 wt%	0.05 wt%	0.02 wt%
SiO ₂	5.74 wt%	1.17 wt%	0.34 wt%
P ₂ O ₅	0.33 wt%	0.12 wt%	0.03 wt%
SO ₃	0.28 wt%	0.05 wt%	0.02 wt%
Cl	0.07 wt%	0.02 wt%	0.01 wt%
K ₂ O	3.34 wt%	0.21 wt%	0.02 wt%
CaO	0.49 wt%	0.89 wt%	0.46 wt%
Sc	0.75 ppm	14.99 ppm	12.42 ppm
TiO ₂	28.79 ppm	16.09 ppm	0.00 wt%
V	0.00 wt%	0.00 wt%	0.62 ppm
Cr	25.66 ppm	11.25 ppm	1.32 ppm
MnO	0.05 wt%	0.04 wt%	0.02 wt%
Fe ₂ O ₃	0.06 wt%	0.04 wt%	40.53 ppm
Co	3.30 ppm	0.00 wt%	0.91 ppm
Ni	24.80 ppm	7.84 ppm	2.25 ppm
Cu	61.00 ppm	29.25 ppm	18.52 ppm
Zn	45.68 ppm	62.85 ppm	39.45 ppm
Ga	1.31 ppm	0.08 ppm	0.40 ppm

ตารางที่ 1x องค์ประกอบทางเคมีของ VL NaOH-VL และ VF (ต่อ)

องค์ประกอบทางเคมี	VL	NaOH-VL	VF
Ge	0.00 wt%	0.09 ppm	0.01 ppm
As	0.00 wt%	0.00 wt%	0.00 wt%
Se	0.22 ppm	1.10 ppm	0.49 ppm
Br	84.89 ppm	7.73 ppm	1.49 ppm
Rb	21.45 ppm	1.63 ppm	0.93 ppm
Sr	21.05 ppm	34.69 ppm	14.04 ppm
Y	1.15 ppm	1.91 ppm	0.00 wt%
Zr	5.73 ppm	2.38 ppm	0.00 wt%
Hf	15.48 ppm	6.40 ppm	0.81 ppm
Ta	0.00 wt%	5.97 ppm	4.62 ppm
W	0.00 wt%	0.00 wt%	0.00 wt%
Hg	12.46 ppm	6.01 ppm	0.00 wt%
Tl	0.00 wt%	2.52 ppm	0.00 wt%
Pb	0.00 wt%	1.44 ppm	4.97 ppm
Bi	0.00 wt%	5.36 ppm	5.63 ppm
Th	0.00 wt%	0.00 wt%	1.28 ppm
U	0.00 wt%	2.88 ppm	1.57 ppm
Nb	0.00 wt%	0.34 ppm	0.00 ppm
Mo	1.25 ppm	0.74 ppm	0.00 wt%
Ag	1.07 ppm	0.66 ppm	0.35 ppm
Cd	0.18 ppm	0.00 wt%	0.00 wt%

ตารางที่ 1x องค์ประกอบทางเคมีของ VL NaOH-VL และ VF (ต่อ)

องค์ประกอบทางเคมี	VL	NaOH-VL	VF
In	1.55 ppm	0.17 ppm	0.29 ppm
Sn	1.61 ppm	1.18 ppm	0.49 ppm
Sb	0.77 ppm	0.14 ppm	0.00 wt%
Te	0.00 wt%	0.52 ppm	0.41 ppm
In	4.89 ppm	0.00 wt%	0.48 ppm
Cs	0.00 wt%	0.25 ppm	0.84 ppm
Ba	13.22 ppm	6.99 ppm	3.49 ppm
La	0.00 wt%	0.00 wt%	0.00 wt%
Ce	0.00 wt%	2.48 ppm	0.00 wt%
Pr	0.00 wt%	0.00 wt%	0.00 wt%
Nd	0.00 wt%	0.00 wt%	0.00 wt%

ภาคผนวก ค

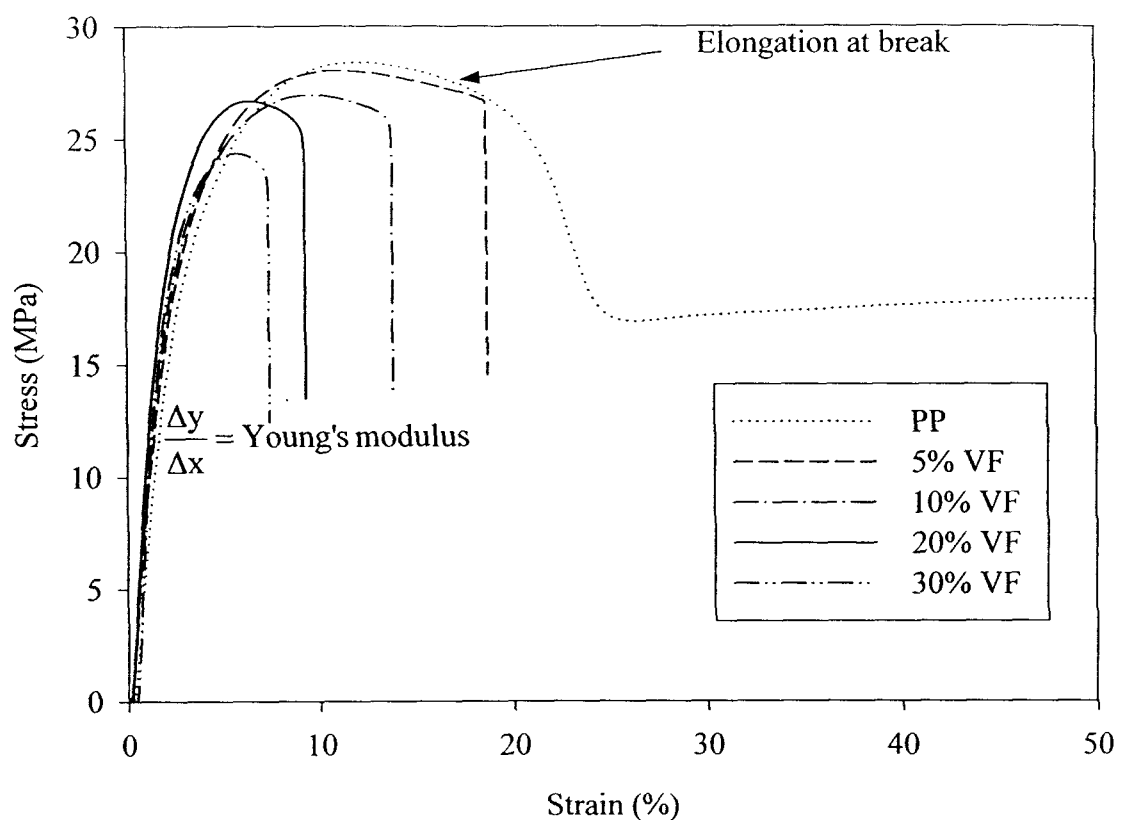
สมบัติทางกลของวัสดุเชิงประดิษฐ์ระหว่างหญ้าแฟกและพอลิไพรพิลีน

สมการสำหรับการคำนวณ ค่าความแข็งแรงต่อการดึง ค่ามอคุลัสของยัง และค่าเบอร์เช็นต์ความเครียด
ณ จุดแตกหัก ของวัสดุเชิงประกลบระหว่างหลู้ไฟกและพอลิไพรพิลีน

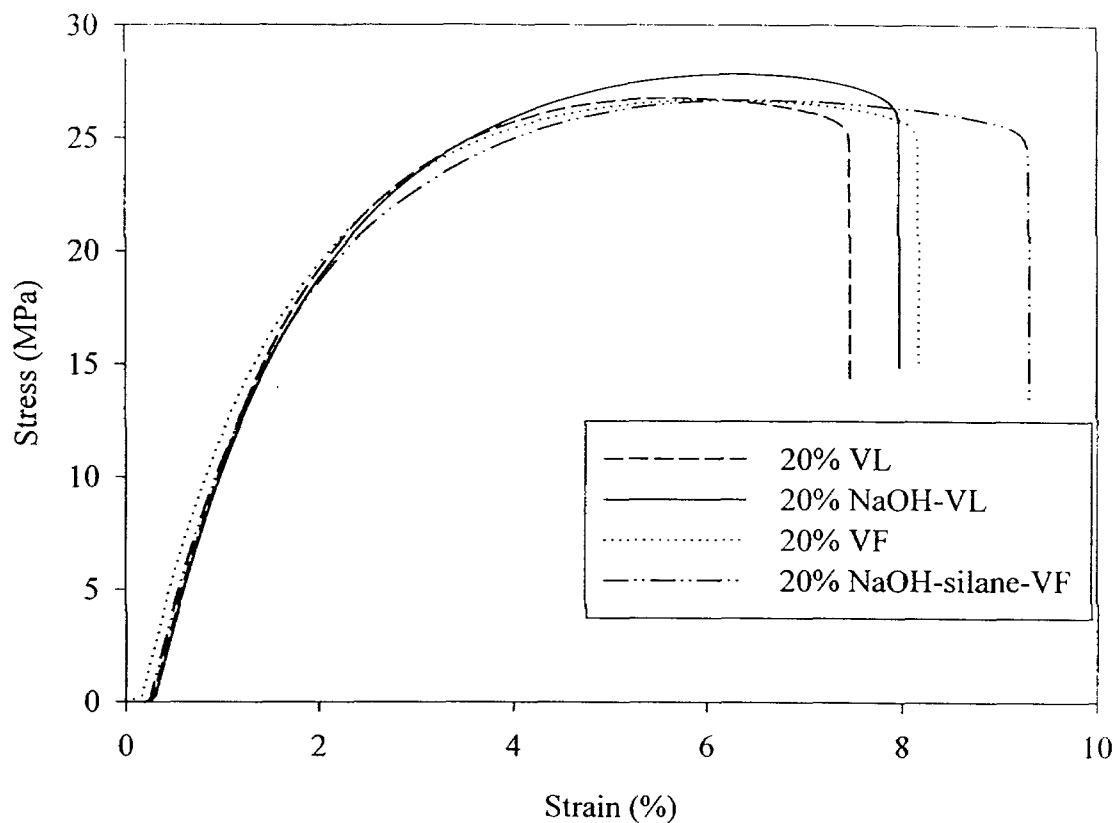
$$\text{ค่าความแข็งแรงต่อการดึง} = \frac{\text{น้ำหนักโหลด (นิวตัน)}}{\text{พื้นที่หน้าตัด (ตารางมิลลิเมตร)}}$$

$$\text{ค่ามอคุลัสของยัง} = \frac{\text{ความเครียด}}{\text{ความเค้น}}$$

$$\text{ค่าเบอร์เช็นต์ความเครียด ณ จุดแตกหัก} = \frac{\text{ความยาวหลังดึง - ความยาวก่อนดึง (มิลลิเมตร)}}{\text{ความยาวก่อนดึง (มิลลิเมตร)}} \times 100\%$$



รูปที่ 1 ค กราฟ Stress-strain ของวัสดุเชิงประยุกต์ที่ได้จากเส้นใยหินแกรนิตอยู่อัตราส่วนผสมที่ต่างกัน



รูปที่ 2ค กราฟ Stress-strain ของวัสดุเชิงประกอบที่ได้จาก VL NaOH-VL VF และ NaOH-silane-VF ที่อัตราส่วน 20 เปอร์เซ็นต์โดยน้ำหนัก

ประวัติผู้วิจัย

หัวหน้าโครงการ

1. ชื่อ(ภาษาไทย): ผู้ช่วยศาสตราจารย์ ยุพาพร รักสกุลพิวัฒน์

(ภาษาอังกฤษ): Assistant Professor Yupaporn Ruksakulpiwat

2. ตำแหน่งปัจจุบัน: ผู้ช่วยศาสตราจารย์ประจำสาขาวิศวกรรมพอลิเมอร์

สำนักวิชาวิศวกรรมศาสตร์ มหาวิทยาลัยเทคโนโลยีสุรนารี

3. หน่วยงานที่อุดมคต่อได้彷ร้อมโทรศัพท์และโทรสาร

สาขาวิชาวิศวกรรมพอลิเมอร์ สำนักวิชาวิศวกรรมศาสตร์

มหาวิทยาลัยเทคโนโลยีสุรนารี

111 ถ. มหาวิทยาลัย ต. สุรนารี อ. เมือง นครราชสีมา 30000

โทรศัพท์ (044) 22-4433 โทรสาร (044) 22-4431

E-mail: yupa@ccs.sut.ac.th

4. ประวัติการศึกษา

1994 B.S. (Hons), Material Science, Chulalongkorn University

1999 Ph.D. (Polymer Engineering), The University of Akron, U.S.A.

5. ผลงานทางวิชาการ

- Y. Churdpunt and A.I. Isayev, "Crystallization and Microstructure of Ziegler-Natta and Metallocene Based Isotactic Polypropylenes: Simulation and Experiment", SPE Tech Papers, 2527 (1999).
- A.I. Isayev, Y. Churdpunt and X. Guo, Proceeding of the 15th PPS Meeting, Netherlands (1999).
- Y. Churdpunt and A.I. Isayev in "Metallocene Technology and Modern Catalytic Methods in Commercial Applications" edited by George M. Benedikt and B. L. Goodall, ChemTec Publishing, Ontario, 1999.
- Y. Churdpunt and A.I. Isayev, "Comparison of Birefringence and Mechanical Properties of Injection Molded Metallocene and Ziegler-Natta Based Isotactic Polypropylenes", J. Poly. Eng, 20, 76 (2000).
- A.I. Isayev, Y. Churdpunt and X.Guo, "Comparative Study of Ziegler-Natta and Metallocene Based Isotactic Polypropylenes in Injection Molding", Intern. Polym. Process, 72 (2000).

6. Y. Ruksakulpiwat and A.I. Isayev, "Shear-Induced Crystallization in Injection Moldings of Ziegler-Natta and Metallocene Based Isotactic Polypropylenes", SPE Tech Papers, 486 (2000).
7. Y. Ruksakulpiwat and A.I. Isayev, Proceedings of The First Thailand Materials Science and Technology Conference, Bangkok, Thailand, 116, 2000.
8. Y. Ruksakulpiwat, "Comparative Study of Structure and Property of Ziegler-Natta and Metallocene Based Linear Low Density Polyethylene in Injection Moldings", SPE Tech Papers, 582 (2001).
9. W. Thuamthong; Y. Ruksakulpiwat, W. Sutaphan, and N. Suppakarn, Thermal, Rheological, Mechanical, and Morphological Properties of Vetiver-Polypropylene Composites, the 8th Pacific Polymer Conference (PPC8), Bangkok, Thailand, 118, 2003.
10. Y. Ruksakulpiwat and C. Ruksakulpiwat , Injection Moldings of Dynamic Vulcanized Natural Rubber-Polypropylene Blends, the 8th Pacific Polymer Conference (PPC8), Bangkok, Thailand, 134, 2003.
11. Y. Ruksakulpiwat , W. Thuarmthong, , N. Suppakan, and W. Sutapan, The Study of Using Vetiver Grass as a Filler in Polypropylene Composites, SPE Tech Paper, p.1641-1645, 2004.
12. U. Somnuk, Y. Ruksakulpiwat , N. Suppakarn and W. Sutapun, Characterization of Chemical Treated Vetiver Grass, The 3rd Thailand Materials Science and Technology Conference, Bangkok, Thailand, p. 420, 2004.
13. W. Thuamthong, Y.Ruksakulpiwat, N. Suppakan, and W. Sutapan, Effect of Vetiver Contents and Vetiver Lengths on Mechanical and Morphological Properties of Vetiver-Polypropylene Composites, The Third Thailand Materials Science and Technology Conference, Bangkok, Thailand, p. 167, 2004.
14. W. Sutapun, Y. Ruksakulpiwat, K. Jarukumjorn, N. Supakarn, P. Chumsamrong, and J. Kluengsamrong, Studies of Thermal Properties and Surface Characteristics of Pretreated Jute Fibers by Boiling and Soxhlet extraction, The 30th Congress on Science and Technology of Thailand, Bangkok, Thailand, p. 175, 2004.

6. งานวิจัยที่ทำเสร็จแล้ว (สถานภาพในการทำวิจัย: หัวหน้าโครงการ)

1. การศึกษาเปรียบเทียบลักษณะโครงสร้างและคุณสมบัติของโพลีเอทธิลีนที่สังเคราะห์ด้วยสารเร่งปฏิกิริยาซีเกอร์-นัตตาและเมททอลโลไซน์ โดยผ่านกระบวนการขึ้นรูปแบบฉีด (Comparative Study of Microstructure and Properties of Ziegler-Natta and Metallocene Based Polyethylenes in Injection Molding) แหล่งทุนสนับสนุน: สูนย์เทคโนโลยีโลหะและวัสดุแห่งชาติ (MTEC)
2. การศึกษาเปรียบเทียบพอลิเมอร์สมรรถนะว่างยางธรรมชาติกับโพลีไพรีเพลินที่มีน้ำหนักไม่เท่ากัน (Comparative Study of Polymer Blends between Natural Rubber and Isotactic Polypropylene at Various Molecular Weights) แหล่งทุนสนับสนุน: สถาบันวิจัยแห่งชาติ
3. การศึกษาการใช้ถ้าดามจากกลบเปลือกข้าวเป็นสารตัวเดินในวัสดุวิศวกรรมพอลิเมอร์ (The Study of Using the Rice Husk Ash as an Additive in Engineering Polymer) แหล่งทุนสนับสนุน: มหาวิทยาลัยเทคโนโลยีสุรนารี
4. โครงการผลิตผลภัณฑ์จากพอลิเมอร์คอมโพสิตระหว่างหญ้าแฟกกับพอลิไพรีเพลิน (Manufacture of Product from Polymer Composite between Vetiver Grass and Polypropylene) แหล่งทุนสนับสนุน: สถาบันวิจัยแห่งชาติ

7. งานวิจัยอยู่ระหว่างดำเนินการ (สถานภาพในการทำวิจัย: หัวหน้าโครงการ)

1. การพัฒนาวัสดุพอลิเมอร์คอมโพลิทเชิงพาณิชย์โดยใช้เส้นใยธรรมชาติในประเทศไทย (Development of Commercialized Polymer Composites Using Natural Fiber in Thailand) แหล่งทุนสนับสนุน: สูนย์เทคโนโลยีโลหะและวัสดุแห่งชาติ
2. การศึกษาการเกิดผลึกภายในไตรเรงเนื่องและในสภาพนิ่งของพอลิไพรีเพลินที่ใส่เส้นใยธรรมชาติเป็นสารตัวเดิน (The study of shear-induced crystallization and quiescent crystallization of natural fiber filled polypropylene). แหล่งทุนสนับสนุน: สำนักงานกองทุนสนับสนุนการวิจัย
3. โครงการศึกษาการใช้หญ้าแฟกเป็นสารตัวเดินในพอลิไพรีเพลินระยะที่ 2 : การปรับปรุงความทนทานต่อแรงกระแทกเพื่อใช้เป็นชิ้นส่วนยานยนต์ (The Second Stage of The Study of Using Vetiver Grass as a Filler in Polypropylene: The Improvement of Impact Resistant for Automotive Parts) แหล่งทุนสนับสนุน: สถาบันวิจัยแห่งชาติ
4. ชุดโครงการผลิตพอลิเมอร์คอมโพลิทจากเส้นใยปานครนารายณ์ แหล่งทุนสนับสนุน: สถาบันวิจัยแห่งชาติ

8. แหล่งทุนสนับสนุน: มหาวิทยาลัยเทคโนโลยีสุรนารี (ผลการดำเนินงานคิดเป็นร้อยละ 80 ของโครงการ) การปฏิบัติงานวิจัย ณ ต่างประเทศ

1. ปฏิบัติงานวิจัย ณ University of Linz ประเทศออสเตรีย ด้วยทุนแลกเปลี่ยนนักวิทยาศาสตร์ตามโครงการความร่วมมือระหว่างประเทศไทยและประเทศออสเตรีย ทุนวิจัย มหาวิทยาลัย ในระหว่างเดือนกันยายน 2544

9. Textbook

1. Y. Ruksakulpiwat, Polymer Processing II, Suranaree University of Technology, 2000.
2. Y. Ruksakulpiwat, Polymer Processing I, Suranaree University of Technology, 2000.
3. Y. Ruksakulpiwat, Introduction to Polymer Processing, Suranaree University of Technology, 2000.

ผู้วิจัยร่วม

1. ชื่อ(ภาษาไทย): ดร.วิมลลักษณ์ สุตะพันธ์
(ภาษาอังกฤษ): Dr. Wimonlak Sutapun
2. ตำแหน่งปัจจุบัน: อาจารย์ประจำสาขาวิศวกรรมพอลิเมอร์
สำนักวิชาวิศวกรรมศาสตร์ มหาวิทยาลัยเทคโนโลยีสุรนารี
3. หน่วยงานที่อยู่ที่ติดต่อได้พร้อมโทรศัพท์และโทรสาร
สาขาวิชาวิศวกรรมพอลิเมอร์ สำนักวิชาวิศวกรรมศาสตร์
มหาวิทยาลัยเทคโนโลยีสุรนารี
111 ถ.มหาวิทยาลัย ต.สุรนารี อ.เมือง นครราชสีมา 30000
โทรศัพท์ (044) 22-4435 โทรสาร (044) 22-4431

E-mail: wimonlak@ccs.sut.ac.th

4. ประวัติการศึกษา

Ph.D. (Polymer Science and Engineering) 2000 Case Western Reserve University, Cleveland, Ohio, USA

M.Sc. (Polymer Science) 1992 Chulalongkorn University, Bangkok, THAILAND

B.Sc. (Chemistry) 1989 Kasetsart University, Bangkok, THAILAND

5. ความชำนาญ

Composite Interface/interphase

Spectroscopy of Polymers

6. งานวิจัยอยู่ระหว่างดำเนินการ

1. การใช้เส้นใยจากตัวไหมเป็นวัสดุเสริมแรงสำหรับวัสดุเชิงประกลบอีพอกซี่ (Silkworm Fiber for Reinforcing Epoxy Composite)
2. การพัฒนาวัสดุพอลิเมอร์คอมโพสิตเชิงพาณิชย์โดยใช้เส้นใยธรรมชาติในประเทศไทย (Development of Commercialized Polymer Composites Using Natural Fiber in Thailand)
3. ชุดโครงการผลิตพอลิเมอร์คอมโพสิตจากเส้นใยป่านครนารายณ์
4. โครงการศึกษาการใช้หญ้าแฝกเป็นสารตัวเติมในพอลิไพรพีลีนระยะที่ 2: การปรับปรุงความทนทานต่อแรงกระแทกเพื่อใช้เป็นชิ้นส่วนยานยนต์ (The Second Stage of The Study of Using Vetiver Grass as a Filler in Polypropylene: The Improvement of Impact Resistant for Automotive Parts)

7. ผลงานทางวิชาการ

1. W. Sutapun, Y. Ruksakulpiwat, K. Jarukumjorn, N. Supakarn, P. Chumsamrong, and J. Kluengsamrong, "Studies of Thermal Properties and Surface Characteristics of Pretreated Jute Fibers by Boiling and Soxhlet Extraction", **The 30th Congress on Science and Technology of Thailand**, Bangkok, Thailand, p. 175, 2004
2. Y. Ruksakulpiwat, N. Suppakarn, W. Sutapun and W. Thomthong, "The Study of Using Vetiver Grass as a Filler in Polypropylene Composites", **SPE Tech Paper**, 2004.
3. W. Thuamthong, Y. Ruksakulpiwat, N. Suppakarn and, W. Sutapun, "Effect of Vetiver Contents and Vetiver Lengths on Mechanical and Morphological Properties of Vetiver-Polypropylene Composites", **The Third Thailand Materials Science and Technology Conference**, Bangkok, Thailand, 167, 2004.
4. U. Somnuk, Y. Ruksakulpiwat, Suppakarn and, W. Sutapun, "Characterization of Chemical Treated Vetiver Grass", **The Third Thailand Materials Science and Technology Conference**, Bangkok, Thailand, 420, 2004.
5. W. Thuamthong, Y. Ruksakulpiwat, W. Sutapun, and N. Suppakarn, "Thermal, Rheological, Mechanical, and Morphological Properties of Vetiver-Polypropylene Composites" **The 8th Pacific Polymer Conference (PPC8)**, Bangkok, Thailand, 118, 2003
6. W. Noobut and J. L. Koenig, *In situ Elevated Temperature DRIFT Spectroscopy of APS-coated Silica, Polymer Composite*, (submitted).
7. W. Noobut and J. L. Koenig, *Interfacial Behavior of Epoxy/E-glass Fiber Composites under Wet-Dry Cycles by FTIR Microspectroscopy*, **Polymer Composite**, 20: 38-37, 1999.

8. การนำเสนอผลงาน

1. *Application and Future Directions of FT-IR Spectroscopy*, Bruker South East Asia, Bangkok, Thailand, 2000.
2. *Interfacial Behavior of Epoxy/E-glass Fiber Composites under Wet-Dry Cycles by FTIR Microspectroscopy*, Cleveland, Ohio, USA, 1998.

ผู้วิจัยร่วม

1. ชื่อ(ภาษาไทย): ดร.นิธินาถ ศุภกาญจน์

(ภาษาอังกฤษ): Dr. Nitinat Suppakarn

2. ตำแหน่งปัจจุบัน: อาจารย์ประจำสาขาวิศวกรรมพอลิเมอร์

สำนักวิชาชีวกรรมศาสตร์ มหาวิทยาลัยเทคโนโลยีสุรนารี

3. หน่วยงานที่อยู่ที่ติดต่อได้พร้อมโทรศัพท์และโทรสาร

สาขาวิชาชีวกรรมพอลิเมอร์ สำนักวิชาชีวกรรมศาสตร์

มหาวิทยาลัยเทคโนโลยีสุรนารี

111 ถ.มหาวิทยาลัย ต.สุรนารี อ.เมือง นครราชสีมา 30000

โทรศัพท์ (044) 22-4439 โทรสาร (044) 22-4431

E-mail: nitinat@ccs.sut.ac.th

4. ประวัติการศึกษา

B.S. (Chemistry) Chulalongkorn University, 1993.

M.S. (Polymer Science) Petroleum and Petrochemical College, Chulalongkorn University, 1995.

Ph.D. (Macromolecular Science) Case Western Reserve University, Cleveland, Ohio, USA, 1999.

5. ความชำนาญ

-Polymer Composites

-Polymer Characterization

6. ผลงานทางวิชาการ

1. Z. Liu, N. Suppakarn, and J. D. Cawley, "Coated Feedstock for Fabrication of Ceramic Parts by CAM-LEM," Solid Freeform Fabrication Symposium Proceedings, Edited by D.

- Bourell, J. J. Beaman, R. Crawford, H. L. Marcus, and J. W. Barlow, University of Texas, Austin, TX, 393, 1999.
2. N. Suppakarn, Z. Liu, and J. D. Cawley, "Polymer Assisted Lamination of Ceramic Green Tape," The First Thailand Materials Science and Technology Proceedings, MTEC, Thailand, 364, 2000.
 3. N. Suppakarn, H. Ishida, and J. D. Cawley, "Roles of Poly(propylene glycol) during Solvent-based Lamination of Ceramic Green Type," *J. Am. Ceram. Soc.*, **84**(2), 289, 2001.
 4. W. Thuamthong, Y. Ruksakulpiwat, W. Sutapun, and N. Suppakarn, "Thermal, Rheological, Mechanical, and Morphological Properties of Vetiver-Polypropylene Composites," The 8th Pacific Polymer Conference (PPC8), Bangkok, Thailand, 118, 2003.
 5. Y. Ruksakulpiwat, N. Suppakarn, W. Sutapun and W. Thomthong, "The Study of Using Vetiver Grass as a Filler in Polypropylene Composites," SPE Tech Paper, 1641, 2004.
 6. N. Kampangsaree, N. Suppakarn, and S. Rimdusit, Development of Fire Resistant Wood-Substituted Composites from Polybenzoxazine Alloys," The Third Thailand Materials Science and Technology Conference, Bangkok, Thailand, 161, 2004.
 7. W. Thuamthong, Y. Ruksakulpiwat, N. Suppakarn and, W. Sutapun, "Effect of Vetiver Contents and Vetiver Lengths on Mechanical and Morphological Properties of Vetiver-Polypropylene Composites," The Third Thailand Materials Science and Technology Conference, Bangkok, Thailand, 167, 2004.
 8. U. Somnuk, Y. Ruksakulpiwat, Suppakarn and, W. Sutapun, "Characterization of Chemical Treated Vetiver Grass", The Third Thailand Materials Science and Technology Conference, Bangkok, Thailand, 420, 2004.
 9. W. Sutapun, Y. Ruksakulpiwat, K. Jarukumjorn, N. Supakarn, P. Chumsamrong, and J. Kluengsamrong, "Studies of Thermal Properties and Surface Characteristics of Pretreated Jute Fibers by Boiling and Soxhlet Extraction", The 30th Congress on Science and Technology of Thailand, Bangkok, Thailand, 175, 2004.